

### Koroner arter ektazi hastalarında karotis intima media kalınlığı ve bunun total bilirubin ile ilişkisi

Sevket Balta<sup>1</sup>, Sait Demirkol<sup>1</sup>, Zekeriya Arslan<sup>1</sup>, Ugur Kucuk<sup>1</sup>, Cem Barcin<sup>1</sup>, Mustafa Cakar<sup>2</sup>, Mehmet Yokusoglu<sup>1</sup>, Murat Unlu<sup>1</sup>

<sup>1</sup>Gülhane Tip Akademisi, Kardiyoloji Anabilim Dalı, Ankara

<sup>2</sup>Gülhane Tip Akademisi, İç Hastalıkları Anabilim Dalı, Ankara

**Amaç:** İnceleme, koroner arter ektazi hastalarında karotis intima media kalınlığı (C-IMT) ile total bilirubin (TBil) arası ilişkiye dair bilgiyi sağlama.

**Material-Method:** 45 koroner arter ektazi hastası ve 45 sağlıklı kontrol grubundan (TBil: 10.2±1.0 mg/dL vs. 10.5±1.0 mg/dL; C-IMT: 0.62±0.05 mm vs. 0.60±0.05 mm) C-IMT ve TBil değerleri ölçülmüştür.

**Sonuç:** C-IMT'lerde TBil ile doğrudan ilişkili bir etkileşim tespit edilememiştir.

**Özet:** Bu çalışma, koroner arter ektazi hastalarında karotis intima media kalınlığı (C-IMT) ile total bilirubin (TBil) arası ilişkiye dair bilgiyi sağlama.

**Yazılım:** SPSS 15.0 programı kullanılmıştır. İstatistiksel testler t-test, Mann-Whitney U testi ve Kruskal-Wallis testi kullanılmıştır.

**Erken Sonuçlar:** C-IMT'lerde TBil ile doğrudan ilişkili bir etkileşim tespit edilememiştir.

**İşaretlenen Hatalar:** C-IMT'lerde TBil ile doğrudan ilişkili bir etkileşim tespit edilememiştir.

**Çıktılar:** C-IMT'lerde TBil ile doğrudan ilişkili bir etkileşim tespit edilememiştir.

**Yorum:** Koroner arter ektazi hastalarında C-IMT ile TBil arası ilişkisi tespit edilememiştir.

**Öğüt:** Bu çalışma, koroner arter ektazi hastalarında C-IMT ile TBil arası ilişkisi tespit etmektedir.

**İnceleme:** İnceleme, koroner arter ektazi hastalarında C-IMT ile TBil arası ilişkisi tespit etmektedir.

**Yazılım:** SPSS 15.0 programı kullanılmıştır. İstatistiksel testler t-test, Mann-Whitney U testi ve Kruskal-Wallis testi kullanılmıştır.

**Erken Sonuçlar:** C-IMT'lerde TBil ile doğrudan ilişkili bir etkileşim tespit edilememiştir.

**İşaretlenen Hatalar:** C-IMT'lerde TBil ile doğrudan ilişkili bir etkileşim tespit edilememiştir.

**Çıktılar:** C-IMT'lerde TBil ile doğrudan ilişkili bir etkileşim tespit edilememiştir.

**Yorum:** Koroner arter ektazi hastalarında C-IMT ile TBil arası ilişkisi tespit edilememiştir.

**Öğüt:** Bu çalışma, koroner arter ektazi hastalarında C-IMT ile TBil arası ilişkisi tespit etmektedir.

**İnceleme:** İnceleme, koroner arter ektazi hastalarında C-IMT ile TBil arası ilişkisi tespit etmektedir.

**Yazılım:** SPSS 15.0 programı kullanılmıştır. İstatistiksel testler t-test, Mann-Whitney U testi ve Kruskal-Wallis testi kullanılmıştır.

**Erken Sonuçlar:** C-IMT'lerde TBil ile doğrudan ilişkili bir etkileşim tespit edilememiştir.

**İşaretlenen Hatalar:** C-IMT'lerde TBil ile doğrudan ilişkili bir etkileşim tespit edilememiştir.

**Çıktılar:** C-IMT'lerde TBil ile doğrudan ilişkili bir etkileşim tespit edilememiştir.

**Yorum:** Koroner arter ektazi hastalarında C-IMT ile TBil arası ilişkisi tespit edilememiştir.

**Öğüt:** Bu çalışma, koroner arter ektazi hastalarında C-IMT ile TBil arası ilişkisi tespit etmektedir.

### Carotid intima–media thickness in patients with coronary artery ectasia and its association total bilirubin

Sevket Balta<sup>1</sup>, Sait Demirkol<sup>1</sup>, Zekeriya Arslan<sup>1</sup>, Ugur Kucuk<sup>1</sup>, Cem Barcin<sup>1</sup>, Mustafa Cakar<sup>2</sup>, Mehmet Yokusoglu<sup>1</sup>, Murat Unlu<sup>1</sup>

<sup>1</sup>Gülhane Medical Faculty, Department of Cardiology, Ankara

<sup>2</sup>Gülhane Medical Faculty, Department of Internal Medicine, Ankara

**Background:** The pathogenesis of atherosclerosis is multifactorial, however the impact of inflammatory cells in this process is well known. Different traditional cardiovascular risk factors may have specifically different effects on total bilirubin. Coronary artery ectasia (CAE) has been established as a localized or diffuse non-obstructive lesion of the epicardial coronary arteries with a luminal dilation exceeding 1.5-fold the normal adjacent segment or vessel diameter. Atherosclerosis plays an important role the etiopathogenesis of CAE. The contact between CAE and total bilirubin and carotid intima–media (C-IMT) thickness have not been investigated so far. Hence, we aimed to evaluate level of total bilirubin and C-IMT in patients with CAE.

**Methods:** The study population consisted of the patients who underwent coronary angiography with a doubt of coronary artery disease (CAD) at our instit. We enrolled 142 consecutive eligible patients with CAD, normal coronary arteries (NCA) and CAE. Total bilirubin was measured as part of the automated complete blood count being related with increased vascular risk and events were investigated in the groups determined by the presence or absence of CAE and CAD by the univariate analyses and then multiple linear regression analyses. We studied total bilirubin in 45 individuals with CAE, 48 people with CAD, and 49 individuals controls with normal coronary arteries whose mean ages were  $53.3\pm 9.7$ ,  $54.3\pm 8.9$ , and  $52.3\pm 8.9$  years, respectively. C-IMT was compared among the 3 groups. C-IMT was measured by recording ultrasonographic images of both the left and the right common carotid arteries.

**Results:** There were no statistically significant differences in total bilirubin between CAE and CAD groups. Total bilirubin was found significantly decreased in patients in both CAE and CAD groups, compared to those in control group. In the patient groups, patients with CAD and CAE had significantly higher carotid IMT compared to control subjects.

**Conclusions:** We have shown for the first time that patients with CAE have lower total bilirubin and higher C-IMT compared to controls with normal coronary angiograms. These data suggest that lower total bilirubin and higher C-IMT level are observed more often in patients with CAE compared to patients with normal coronary angiograms. The results of the present study determined the relation between CAE and lower total bilirubin and higher C-IMT as a pathogenesis of atherosclerosis.

### İnflamatuar barsak hastalığında aterotrombotik riskin mean platelet volüm ile değerlendirilmesi

Mustafa Serkan Karakas<sup>1</sup>, Erhan Alkan<sup>2</sup>, Bülent Yıldırım<sup>2</sup>

<sup>1</sup>Niğde Devlet Hastanesi, Kardiyoloji Kliniği, Niğde

<sup>2</sup>Akdeniz Üniversitesi Tip Fakültesi, İç Hastalıkları ve Gastroenteroloji Anabilim Dalı, Antalya

**Amaç:** Ülseratif kolit (ÜK) ve Crohn hastalığı (CH) olarak iki formu bulunan inflamatuar barsak hastalıkları (IBH), genetik olarak duyarlı kişilerde, cestit antijenlere ya da çevresel faktörlere karşı abartılı bir immun yanıt ile meydana gelen, nedeni tam olarak bilinmeyen, kronik seyirli, iyilik ve aktivasyon dönemleri olan bir grup inflamatuar hastalık. IBH'da aterotrombotik olaylarda artı saptanmıştır. Aterotromboz patofiziolojisinde platelet aktivasyon ve agragasyonu önemli rol oynamaktadır. Platelet aktivasyonunu göstergesi olan mean platelet volüm (MPV) aterotromboz için yeni tanımlanan risk faktörlerinden birisidir. Bu çalışmada IBH ile MPV arasındaki ilişkiyi araştırdık.

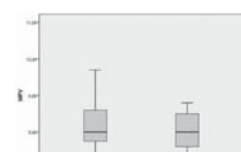
**Materyal-Metod:** Çalışmaya Gastroenteroloji poliklinigine başvuran remisyonda olan 17 CH, 23 ÜK hastası ile 40 sağlıklı kontrol grubu alındı. Kanıtlanmış ateroskleroz, diabet, hipertansiyon, hiperlipidez, böbrek yetmezliği olan, sigara kullanan, 45 yaş üstü hastalar ile 6 aydan daha kısa süreli tanıtı olan ve remisyonda olmayan hastalar çalışmamışlandı. Hastaların ve kontrol grubunun MPV değerleri ölçüldü.

**Bulgular:** IBH ve kontrol grubu demografik veriler arasında karşılaştırıldığında yaş, cinsiyet, vitük kitle indeksi, sistolek ve diastolek kan basıncı, kreatinin, ALT, total kolesterol, LDL kolesterol, HDL kolesterol, triglisid ve sedimentasyon değerleri arasında istatistiksel anlamlı farklılık saptanmadı (Tablo 1). MPV değerlerini kontrol grubuna göre istatistiksel olarak anlamlı derecede yüksek olduğu görüldü ( $8.17\pm 0.71$  vs.  $7.76\pm 0.48$  fl;  $p=0.004$ ) (Şekil 1). ÜK ve CH kendi aralarında karşılaştırıldığında ise MPV seviyelerinde farklılık tespit edilmiş ( $8.26\pm 0.82$  vs.  $8.05\pm 0.52$  fl;  $p=0.3$ ) (Şekil 2).

**Sonuç:** Çalışmamızda elde ettigimiz sonuçlar IBH'da platelet aktivasyonunu artırmayı ve bu hastalarda aterotrombotik riskin arttığını göstermektedir. Bunun en olası nedeninin ise IBH'da oluşan kronik infamasyonun endotel disfonksiyonuna yol açması ve bu hastalarda oluşan inflamatuar yanıtın olduğu düşünülmektedir.

Desemis	IBH (n=26) $\pm$ SD	kontrol grubu (n=40) $\pm$ SD	P-değer
Yaş (yıl)	38.4 $\pm$ 10.5	38.2 $\pm$ 9.8	0.87
Antrenman (saati/hafta)	0.78 $\pm$ 0.52	0.79 $\pm$ 0.24	0.76
AKT (mm)	10.2 $\pm$ 1.0	10.3 $\pm$ 1.0	0.88
Total kolesterol (mg/dL)	170.2 $\pm$ 21.0	170.1 $\pm$ 21.0	0.93
LDL (mg/dL)	107.9 $\pm$ 21.4	99 $\pm$ 20.0	0.09
HDL (mg/dL)	53.2 $\pm$ 10.4	49.3 $\pm$ 8.4	0.01
Triglisid (mg/dL)	140.8 $\pm$ 44.3	139.2 $\pm$ 30.0	0.81
Dekstrat kan basıncı (mmHg)	117.8 $\pm$ 10	118.8 $\pm$ 10	0.88
Dekstrat kan basıncı (mmHg)	74.8 $\pm$ 7.2	73.2 $\pm$ 7.2	0.88
Alanin amino transfer LDL (U/L)	77.6 $\pm$ 18.3	66.8 $\pm$ 14.6	0.05
Lipoprotein lipaz (mg/dL)	21.44 $\pm$ 1.16	18.1 $\pm$ 1.07	0.01
Endotelik faktör (ng/ml)	1.1 $\pm$ 0.27	1.0 $\pm$ 0.27	0.27
Age (yaş) (yıl)	86.2 $\pm$ 6.3	84.8 $\pm$ 6.3	0.82
VTK (kg/m <sup>2</sup> )	23.74 $\pm$ 3.94	23.77 $\pm$ 3.26	0.98

Şekil 1. Inflamatuar barsak hastaları ve kontrol grubunda MPV değerlerinin karşılaştırılması



Şekil 2. Ülseratif kolit ve Chron hastalarında MPV değerlerinin karşılaştırılması

### Evaluation of atherothrombotic risk with mean platelet volume in patients with inflammatory bowel disease

Mustafa Serkan Karakas<sup>1</sup>, Erhan Alkan<sup>2</sup>, Bülent Yıldırım<sup>2</sup>

<sup>1</sup>Department of Cardiology, Niğde State Hospital, Niğde

<sup>2</sup>Department of Internal Medicine and Gastroenterology, Akdeniz University Faculty of Medicine, Antalya

**Amaç:** Ülseratif kolit (ÜK) ve Chron hastalığı (CH) olarak iki formu bulunan inflamatuar barsak hastalıkları (IBH), genetik olarak duyarlı kişilerde, cestit antijenlere ya da çevresel faktörlere karşı abartılı bir immun yanıt ile meydana gelen, nedeni tam olarak bilinmeyen, kronik seyirli, iyilik ve aktivasyon dönemleri olan bir grup inflamatuar hastalık. IBH'da aterotrombotik olaylarda artı saptanmıştır. Aterotromboz patofiziolojisinde platelet aktivasyon ve agragasyonu önemli rol oynamaktadır. Platelet aktivasyonunu göstergesi olan mean platelet volüm (MPV) aterotromboz için yeni tanımlanan risk faktörlerinden birisidir. Bu çalışmada IBH ile MPV arasındaki ilişkiyi araştırdık.

**Materyal-Metod:** Çalışmaya Gastroenteroloji poliklinigine başvuran remisyonda olan 17 CH, 23 ÜK hastası ile 40 sağlıklı kontrol grubu alındı. Kanıtlanmış ateroskleroz, diabet, hipertansiyon, hiperlipidez, böbrek yetmezliği olan, sigara kullanan, 45 yaş üstü hastalar ile 6 aydan daha kısa süreli tanıtı olan ve remisyonda olmayan hastalar çalışmamışlandı. Hastaların ve kontrol grubunun MPV değerleri ölçüldü.

**Bulgular:** IBH ve kontrol grubu demografik veriler arasında karşılaştırıldığında yaş, cinsiyet, vitük kitle indeksi, sistolek ve diastolek kan basıncı, kreatinin, ALT, total kolesterol, LDL kolesterol, HDL kolesterol, triglisid ve sedimentasyon değerleri arasında istatistiksel anlamlı farklılık saptanmadı (Tablo 1). MPV değerlerini kontrol grubuna göre istatistiksel olarak anlamlı derecede yüksek olduğu görüldü ( $8.17\pm 0.71$  vs.  $7.76\pm 0.48$  fl;  $p=0.004$ ) (Şekil 1). ÜK ve CH kendi aralarında karşılaştırıldığında ise MPV seviyelerinde farklılık tespit edilmiş ( $8.26\pm 0.82$  vs.  $8.05\pm 0.52$  fl;  $p=0.3$ ) (Şekil 2).

**Sonuç:** Çalışmamızda elde ettigimiz sonuçlar IBH'da platelet aktivasyonunu artırmayı ve bu hastalarda aterotrombotik riskin arttığını göstermektedir. Bunun en olası nedeninin ise IBH'da oluşan kronik infamasyonun endotel disfonksiyonuna yol açması ve bu hastalarda oluşan inflamatuar yanıtın olduğu düşünülmektedir.

P-252

**Kardiyopulmoner bypass ve aortik kros klemp sürelerinin preoperatif dönemde beta blokör kullanan koroner arter hastalarında postoperatif dönemde atriyal fibrilasyon görülme sıklığına etkisi**

Berkan Özpak<sup>1</sup>, Ömer Tetik<sup>2</sup>, Ufuk Yetkin<sup>3</sup>, İsmail Yürekli<sup>3</sup>, Kazım Ergüneş<sup>3</sup>, Orhan Gökalf<sup>3</sup>, Levent Yıldız<sup>3</sup>, Ali Gürbüz<sup>3</sup>

<sup>1</sup>Tekirdağ Devlet Hastanesi, Tekirdağ

<sup>2</sup>Bursa Yüksek İhtisas Eğitim ve Araştırma Hastanesi, Kalp ve Damar Cerrahisi Bölümü, Bursa

<sup>3</sup>İzmir Atatürk Eğitim ve Araştırma Hastanesi, Göğüs Kalp ve Damar Cerrahisi Anabilim Dalı, İzmir

**Amaç:** Postoperatif AF problemi, genellikle iyi seyirli olarak bilin de, kalp ameliyatları sonrası sistemik embolizasyon ve hemodinamik bozulma gibi ciddi sorunlara yol açabilmektedir. Postop AF profilaksi için farmakolojik ve elektrofizyolojik pek çok çalışma yapılmıştır ve bu çalışmalar kisman başarıya ulaşmıştır.

**Gereç-Yöntem:** Bu çalışmada Şubat 2006 ve Temmuz 2009 tarihleri arasında Kliniğimizde preoperatif B blokör kullanan (54) ve kullanmayan (54) olmak üzere KABG uygulanan 108 hasta seçilmişdir.

**Bulgular:** Grup 1' deki hastaların ortalama kros klemp süresi  $59.04 \pm 14.57$  dakika, ortalama kardiyopulmoner baypas süresi  $119.24 \pm 24.64$  dakika idi. Grup 2' deki hastaların ortalama kros klemp süresi  $52.15 \pm 13.39$  dakika, ortalama kardiyopulmoner baypas süresi ise  $117.19 \pm 21.01$  dakika idi. Her iki gruba da KABG için konan ortalama grefet sayıısı 3.0 idi. B blokör kullanımına göre AF varlığı ile kros-klep süre ortalamaları arasında istatistiksel olarak anlamlı fark bulundu ( $p=0.012$  -  $p<0.05$ ). B blokör kullanımına göre AF varlığı ile Kardiyopulmoner Baypas(KPB) süresi ortalamaları arasında istatistiksel olarak anlamlı fark bulunmadı ( $p=0.05$ ).

**Sonuç:** Son yıllarda kardiyopulmoner bypass, kardiyoplejik arrest, cerrahi ve anestezik tekniklerdeki tüm ilerlemelere rağmen kalp cerrahisi sonrası görülen atriyal fibrilasyonun sıklığı azalmakta, hatta paradoksal olarak artmaktadır.

P-253

**Egzersiz stres testi yapılan hastalarda ölçülen QT dispersyonunun koroner arter hastalığının anjiyografik yayılmış derecesini öngörebilme gücü**

İlker Murat Çağlar<sup>1</sup>, Faruk Aktürk<sup>2</sup>, Fatma Nihan Turhan Çağlar<sup>3</sup>, Mehmet Ertürk<sup>2</sup>, Ahmet Arif Yalçın<sup>2</sup>, Fatih Uzun<sup>2</sup>, Ali Birand<sup>2</sup>, Ender Öner<sup>2</sup>, Özgür Akgül<sup>2</sup>, Bülent Demir<sup>1</sup>

<sup>1</sup>Dr. Sadi Konuk Eğitim ve Araştırma Hastanesi, İstanbul

<sup>2</sup>Mehmet Akif Ersoy Eğitim ve Araştırma Hastanesi, İstanbul

<sup>3</sup>İstanbul Eğitim ve Araştırma Hastanesi, İstanbul

P-252

**Effect of cardiopulmonary bypass time and aortic cross clamping time on frequency of postoperative atrial fibrillation among patients with coronary artery disease receiving beta blocker therapy preoperatively**

Berkan Özpak<sup>1</sup>, Ömer Tetik<sup>2</sup>, Ufuk Yetkin<sup>3</sup>, İsmail Yürekli<sup>3</sup>, Kazım Ergüneş<sup>3</sup>, Orhan Gökalf<sup>3</sup>, Levent Yıldız<sup>3</sup>, Ali Gürbüz<sup>3</sup>

<sup>1</sup>Tekirdağ State Hospital, Tekirdağ

<sup>2</sup>Department of Cardiovascular Surger, Bursa Yüksek İhtisas Training and Research Hospital, Bursa

<sup>3</sup>Department of Thoracic and Cardiovascular Surgery, İzmir Atatürk Training and Research Hospital, İzmir

P-253

**The value of QT dispersion in patients undergoing exercise stress test to predict the degree of angiographic extent of coronary artery disease**

İlker Murat Çağlar<sup>1</sup>, Faruk Aktürk<sup>2</sup>, Fatma Nihan Turhan Çağlar<sup>3</sup>, Mehmet Ertürk<sup>2</sup>, Ahmet Arif Yalçın<sup>2</sup>, Fatih Uzun<sup>2</sup>, Ali Birand<sup>2</sup>, Ender Öner<sup>2</sup>, Özgür Akgül<sup>2</sup>, Bülent Demir<sup>1</sup>

<sup>1</sup>Dr. Sadi Konuk Education and Research Hospital, İstanbul

<sup>2</sup>Mehmet Akif Ersoy Education and Research Hospital, İstanbul

<sup>3</sup>İstanbul Education and Research Hospital, İstanbul

**Purpose:** Previous studies have shown QT interval prolongation due to myocardial ischemia. However the role of QT dispersion (QTd) to detect the angiographic extent of coronary artery disease (CAD) has not been studied sufficiently. Therefore, the aim of this study is to investigate the association between resting and 1st minute recovery QTd and the angiographic extent of coronary artery disease (CAD) using Gensini score in patients with positive exercise stress test.

**Methods:** We enrolled 180 consecutive patients (47 female, 133 male and the mean age of 55±9); without a history of previous revascularisation; who admitted to our cardiology clinic with chest pain and underwent coronary angiography (CAG) because the exercise stress test was positive. 78 (42.9%) had diabetes, 87 (48.2) had hypertension, 98 (54.4%) had hyperlipidemia and 85 (47.4%) were smoking. All of the patients' Gensini score were calculated from angiographic images. QT interval was measured 2 times during exercise test; first before starting exercise (resting) and second 1 minute after recovery; from all derivations as the time interval from the beginning of QRS to the end of the T-wave. The longest (QT max) and shortest (QTmin) QT intervals were recorded and corrected QT (cQT) intervals were measured by taking the QT interval and dividing it by the square root of the R-R interval to allow an assessment of the QT interval independent of heart rate. QTd was defined as the difference between cQTmax and cQTmin. Measurements were performed by two independent observers who were uninformed about the patients. The association between Gensini score and P-wave dispersions were evaluated using Spearman correlation test.

**Results:** Clinical features and QT parameters of the patients are given in table-1. There was no statistically significant association between Gensini score and resting and 1st minute recovery QTd ( $r=0.004$ ,  $p>0.958$  vs  $r=0.140$ ,  $p=0.06$ ; respectively) (table-2). There was a significant but weak positive correlation between Gensini score and age, diabetes and hyperlipidemia ( $p=0.001$ ,  $r=0.261$ ;  $p=0.013$ ,  $r=0.330$ ;  $p=0.032$ ,  $r=0.284$ ; respectively) and a significant but weak negative correlation between Gensini score and with peak heart rate ( $p<0.001$ ,  $r=-0.364$ ).

**Conclusions:** QTd measured at the beginning and 1st minute of recovery of exercise stress test do not seem to predict the angiographic extent of CAD.

Parameters	Patients (n=180) mean±SD
Age	55.16±9
Sex (male, %)	133 (73.9)
Diabetes (%)	78 (42.9)
Hypertension (%)	87 (48.2)
Smoking (%)	85(47.4)
Hyperlipidemia (%)	98(54.4)
Resting HR (beats/min)	86.29±15.06
Peak HR (beats/min)	151.66±17.72
Resting QTmax (msec)	371.74±29.21
Resting QTmin (msec)	330.61±29.54
Resting QTdispersion (msec)	39.84±16.36
1:min recovery QTmax (msec)	295.39±34.18
1:min recovery QTmin (msec)	264.17±35.48
1:min recovery QTdispersion (msec)	40.38±14.19
Gensini score	28.67±36.32

HR:heart rate

**Table 1.** Clinical features and ECG parameters of the patients

Parameters	r value	p value
Age	0.261	<0.001
Diabetes	0.330	0.013
Hypertension	0.186	0.170
Smoking	0.150	0.264
Hyperlipidemia	0.284	0.032
Resting HR	-0.117	0.119
Peak HR	-0.364	<0.001
Resting QTmax	0.193	0.010
Resting QTmin	0.181	0.015
Resting QTd	0.004	0.958
1:min recovery QTmax	0.188	0.012
1:min recovery QTmin	0.192	0.010
1:min recovery QTdispersion	0.140	0.060

**Table 2.** Correlation between Gensini score and other parameters

**P-254****Genç hastalarda glikolize hemoglobin geleneksel risk faktörlerinden bağımsız olarak koroner arter hastalığının ciddiyeti ile koreledger**

Suzi Selim Ayhan<sup>1</sup>, Mehmet Tosun<sup>2</sup>, Serkan Öztürk<sup>1</sup>, Aytekin Alçelik<sup>3</sup>, Mehmet Fatih Özlu<sup>1</sup>, Alim Erdem<sup>1</sup>, Kemalettin Erdem<sup>4</sup>, Fatma Hizal Erdem<sup>5</sup>, Mehmet Yazıcı<sup>1</sup>

<sup>1</sup>Abant İzzet Baysal Üniversitesi Tıp Fakültesi, Kardiyoloji Anabilim Dalı, Bolu

<sup>2</sup>Abant İzzet Baysal Üniversitesi Tıp Fakültesi, Biyokimya Anabilim Dalı, Bolu

<sup>3</sup>Abant İzzet Baysal Üniversitesi Tıp Fakültesi, İç Hastalıkları Anabilim Dalı, Bolu

<sup>4</sup>Abant İzzet Baysal Üniversitesi Tıp Fakültesi, Kalp Damar Cerrahisi Anabilim Dalı, Bolu

<sup>5</sup>Sivas Numune Hastanesi, Kardiyoloji Kliniği, Sivas

**P-254****Glycosylated hemoglobin is correlated with the severity of coronary artery disease independently of traditional risk factors in young patients**

Suzi Selim Ayhan<sup>1</sup>, Mehmet Tosun<sup>2</sup>, Serkan Öztürk<sup>1</sup>, Aytekin Alçelik<sup>3</sup>, Mehmet Fatih Özlu<sup>1</sup>, Alim Erdem<sup>1</sup>, Kemalettin Erdem<sup>4</sup>, Fatma Hizal Erdem<sup>5</sup>, Mehmet Yazıcı<sup>1</sup>

<sup>1</sup>Department of Cardiology, Faculty of Medicine, Abant İzzet Baysal University, Bolu

<sup>2</sup>Department of Biochemistry, Faculty of Medicine, Abant İzzet Baysal University, Bolu

<sup>3</sup>Department of Internal Medicine, Faculty of Medicine, Abant İzzet Baysal University, Bolu

<sup>4</sup>Department of Cardiovascular Surgery, Faculty of Medicine, Abant İzzet Baysal University, Bolu

<sup>5</sup>Department of Cardiology, Numune Hospital, Sivas

**Objectives:** In this study, we aimed to investigate the relationship between glycosylated hemoglobin (HbA1c) levels and the severity of coronary artery disease (CAD) in < 40 years old patients.

**Methods:** The study population consisted of 211 premature coronary atherosclerotic patients (pCAP) ( $36.4 \pm 2.5$  years) and 160 control subjects ( $36.4 \pm 2.4$  years). The severity of CAD was evaluated by the Gensini scoring system. HbA1c levels and the other basic biochemical parameters were analyzed, and relations with severity of CAD were evaluated.

**Results:** There were statistically significant differences in serum HbA1c levels between two groups (pCAP =  $6.1 \pm 1.8\%$ , Control =  $4.7 \pm 1.2\%$ ,  $p < 0.001$ ). HbA1c levels significantly positive correlated with the Gensini score in pCAP ( $r = 0.662$ ,  $p < 0.001$ ). In linear multivariate regression analysis (including age, sex, HbA1C, smoking, diabetes mellitus and hypertension as dependent parameters), only HbA1c was found to be independent risk factors for the presence of severe CAD ( $Beta = 0.374$ ,  $p < 0.001$ ). In ROC curve analysis, the optimal cut-off value of HbA1c to predict severe CAD was 6.52%, with 74.4% sensitivity and 75.1% specificity (area under the curve 0.781, 95% confidence interval 0.661 to 0.901,  $p < 0.001$ ).

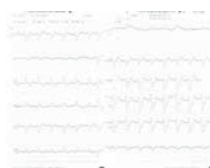
**Conclusions:** HbA1c levels were found to be correlated with the Gensini score in pCAP with and without diabetes. In this respect, glucose metabolism abnormalities, indicated by HbA1c, may play an important role in premature CAD.

**P-255****Woven koroner arter anomalisi: Ne kadar masum?**

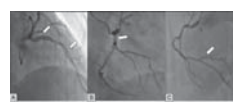
S. Selim Ayhan, Serkan Öztürk, Mehmet Fatih Özlu, Alim Erdem, Mehmet Yazıcı

Abant İzzet Baysal Üniversitesi, Bolu Tıp Fakültesi Araştırma ve Uygulama Hastanesi, Kardiyoloji Bölümü, Bolu

Koroner arterlerin konjenital anomalileri genel populasyonda %0.6-1.3 oranında rapor edilmiştir. Woven koroner arter anomalisi (WKAA), koroner arterin ince kanalları bölündüğü ve bu kanalların distalde tekrar lumende nadir nadir görülen konjenital bir anomaliidir. Patogenezi tam olarak bilinmemekte birlikte spontan diseksiyonlar sonrası da olası olacağı ileri sürülmüştür. Genellikle anomalili segment koroner arterin birkaç santimlik kısmında lokalize kalmaktadır ve distal koroner akımının dolgununu etkilememektedir. Literatürde, coğullu koroner anjiyografi esnasında rastlantısal olarak tespit edilen bu anomalii, benign olarak kabul edilmektedir. Literatürde kardiyak arrest ile gelen WKAA su ana kadar henüz bildirilmemiştir. Daha önceden bilinen herhangi bir hastalığı olmayan 42 yaşında erkek hasta futbol oynarken aniden fenaşlaşip arrest olması üzerine 112 ile acil servise getirildi. İlk değerlendirildiğinde asistolda olan hastanın yaklaşık 10 dk süren kardiyopulmoner resusitasyon sonrası sinus ritmine döndürülüğü öğrenildi. Entübe olan hastanın acil servisinde TA: 70/50 mmHg, Nbz: 78 at/dk, sPO2: % 97 idi. Elektrokardiyografisinde sinus ritmi, D3 ve AVR derivasyonunda ST segment elevasyonu, T negatifliği, D2 derivasyonunda T negatifliği ve yaygın ST segment depresyonu izlendi (Şekil 1). Yapılan ekokardiyografisinde diffüzyon hipokinezi, EF: % 30 olarak değerlendirildi. Hastada akut koroner sendrom ölümsüz koroner yoğun bakım ünitesine transfer edildi. Takiplerde biyokimyasal parametrelerinde troponin I: > 180 ng/ml, CK: 15677 U/L CK-MB: 619 U/L, Potasyum: 3.7 mmol/l, Kreatinin: 1.7 mg/dl olarak tespit edildi. Hastaya koroner anjiyografi planlandı. Koroner anjiyografide sağ koronerin proksimal ve distal, sol anterior iner arterin proksimal ve mid segmentinde arter lumenini multipl ince kanallara bölen yapı izlendi. İlging olarak bu segmentlerin distalindeki koroner akımı normal (TIMI-3) ve hastada herhangi bir aterosklerotik plak yoktu (Şekil 2). WKAA olarak değerlendirildi. Hastada sol anterior iner artere anjiyoplasti işlemi düşünülmeli. Takiplerinde hemodinamik stabi seyreden hasta hiposık ensafelopati nedeniley reanimasyon servisine devredildi. WKAA'nın ayrıca tansında, koroner diseksiyon ve trombus düşüntürmektedir. Koroner diseksiyon eşlik eden, yalanç lumenin distalindeki bozulmuş akım, anjiyografik olarak anomaliden ayrılmamasına önemlidir. Mevcut lezyonun trombus veya diseksiyon sebebi olabilir. Literatürde, WKAA hakkındaki veri oldukça az olmakla birlikte mevcut vakada olduğu gibi kardiyak arrestle gelmiş olsa bildirilmemiştir. Bizim vakamızda ise WKAA'nın tetiklediği muhtemel koroner trombusun, akut koroner sendroma ve kardiyak arreste sebep olduğunu düşünebiliriz. Günümüzde WKAA her ne kadar benign bir patoloji olarak kabul edilse de hayatı tehdit eden durumlara da sebep olabileceği akılda tutulmalıdır.



Şekil 1.



Şekil 2. LAD proksimal ve mid segmentteki (A) ince kanalları (beyaz ok) gösteren projeksiyon. RCA proksimal (B) ve distal (C) segmentlerdeki ince kanalları (beyaz ok) gösteren projeksiyon.

**P-255****Woven coronary artery anomaly: innocent?**

S. Selim Ayhan, Serkan Öztürk, Mehmet Fatih Özlu, Alim Erdem, Mehmet Yazıcı

Department of Cardiology, Abant İzzet Baysal University, Bolu Faculty of Medicine, Research and Application Hospital, Bolu

**Koroner arter hastalığı karmaşıklığı ile nötrofil lenfosit oranı ilişkisi**

Osman Sonmez, Abdurrahman Tasal, Ercan Erdogan, Gokhan Ertas, Murat Turfan, Ahmet Bacaksiz, Mehmet Akif Vatankulu, Emin Asoğlu, Emrah Sevgili, Omer Goktekin  
Bezmialem Vakıf Üniversitesi Tıp Fakültesi, Kardiyoloji Anabilim Dalı, İstanbul

**Relation of neutrophil lenfocyte ratio (NLR) with the complexity of coronary artery disease**

Osman Sonmez, Abdurrahman Tasal, Ercan Erdogan, Gokhan Ertas, Murat Turfan, Ahmet Bacaksiz, Mehmet Akif Vatankulu, Emin Asoğlu, Emrah Sevgili, Omer Goktekin  
Bezmialem Vakıf University, Faculty of Medicine, Department of Cardiology, İstanbul

**Introduction:** The ratio between neutrophils and lymphocytes (NLR) count is a new predictor for cardiovascular risk and mortality, although its relation with coronary artery disease (CAD) severity and complexity is not yet known. The SYNTAX score is an angiographic tool used in grading the complexity of CAD. Therefore we aimed to assess the relation of NLR with the complexity of coronary artery disease.

**Subjects and Methods:** The study population included 101 patients who had undergone coronary angiography for stable angina pectoris. Baseline NLR was measured by dividing Neutrophil count to lymphocyte count. Each coronary lesion with a diameter stenosis of at least 50%, in vessels at least 1.5 mm, were scored. The online latest updated version was used for the calculation of the SYNTAX scores ([www.syntaxscore.com](http://www.syntaxscore.com)). Patients were classified two groups as SYNTAX score high (>32) (n:25) and moderate-to-low SYNTAX scores (<32) (n:76). Continuous variables are expressed as mean±SD. Categorical variables are expressed as percentages. To compare parametric continuous variables, Student's t-test or analysis of variance was used; to compare nonparametric continuous variables, the Mann-Whitney U-test or the Kruskall-Wallis test was used. To compare categorical variables, the Chi-square-test was used.

**Results:** Comprehensive demographic and variables result were shown in Table 1

**Conclusion:** NLR is a strong clinical laboratory value that is associated with the complexity of CAD.

**Table.** Comprehensive demographic and variables result

	Syntax Score >32 N:25	Syntax Score <32 N:76	p value
Age	68	61	0,008*
Female/Male	5/20	25/51	0,43
Diabetes %	80	52	0,05
Hypertension %	82	65	0,10
Bmi kg/m <sup>2</sup>	31	29	0,34
Wbc	8,0±2,2	7,5±3,1	0,35
Neutrophil	5,1±1,7	4,5±1,6	0,13
Lymphocyte	1,9±0,5	1,8±0,6	0,27
NLR	2,5±3,3-2,3)	2,1 (0,7-1,5)	0,018*
Hemoglobin	12,4±1,7	12,6±1,7	0,72
Kreatinin	1,0±0,4	0,9±0,2	0,82
LDL	122±39	133±27	0,40
Aspirin %	38	36	NS
Beta Blocker %	20	13	NS
Ace inh %	36	38	NS
Statin %	12	23	NS

Bmi: Body Mass Index, NLR: Neutrophil Lymphocyte Ratio. NS: Not Significant \*.Mann Whitney U test

**Serum leptin düzeyinin koroner kollateral gelişimi üzerine bir etkisi var mıdır?**

Özgür Günebakmaz<sup>1</sup>, Mehmet G. Kaya<sup>1</sup>, Mustafa Duran<sup>2</sup>, Mahmut Akpek<sup>1</sup>, Cemil Zencir<sup>3</sup>, Deniz Elçik<sup>1</sup>, Abdurrahman Oguzhan<sup>1</sup>

<sup>1</sup>Erciyes Üniversitesi Tıp Fakültesi, Kardiyoloji Anabilim Dalı, Kayseri

<sup>2</sup>Kayseri Eğitim ve Araştırma Hastanesi, Kardiyoloji Kliniği, Kayseri

<sup>3</sup>Kahramanmaraş Devlet Hastanesi, Kardiyoloji Kliniği, Kahramanmaraş

**Does serum leptin have any effect on coronary collateral development**

Özgür Günebakmaz<sup>1</sup>, Mehmet G. Kaya<sup>1</sup>, Mustafa Duran<sup>2</sup>, Mahmut Akpek<sup>1</sup>, Cemil Zencir<sup>3</sup>, Deniz Elçik<sup>1</sup>, Abdurrahman Oguzhan<sup>1</sup>

<sup>1</sup>Erciyes University School of Medicine, Department of Cardiology, Kayseri

<sup>2</sup>Kayseri Education and Research Hospital, Department of Cardiology, Kayseri

<sup>3</sup>Kahramanmaraş State Hospital, Department of cardiology, Kahramanmaraş

**Background:** The effect of leptin on arteriogenesis and vascular functions has been addressed in some researches and knowledge about this issue has steadily progressed during recent years.

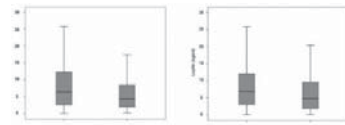
**Hypothesis:** We attempted to investigate the potential association between leptin and coronary collateral vessel development.

**Methods:** One hundred and nineteen consecutive patients with USCAD who had high grade coronary stenosis or occlusion in at least one epicardial coronary artery at diagnostic angiography were prospectively enrolled. Collateral circulation was graded according to the Rentrop classification.

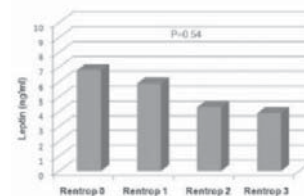
**Results:** Firstly, we divided patients into two groups as good collateral group and poor collateral group. Patients with Rentrop 2,3 collateral development were regarded as good collateral group. Patients in Rentrop grades 0, 1 classified as poor collateral group. The baseline characteristics of patients with good and poor collateral groups are presented in Table 1. Secondly, patients were divided into collateral (+) group and collateral (-) group. Collateral (+) group included the patients with grade 1,2,3 collateral development. Collateral (-) group was composed of the patients with Rentrop 0. All demographic, clinical and laboratory variables were similar between two groups as demonstrated in Table 2. We did not find statistically significant difference between good collateral group and poor collateral group with regard to leptin levels [4.2 (1.8-8.6) ng/ml and 6.4 (2.4-12.6) ng/ml, p=0.22, respectively] (Table 1,Figure 1). Similarly there was no statistically significant difference in leptin levels between collateral (+) group and collateral (-) group [4.7 (1.7-10.5) ng/ml and 6.8 (2.7-12.1) ng/ml, p=0.33, respectively] (Table 2,Figure 1). We observed that there was lower leptin level at higher Rentrop grades [Rentrop 0: 6.8 (2.5-12.5) ng/ml, Rentrop 1: 5.9 (1.7-14.1) ng/ml, Rentrop 2: 4.3 (1.7-8.7) ng/ml, Rentrop 3: 3.9 (2.1-9.7) ng/ml]. But this difference did not reach statistically significant level (p=0.54)(Figure 2).

**Conclusions:** The present study reveals that there is no association between serum leptin level and coronary collateral development.





**Figure 1.** Comparison serum leptin levels in good collateral group vs poor collateral group and in collateral (+) group vs collateral (-) group



**Figure 2.** Serum leptin levels in all Rennertop groups

**Table 1.** Comparison of baseline characteristics, laboratory parameters and leptin levels between the good collateral group and poor collateral group

Baseline characteristics	Good collateral (n=33)	Poor collateral (n=66)	P
Age (y)	61.8 ± 15.5	63.0 ± 11.5	0.65
Sex (male/female)	23/10	59/7	0.90
Hypertension, n (%)	18 (54.5)	52 (60.6)	0.55
Diabetes mellitus, n (%)	13 (39.4)	32 (37.3)	0.82
Current smoker, n (%)	15 (45.5)	48 (72.7)	0.31
BMI (kg/m <sup>2</sup> )	26.5 ± 3.7	26.4 ± 5.3	0.89
Waist circumference, cm	93.0 ± 10.9	93.3 ± 12.8	0.93
Hip circumference, cm	93.3 ± 10.9	92.1 ± 11.5	0.98
Waist/hip ratio	0.91 ± 0.2	0.91 ± 0.1	0.58
Fasting glucose, mg/dl	111 (100-188)	107 (64-145)	0.17
Total cholesterol, mg/dl	1.0 (0.8-1.3)	1.0 (0.9-1.3)	0.85
Total cholesterol, mg/dl	178.6 ± 39.1	182.4 ± 46.7	0.60
LDL cholesterol, mg/dl	115.3 ± 29.6	119.1 ± 33.5	0.57
HDL cholesterol, mg/dl	35.7 ± 9.6	35.2 ± 8.3	0.79
Triglyceride, mg/dl	131 (100-182)	120 (90-182)	0.51
Hemoglobin, g/dl	13.8 (12.7-14.8)	13.0 (12.6-14.7)	0.88
white blood cell, 10 <sup>3</sup> /mm <sup>3</sup>	9.4 ± 4.3	9.0 ± 3.6	0.50
Hs-CRP, mg/dl	5.9 (4.2-17.7)	12.7 (4.9-6.6)	0.25
Leptin, ng/ml	4.2 (1.8-8.6)	6.4 (2.4-12.6)	0.22

Data are presented as the mean value ± SD, median (interquartile range) or number or percentage of patients. P < 0.05 considered statistically significant. BMI:body mass index, Hs-CRP:high sensitive C-reactive protein

**Table 2.** Comparison of baseline characteristics, laboratory parameters and leptin levels between collateral (+) group and collateral (-) group

Baseline characteristics	Collateral (+) group (n=68)	Collateral (-) group (n=53)	P
Age (y)	61.4 ± 14.1	64.3 ± 10.6	0.21
Sex (male/female)	45/23	37/16	0.84
Hypertension, n (%)	34 (50.7)	33 (62.3)	0.35
Diabetes mellitus, n (%)	20 (29.4)	21 (41.2)	0.06
Current smoker, n (%)	37 (56.1)	26 (49.1)	0.44
BMI (kg/m <sup>2</sup> )	26.7 ± 4.1	26.1 ± 3.8	0.53
waist circumference, cm	93.4 ± 11.6	92.4 ± 12.3	0.52
Hip circumference, cm	102.4 ± 12.2	101.6 ± 13.3	0.52
Waist/hip ratio	0.91 ± 0.2	0.91 ± 0.3	0.88
Fasting glucose, mg/dl	108 (96-151)	107 (96-158)	0.67
Baseline creatinine, mg/dl	1.0 (0.9-1.3)	1.0 (0.9-1.3)	0.82
Total cholesterol, mg/dl	184.3 ± 44.9	179.2 ± 44.5	0.54
LDL cholesterol, mg/dl	118.9 ± 32.9	117.4 ± 32.0	0.81
HDL cholesterol, mg/dl	35.2 ± 9.0	35.6 ± 8.3	0.79
Triglyceride, mg/dl	131 (100-182)	131 (100-182)	0.84
Hemoglobin, g/dl	13.8 (12.7-14.7)	13.8 (12.7-14.6)	0.76
white blood cell, 10 <sup>3</sup> /mm <sup>3</sup>	9.3 ± 3.4	10.1 ± 3.8	0.36
Hs-CRP, mg/dl	9.7 (3.9-28)	11.1 (6.5-27)	0.43
Leptin, ng/ml	4.7 (1.7-16.5)	6.8 (2.7-14.1)	0.33

Data are presented as the mean value ± SD, median (interquartile range) or number or percentage of patients. P < 0.05 considered statistically significant. BMI:body mass index, Hs-CRP:high sensitive C-reactive protein

## P-258

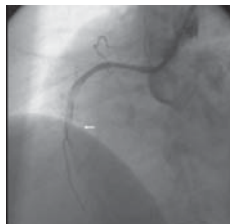
### Nonaterosklerotik miyokard infarktüsünün nadir bir nedeni: Romatoid artrit

Ziya Simsek, M. Hakan Taş, Ednan Bayram, Hüseyin Şenocak, Şule Karakelleoglu, Mahmut Açıkel

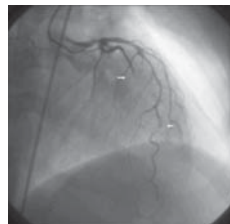
Atatürk Üniversitesi Tip Fakültesi, Kardiyoloji Anabilim Dalı, Erzurum

34 yaşında bayan hasta ani başlayan göğüs ağrısı ve baş dönmesi şikayetleri ile başvurduğu dış merkezde çekilen EKG sindrome inferior derivasyonlarında ST elevasyonu saptanması üzerine kliniğiimize sevk edildi. Klinığımızda çekilen EKG içinde inferior ve sağ derivasyonlarında ST elevasyonu, 1<sup>o</sup> AV blok saptanan hasta 7 saatlik inferior ve sağ ventrikül miyokard infarktüsü olarak değerlendirildi ve acil olarak koroner anjiyografi üntesinesi alındı. Anjiografisinde sağ koroner arterin proximalinde total okluzyon, sırkümfler arterin ikinci optik marjin dalından sonra %100 ve sol önen koroner arterin ikinci diagonal dalından sonra yoğun trombus yükü saptandı (Resim 1 ve 2). Ventrikulografiye inferior duvar akinetik, apikal segmentler hipokinetic idi. Sol ventrikül sistolik basincı 90mmHg, diyalostolik 20 mmHg olarak saptandı. Hastanın sağ koroner arterine PTCA denendi ancak distal TIMI akımı sağlanamadı. PTCA'nın başarısız olmasından dolayı hastaya infarktüsünün 8. saatinde trombolytic tedavi olarak t-PA uygulandı. Fakat trombolitik tedaviden de fayda görmeyen hasta infarktüsünün 12. saatinde kardiyogenik sıkışıklık gelerek exitus oldu. Hastanın daha öncesine ait kalpe ilgili bir yakınması ve risk faktörü yoktu. 8 yıldan bu yana romatoid artrit nedeniyle steroid tedavisi almaktaydı ve steroid alımına bağlı Cushing Sendromu gelişmişti. Her iki el bileğinde ularn deviasyon, parmaklarında ise kuğu boynu deformiteleri mevcuttu. Romatoid artrite kardiyovasküler tutulum yaygındır. Klasik extra-artiküler tutuluma yanında perikardit, kardiomyopati/myokardit, kardiyak amiloidoz, koroner vaskülit, aritmî ve kapak hastalıkları ile aynı zamanda iskemik kalp hastalığına bağlı olarak gelişen konjestif kalp yetersizliği görülür. Kalpte en çok perikardit oluşturur. Ekokardiyografi ve otoskop çalışmalarında bu oran %50 civarındadır. Koroner arterite bağlı miyokard infarktüsü ise nadir görülmektedir.

Resim 1.



Resim 2.



## P-258

### A rare cause of non-atherosclerotic myocardial infarction: rheumatoid arthritis

Ziya Simsek, M. Hakan Taş, Ednan Bayram, Hüseyin Şenocak, Şule Karakelleoglu, Mahmut Açıkel

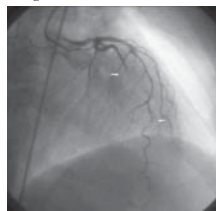
Department of Cardiology, Ataturk University Faculty of Medicine, Erzurum

A 34-year-old female patient was referred to our clinic upon the determination of ST segment elevation in the inferior derivations of ECG, which was taken at an external center where the patient applied with complaints of sudden chest pain and vertigo. Upon detection of first-degree AV block and ST segment elevations in the inferior and right derivations of ECG taken in our clinic, the patient was diagnosed as inferior and right ventricular myocardial infarction at the 7th hour. Therefore, patient was transferred to coronary angiography unit urgently. In the angiography, total occlusion of the proximal right coronary artery, 100% of thrombus burden after the second obtuse marginal branch of the circumflex coronary artery and dense thrombus burden after the second diagonal branch of left anterior descending coronary artery were determined (Fig 1 and 2). Inferior wall akinesis and apical segment hypokinesis were detected in ventriculography. Left ventricular systolic and diastolic pressure was determined as 90 mmHg and 20 mmHg, respectively. The patient underwent PTCA of the right coronary artery however; distal TIMI flow could not be restored. As the PTCA was unsuccessful, t-PA was applied to the patient as thrombolytic treatment at the 8th hour of the infarction. However, the patient did not benefit from the thrombolytic treatment and died due to cardiogenic shock developed at the 12th hour of infarction. There was no history of cardiovascular complaint or risk factor. Patient was receiving steroid treatment for 8 years for rheumatoid arthritis and due to steroid intake, Cushing syndrome had developed. There was ularn deviation in both wrists and swan-neck deformities in the fingers. Cardiovascular involvement is common in rheumatoid arthritis. In addition to classical extra-articular involvement, pericarditis, cardiomyopathy/myocarditis, cardiac amyloidosis, coronary vasculitis, arrhythmia, heart valve diseases and congestive heart failure due to ischemic heart disease are observed. Pericarditis is the most frequent complication of rheumatoid arthritis in the heart. Pericarditis rate is approximately 50% in echocardiography and autopsy studies. However, coronary arteritis due to myocardial infarction is rarely observed.

Figure 1.



Figure 2.



P-259

### Koroner arter hastalığının anjiyografik yaygınlığını öngörmek için egzersiz testi uygulanan hastalarda P dalgası dağılımının değeri

Faruk Aktürk<sup>1</sup>, Fatma Nihan Turhan Caglar<sup>2</sup>, İlker Murat Caglar<sup>3</sup>, Mehmet Ertürk<sup>1</sup>, Ahmet Arif Yalcın<sup>1</sup>, Fatih Uzun<sup>1</sup>, Ali Birand<sup>1</sup>, Ender Öner<sup>1</sup>, Özgür Akgül<sup>1</sup>, Bülent Demir<sup>3</sup>

<sup>1</sup>Mehmet Akif Ersoy Eğitim ve Araştırma Hastanesi, İstanbul

<sup>2</sup>İstanbul Eğitim ve Araştırma Hastanesi, İstanbul

<sup>3</sup>Dr. Sadi Konuk Eğitim ve Araştırma Hastanesi, İstanbul

P-259

### The value of P-wave dispersion in patients undergoing exercise stress test to predict the degree of angiographic extent of coronary artery disease

Faruk Aktürk<sup>1</sup>, Fatma Nihan Turhan Caglar<sup>2</sup>, İlker Murat Caglar<sup>3</sup>, Mehmet Ertürk<sup>1</sup>, Ahmet Arif Yalcın<sup>1</sup>, Fatih Uzun<sup>1</sup>, Ali Birand<sup>1</sup>, Ender Öner<sup>1</sup>, Özgür Akgül<sup>1</sup>, Bülent Demir<sup>3</sup>

<sup>1</sup>Mehmet Akif Ersoy Education and Research Hospital, İstanbul

<sup>2</sup>İstanbul Education and Research Hospital, İstanbul

<sup>3</sup>Dr. Sadi Konuk Education and Research Hospital, İstanbul

**Purpose:** Myocardial ischemia related-diastolic dysfunction and left atrial enlargement leads to P-wave duration variability. P-wave dispersion (PD) has been reported to be associated with inhomogeneous and discontinuous propagation of sinus impulses. The aim of this study is to investigate the association between resting and 1st minute recovery P-wave dispersion and the angiographic extent of coronary artery disease (CAD) using Gensini score in patients with positive exercise stress test.

**Methods:** We enrolled 180 consecutive patients (47 female, 133 male and the mean age of 55±9); without a history of previous revascularisation; who admitted to our cardiology clinic with chest pain and underwent coronary angiography (CAG) because the exercise stress test was positive. 78 (42.9%) had diabetes, 87 (48.2) had hypertension, 98 (54.4%) had hyperlipidemia and 85 (47.4%) were smoking. All of the patients' Gensini score were calculated from angiographic images. PD was measured 2 times pending exercise test; first before starting exercise and second 1 minute after recovery. The longest (Pmax) and shortest (Pmin) P-wave intervals measured from all derivations were recorded. PD was defined as the difference between Pmax and Pmin. Measurements were performed by two independent observers who were uninformed about the patients. The association between Gensini score and P-wave dispersions were evaluated using Spearman correlation test.

**Results:** There was no significant association between Gensini score and resting and 1st minute PD ( $r=0.112$ ,  $p>0.05$  ve  $r=0.129$ ,  $p>0.05$ , respectively). Gensini score was significantly positively correlated with age, diabetes and hyperlipidemia ( $p<0.001$ ,  $r=0.261$ ;  $p=0.013$ ,  $r=0.330$ ;  $p=0.032$ ,  $r=0.284$ ; respectively) and negatively correlated with peak heart rate ( $p=0.001$ ,  $r=-0.364$ ).

**Conclusions:** PD measured at the beginning and 1st minute of recovery of exercise stress test do not seem to predict the angiographic extent of CAD.

**Table 1.** Patient characteristics and findings

Parameters	Patients (n=180) mean±SD
Age	55.16±9
Sex (male, %)	133 (73.9)
Diabetes (%)	78 (42.9)
Hypertension (%)	87 (48.2)
Smoking (%)	85(47.4)
Hyperlipidemia (%)	98(54.4)
Resting HR (beat/min)	86.29±15.06
Peak HR (beat/min)	151.66±17.72
Resting P max (msec)	109.97±17.14
Resting P min (msec)	83.26±7.39
Resting P dispersion (msec)	26.71±11.68
1-min recovery P max (msec)	100.71±16.69
1-min recovery P min (msec)	77.39±17.11
1-min recovery P dispersion (msec)	23.39±8.49
Gensini score	28.67±36.32

HR:heart rate

**Table 2.** Correlation between Gensini score and other parameters

parameters	r value	p value
Age	0.261	<0.001
Diabetes	0.330	0.013
Hypertension	0.186	0.170
Smoking	0.150	0.264
Hyperlipidemia	0.284	0.032
Resting HR	-0.117	0.119
Peak HR	-0.364	<0.001
Resting Pmax	0.126	0.092
Resting Pmin	0.039	0.603
Resting Pdispersion	0.112	0.133
1-min recovery Pmax	0.015	0.843
1-min recovery Pmin	-0.043	0.566
1-min recovery Pdispersion	0.129	0.085

HR:heart rate

P-260

### Akut koroner sendromlu hastalarda yüksek serum ürik asit düzeyleri koroner arter hastalığının yaygınlığını öngörmektedir

Mustafa Duran<sup>1</sup>, Huseyin Arinc<sup>1</sup>, Yucel Yilmaz<sup>1</sup>, Onur Kadir Uysal<sup>1</sup>, Ozgur Gunebakmaz<sup>2</sup>, Fatma Esin<sup>3</sup>, Ramazan Akdemir<sup>4</sup>, Ali Dogan<sup>5</sup>, Mehmet Tugrul Inanc<sup>5</sup>, Ali Ergin<sup>5</sup>, Mehmet Gungor Kaya<sup>5</sup>

<sup>1</sup>Kayseri Eğitim ve Araştırma Hastanesi, Kardiyoloji Kliniği, Kayseri

<sup>2</sup>Kastamonu Devlet Hastanesi, Kardiyoloji Kliniği, Kastamonu

<sup>3</sup>Denizli Devlet Hastanesi, Kardiyoloji Kliniği, Denizli

<sup>4</sup>Sakarya Üniversitesi Tip Fakültesi, Kardiyoloji Anabilim Dalı, Kayseri

<sup>5</sup>Erciyes Üniversitesi Tip Fakültesi, Kardiyoloji Anabilim Dalı, Kayseri

P-260

### High levels of serum uric acid predict severity of coronary artery disease in patients with acute coronary syndrome

Mustafa Duran<sup>1</sup>, Huseyin Arinc<sup>1</sup>, Yucel Yilmaz<sup>1</sup>, Onur Kadir Uysal<sup>1</sup>, Ozgur Gunebakmaz<sup>2</sup>, Fatma Esin<sup>3</sup>, Ramazan Akdemir<sup>4</sup>, Ali Dogan<sup>5</sup>, Mehmet Tugrul Inanc<sup>5</sup>, Ali Ergin<sup>5</sup>, Mehmet Gungor Kaya<sup>5</sup>

<sup>1</sup>Kayseri Education and Research Hospital, Department of Cardiology, Kayseri

<sup>2</sup>Kastamonu City Hospital, Department of Cardiology, Kastamonu

<sup>3</sup>Denizli City Hospital, Department of Cardiology, Denizli

<sup>4</sup>Sakarya University Faculty of Medicine, Department of Cardiology, Kayseri

<sup>5</sup>Erciyes University Faculty of Medicine, Department of Cardiology, Kayseri

**Aim:** We aimed to elucidate the relation between serum uric acid (SUA) level and severity of coronary artery disease (CAD) in nondiabetic and nonhypertensive patients with acute coronary syndrome (ACS).

**Methods:** The study involved 246 patients who had ACS without hypertension and diabetes. All patients underwent coronary angiography on the first day after admission. Severity of CAD was assessed by the Gensini score. Fasting blood samples were drawn for the measurement of biochemical parameters.

**Results:** One, two and three or more diseased vessels were determined in 87 (35.4%), 55 (22.4%), 104 (42.2%) patients respectively. Hyperuricemic patients had higher gensini score, high number of diseased vessel, critical lesions ( $p<0.001$  for all parameters) and totally occlusion ( $p=0.022$ ). Serum uric acid level was significantly associated with number of diseased vessel ( $r=0.334$ ,  $p<0.001$ ). Serum uric acid was an independent risk factor for multivessel disease with univariate analysis (OR:1.47,  $p<0.001$ ).

**Conclusion:** High levels of SUA associated with the severity of CAD in nondiabetic and nonhypertensive patients with ACS and it may explain the cardiovascular outcomes of increased SUA levels. It is possible that high levels of SUA can be used as a surrogate marker in patients with CAD for its severity.

P-261

### Akut koroner sendromlu hastalarda glomerüler filtrasyon hızı koroner ateroskleroz yükü ile ilişkilidir

Mustafa Duran<sup>1</sup>, Ozgur Gunebakmaz<sup>2</sup>, Onur Kadir Uysal<sup>1</sup>, Fatih Akin<sup>1</sup>, Yucel Yilmaz<sup>1</sup>, Ramazan Topsakal<sup>3</sup>, Namik Kemal Eryol<sup>3</sup>, Ali Ergin<sup>3</sup>, Mehmet Tugrul Inanc<sup>3</sup>, Mehmet Gungor Kaya<sup>3</sup>

<sup>1</sup>Kayseri Eğitim ve Araştırma Hastanesi, Kardiyoloji Kliniği, Kayseri

<sup>2</sup>Kastamonu Devlet Hastanesi, Kardiyoloji Kliniği, Kastamonu

<sup>3</sup>Erciyes Üniversitesi Tip Fakültesi, Kardiyoloji Anabilim Dalı, Kayseri

P-261

### Glomerular filtration rate is associated with burden of coronary atherosclerosis in patients with acute coronary syndrome

Mustafa Duran<sup>1</sup>, Ozgur Gunebakmaz<sup>2</sup>, Onur Kadir Uysal<sup>1</sup>, Fatih Akin<sup>1</sup>, Yucel Yilmaz<sup>1</sup>, Ramazan Topsakal<sup>3</sup>, Namik Kemal Eryol<sup>3</sup>, Ali Ergin<sup>3</sup>, Mehmet Tugrul Inanc<sup>3</sup>, Mehmet Gungor Kaya<sup>3</sup>

<sup>1</sup>Kayseri Education and Research Hospital, Department of Cardiology, Kayseri

<sup>2</sup>Kastamonu City Hospital, Department of Cardiology, Kastamonu

<sup>3</sup>Erciyes University, Faculty of Medicine, Department of Cardiology, Kayseri

**Aim:** The renal failure was accepted as an important coronary risk factor. We aimed to elucidate the relationship between mild to moderate renal impairments and burden of atherosclerosis in patients with acute coronary syndrome (ACS).

**Methods:** A total of 380 patients with ACS who were admitted for a first coronary angiogram were included. The burden of atherosclerosis was assessed with number of diseased vessel and the number of lesions >=50% or >=70% or totally occlusion. Gensini and Syntax scores were also calculated. Kidney function was classified by estimated glomerular filtration rate (eGFR) into stage 1: eGFR>90, stage 2: 60-89 or stage 3: 30-60 mL/min/1.73 m<sup>2</sup>.

**Results:** Gensini and Syntax scores were higher in stage 2 and stage 3 than stage 1. Also number of diseased vessel, number of critical lesions (>50% and 70%), left main disease and number of totally occlusion vessels were higher in stage 2 and stage 3 than stage 1. Level of eGFR was lower in three or more and two vessel disease than one vessel disease. Multivariate linear regression analysis demonstrated that the decreased eGFR level was found to be an independent risk factor for Syntax and Gensini scores together with age and male gender.

**Conclusion:** In patients with ACS, mild to moderate renal impairments are very important factors associated with the burden of atherosclerosis. It is possible that eGFR can be a helpfull marker in patients with coronary artery disease for the burden of atherosclerosis.

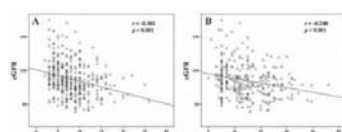


Figure 1. Graph of relation between levels of eGFR and Gensini and Syntax Scores

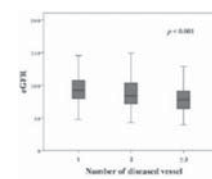


Figure 2. Graph of relation between levels of eGFR and number of diseased vessel

P-262

### Ortalama trombosit hacmi miyokard enfarktüsü tipini belirler mi?

Zeydin Acar<sup>1</sup>, Özgür Kaplan<sup>2</sup>, Levent Korkmaz<sup>1</sup>, Mustafa Tarık Ağaç<sup>1</sup>, Hakan Erkan<sup>1</sup>, İhsan Dursun<sup>1</sup>, Şükür Çelik<sup>1</sup>

<sup>1</sup>Ahi Evren Kalp ve Damar Cerrahisi Eğitim Araştırma Hastanesi, Trabzon

<sup>2</sup>Malatya Devlet Hastanesi, Kardiyoloji Kliniği, Malatya

**Giriş:** ST segment yükseligi olmayan miyokard enfarktüsü ile karşılaşıldığında, ST segment yükseltmesi olan miyokard enfarktüstünde damar lumenini tamamen takip eden trombus varlığı mevcuttur. Plak yırtılması ile başlayan olayın bir damarda sınırlı iken diğerinde niye tam olduğu bilinmemektedir. Tamamen tıkalı damarda trombosit aktivasyonunun rolü düşünülmekte beraber elimizde yeterli veri yoktur. Biz bu çalışmamızda trombosit fonksiyonlarının göstergesi olarak bu iki grup hasta ortalaması trombosit hacmine (OTH) baktır.

**Materyal-Metod:** Çalışmaya hazırlan 2009 ve Aralık 2010 tarihleri arasında acil serviste bakılan 480(% 63,5) ST segment yükseltmeli ve 271 ST segment yükseltmesiz olmak üzere 751 hasta retrospektif olarak çalışmaya alındı. Hastaların ilk başvurudaki kan örneklerinden ölçülen ortalama trombosit hacmi ölçüt alındı.

**Sonuçlar:** st yükseltmesi hasta grubu ile karşılaştırıldığında, st yükseltmeli grupta OTH daha yükseltti. 8,2±1 ve 8,6±1, p<0,025

**Tartışma:** Akut koroner sendrom patofiziolojisinde plak rüptürü başlatıcı neden olabilir ancak, bu rüptürün, koroner arterin bir kısmını mı(st elevasyonsuz) ?, yoksa hepsini mi(st elevasyonlu)? kayacağını etkileyen önemli faktörlerden biri de trombosit aktivasyonudur.

### Tablo

	ST yükseltmesiz grup n=271	ST yükseltmeli grup n=480	p
OTH	8,2±1	8,6±1	0,025
WBC(beyaz kürə sayısı)	103 9,2±7,2	11,3±3,6	0,0001
Platelet 103	230±64	224±70	0,32
Başvuru troponin I	11±5,5	30±21	0,0001

P-262

### Does mean platelet volume predict the type of myocardial infarction?

Zeydin Acar<sup>1</sup>, Özgür Kaplan<sup>2</sup>, Levent Korkmaz<sup>1</sup>, Mustafa Tarık Ağaç<sup>1</sup>, Hakan Erkan<sup>1</sup>, İhsan Dursun<sup>1</sup>, Şükür Çelik<sup>1</sup>

<sup>1</sup>Ahi Evren Cardiovascular Surgery Training and Research Hospital, Trabzon

<sup>2</sup>Department of Cardiology, Malatya State Hospital, Malatya

**Sol ventrikül fonksiyonları bozulmuş hastalarda koroner arter bypass cerrahisi sonuçlarımız**

Mustafa Zungur<sup>1</sup>, İhsan Sami Uyar<sup>2</sup>, Samet Uyar<sup>1</sup>, Ahmet Feyzi Abacılar<sup>2</sup>, Ahmet Taştan<sup>1</sup>, Serkan Kocakuşak<sup>1</sup>, Talat Tavlı<sup>1</sup>

<sup>1</sup>Şifa Üniversitesi Tip Fakültesi Hastanesi, Kardiyoloji Anabilim Dalı, İzmir

<sup>2</sup>Şifa Üniversitesi Tip Fakültesi Hastanesi, Kalp Damar Cerrahisi Anabilim Dalı, İzmir

**Amaç:** Bu çalışmanın amacı: ejeksiyon fraksiyon değerleri bozulmuş hastalara uygulanan koroner baypas ameliyatından sonraki fonksiyonel düzelmeyi belirlemek ve bu sonuca etki eden preoperatif faktörleri değerlendirmektir.

**Çalışma Planı:** Ocak 2007 ile Ocak 2010 tarihleri arasında Şifa Üniversitesi Hastanesinde ardışık olarak koroner arter bypass cerrahisi uygulanan 3500 hastanın verileri geriye dönük olarak değerlendirildi. Hastalar iki gruba ayrıldı. İlk defa ameliyat olan ve sadece koroner baypas uygulanan hastalar preoperatif ejeksiyon fraksiyon değerlerine göre grupperdi. Ejeksiyon fraksiyon değeri %20-%40 arasında olan 1190 hasta (%34) grub 1 olarak değerlendirildi (grup 1; n=1190; 695 erkek, 495 kadın; ortalama yaşı 62,85±5,72 yıl; dağılım 47-78 yıl). Aynı dönemde elektif şartlarda koroner arter bypass cerrahisi uygulanan ve ejeksiyon fraksiyon değerleri normal olan 2310 hasta (%66) kontrol grubunu (Grup II) oluşturdu (grup 2; n=2310; 1211 erkek, 1099 kadın; ortalama yaşı 61,43±8,12 yıl; dağılım 41-81 yıl). Ortalama izlem süresi 24 ± 9,4 (12-48) aydır.

**Bulgular:** Hastalarımızın tamamında işlem kardiyopulmoner baypas eşliğinde yapıldı ve 28-32 oC hipotermi kullanıldı. Her hastaya ortalama 3,01 adet greft baypas edildi. Hastane içi mortalite %0,6 (21 hasta) idi. 812 hastada koroner endarterektomi yapıldı (%23,2).. İki yıl hayatı katılım oranı (%85,1'e karşı %94,5) ve iki yıllık takipte sorun yaşamama oranı (%77,6 ya karşı %86,9) anlamlı olarak grup 1'de daha düşüktü. Koroner baypas ameliyatı sonrası preoperatif değerlerdeki iyileşme oranları grup 1'de daha anlamlı idi.

**Sonuç:** Sonuç olarak, ejeksiyon fraksiyon değerleri bozulmuş hastalarda koroner baypas ameliyatı düşük morbidite ve mortalite oranlarında yapılabilir. Preoperatif olarak dıstık ejeksiyon fraksiyonlu hastalarda PET ile canlı myokard dokusunun araştırılması veya dobutamin stress ekokardiografi testi ile hasta seçimi yapıltırısa cerrahının başarısı artacaktır. Ameliyatın elde edilen fayda, düşük ejeksiyon fraksiyonlu hastalarda, postoperatif ejeksiyon fraksiyonu değeri ve New York Kalp Cemiyeti sınıflamasına göre fonksiyonel kapasite açısından normal ejeksiyon fraksiyonlu hastalara göre daha büyüktür.

**Koroner arter hastalığı yaygınlığı ile plazma viskosite ve fibrinojen düzeyleri arasındaki ilişki**

Mustafa Yolcu<sup>1</sup>, Halil Bilgili<sup>2</sup>, Zekeriya Küçükurmaz<sup>3</sup>, Hekim Karapınar<sup>3</sup>, Barbaros Dokumacı<sup>4</sup>

<sup>1</sup>Erzurum Eğitim ve Araştırma Hastanesi, Erzurum

<sup>2</sup>Oltu Devlet Hastanesi, Erzurum

<sup>3</sup>Medicine Faculty of Cumhuriyet University, Sivas

<sup>4</sup>Eskişehir Sakarya Hastanesi, Eskişehir

**Our results of coronary artery bypass graft surgery in patients with left ventricular dysfunction**

Mustafa Zungur<sup>1</sup>, İhsan Sami Uyar<sup>2</sup>, Samet Uyar<sup>1</sup>, Ahmet Feyzi Abacılar<sup>2</sup>, Ahmet Taştan<sup>1</sup>, Serkan Kocakuşak<sup>1</sup>, Talat Tavlı<sup>1</sup>

<sup>1</sup>Department of Cardiology, Şifa University Faculty of Medicine Hospital, İzmir

<sup>2</sup>Department of Cardiovascular Surgery, Şifa University Faculty of Medicine Hospital, İzmir

P-265

**Periferik ve koroner arter hastlığının ciddiyetleri arasındaki ilişki**

Hakan Erkan<sup>1</sup>, Levent Korkmaz<sup>1</sup>, Bülent Vatan<sup>2</sup>, Mustafa Tarık AĞAÇ<sup>1</sup>, Zeydin Acar<sup>1</sup>, Abdulkadir Kırış<sup>1</sup>, Merve Erkan<sup>3</sup>, İlker Güll<sup>1</sup>, Ali Rıza Akyüz<sup>1</sup>, Şükür Çelik<sup>1</sup>

<sup>1</sup>Ahi Evren Kalp ve Damar Cerrahisi Eğitim Araştırma Hastanesi, Trabzon

<sup>2</sup>Sakarya Eğitim ve Araştırma Hastanesi, Kardiyoloji Bölümü, Sakarya

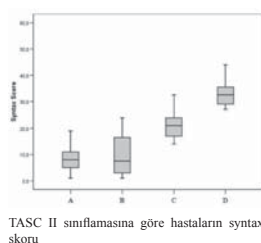
<sup>3</sup>Karadeniz Teknik Üniversitesi Tip Fakültesi, Kardiyoloji Anabilim Dalı, Trabzon

**Amaç:** Perifer arter hastlığı (PAH) sistemik aterosklerozun bir göstergesidir ve bu hastaların büyük çoğunliğinde aynı zamanda koroner arter hastlığı (KAH) bulunmaktadır. Noninvasive olarak değerlendirilen PAH ile KAH'in ciddiyeti arasındaki ilişkili gösterilmiştir. Fakat invasive (Trans-Atlantic Inter-Society Consensus II (TASC II) olarak değerlendirilen PAH ile KAH'in ciddiyetini değerlendiren ve geniş kabul görmüş Syntax Skoru (SxScore) arasındaki ilişkisi inceleyen herhangi bir çalışma bulunmamaktadır.

**Metod:** KAH şüphesiyle koroner anjiyografi yapılan 72 hasta çalışmaya alındı. Aynı seansda perifer arterlerde problem düşünülen hastalara aortografi yapıldı. 1,5mm ve üzeri damarlarda lümende %50 daralmaya yol açan lezyonlar değerlendirilmeye alındı. SxScore bilgisaya programı ile değerlendirildi.

**Bulgular:** Hastalar TASC II klasifikasyonuna göre dört gruba ayrıldı. TASC II A, B, C ve D gruplarında hasta sayıları sırasıyla 27, 16, 18 ve 11 idi. Yine aynı grupta SxScore sırasıyla  $10 \pm 9$ ,  $11 \pm 10$ ,  $24 \pm 13$  and  $27 \pm 12$ ,  $p < 0.001$ .

**Sonuç:** Ciddi perifer arter hastlığı olanlarda koroner arter hastlığı daha kompleks yapıda idi. Bu durum kompleks arter hastlığının sistemik panvaküler bir fenomen olabileceğini gösterebilir.



TASC II sınıflamasına göre hastaların syntax skoru

Table. Çalışma grubunun anjiyografik özellikleri

	n=72
tutulan koroner sayısı	
bir damar, n(%)	21 (29)
iki damar, n(%)	24 (33)
üç damar, n(%)	27 (38)
syntax skoru	
tip A	$10 \pm 9$
tip B	$11 \pm 10$
tip C	$24 \pm 13$
tip D	$27 \pm 12$
periferik arter hastlığı sınıflaması	
tip A, n(%)	27 (38)
tip B, n(%)	16 (22)
tip C, n(%)	18 (25)
tip D, n(%)	11 (15)

P-265

**Association between coronary and peripheral artery disease complexity**

Hakan Erkan<sup>1</sup>, Levent Korkmaz<sup>1</sup>, Bülent Vatan<sup>2</sup>, Mustafa Tarık AĞAÇ<sup>1</sup>, Zeydin Acar<sup>1</sup>, Abdulkadir Kırış<sup>1</sup>, Merve Erkan<sup>3</sup>, İlker Güll<sup>1</sup>, Ali Rıza Akyüz<sup>1</sup>, Şükür Çelik<sup>1</sup>

<sup>1</sup>Ahi Evren Cardiovascular Surgery, Training and Research Hospital, Trabzon

<sup>2</sup>Department of Cardiology, Sakarya Training and Research Hospital, Sakarya

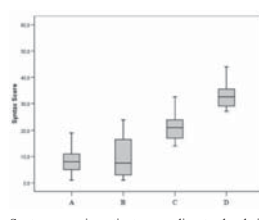
<sup>3</sup>Department of Cardiology, Karadeniz Teknik University Faculty of Medicine, Trabzon

**Objective:** Peripheral artery disease (PAD) is a marker of systemic atherosclerosis and most patients with PAD also have concomitant coronary artery disease (CAD). Association between degree of PAD severity determined by noninvasively and CAD severity has been demonstrated. But there is no data investigation the relation between PAD and CAD complexity assessed by well accepted classification system such as Syntax Score (SS) and Trans-Atlantic Inter-Society Consensus II (TASC II).

**Methods:** The study population consisted of 72 patients who underwent coronary angiography for the assessment of CAD. At the same session, aortography was performed in cases of suspected PAD. A coronary lesion was defined as significant if it caused a 50% reduction of the luminal diameter by visual estimation in vessels  $>1.5$  mm. Syntax score was computed by dedicated software.

**Results:** Patients with PAD were divided into four group according to the TASC II classification. Number of patients with A, B, C, and D by TASC II classification were 27, 16, 18 and 11, respectively. SS for each group from A to D were  $10 \pm 9$ ,  $11 \pm 10$ ,  $24 \pm 13$  and  $27 \pm 12$ , respectively;  $p$  for trend  $<0.001$ .

**Conclusion:** Coronary artery lesion complexity is increased in patients with severe PAD. It may suggest that arterial disease complexity is a systemic panvascular phenomane.



Syntax score in patients according to their TASC II classification

Table. Angiographic characteristics of study population

	n=72
number of diseased coronary vessels	
one vessel, n(%)	21 (29)
two vessels, n(%)	24 (33)
three vessels, n(%)	27 (38)
syntax score	
type A	$10 \pm 9$
type B	$11 \pm 10$
type C	$24 \pm 13$
type D	$27 \pm 12$
Classification of Peripheral Artery Disease	
type A, n(%)	27 (38)
type B, n(%)	16 (22)
type C, n(%)	18 (25)
type D, n(%)	11 (15)

P-266

**Primer perkütan tedavi uygulanan ön duvar myokard enfarktüslü hastalarda başvuru esnasındaki ortalama trombosit hacmi sol ventrikül fonksiyonları ile ilişkilidir**

Zeydin Acar, Mustafa Tarık AĞAÇ, Abdulkadir Kırış, Levent Korkmaz, Hakan Erkan, Emre Erkuş, Ali Rıza Akyüz, Şükür Çelik

Ahi Evren Kardiyovasküler ve Göğüs Cerrahisi Eğitim Ve Araştırma Hastanesi, Trabzon

P-266

**Mean platelet volume on admission is associated with further left ventricular functions in anterior ST elevated myocardial infarction (STEMI) patients, successfully treated with primary percutaneous coronary intervention**

Zeydin Acar, Mustafa Tarık AĞAÇ, Abdulkadir Kırış, Levent Korkmaz, Hakan Erkan, Emre Erkuş, Ali Rıza Akyüz, Şükür Çelik

Ahi Evren Cardiovascular And Thoracic Surgery Training And Research Hospital, Trabzon

**Aim:** In ST elevated myocardial infarction (STEMI) patients, mean platelet volume (MPV) is associated with infarct related artery patency both before and after reperfusion. In anterior STEMI patients successfully treated with primary percutaneous coronary intervention (PCI), the relationship between left ventricular (LV) function and MPV on admission is unknown.

**Method:** 97 anterior STEMI patients successfully revascularized with PCI between January 2010 and February 2011 are included. MPV on admission is recorded. All patients underwent transthoracic echocardiography within 3 days or before discharge. Patients were divided into two groups according to left ventricular ejection fraction (LVEF), as systolic dysfunction (LVEF  $<50\%$ , 1st group) and normal systolic functions (LVEF  $>50\%$ , 2nd group). The 1st group included 61 (47 males) patients and the 2nd group included 36 (35 males) patients.

**Results:** MPV was;  $9.5 \pm 1.1$  femtolitre (fL) in the 1st and  $8.8 \pm 0.8$  fL in the second group. The difference between the groups was significant ( $p = 0.001$ ). There was a significant difference in the Troponin I levels and white blood cell (WBC) counts on admission between two groups ( $30 \pm 29$  vs  $12.2 \pm 15.1$  ng/mL,  $p = 0.001$  and  $12.3 \pm 3.8$  vs  $10.6 \pm 3.4$  counts  $\times 10^9$  /L,  $p = 0.027$ , respectively).

**Conclusion:** In anterior STEMI patients treated with percutaneous coronary intervention, increased MPV on admission is associated with impairment in left ventricular systolic function.

Table 1.

	EF < 50 (n=61)	EF >= 50 (n=36)	P
EF (%)	$35.5 \pm 6.3$	$58 \pm 4.6$	$<0.001$
LVEDD (mm)	$49.7 \pm 5.4$	$47.1 \pm 4.1$	0.008
LVEDS (mm)	$34.7 \pm 5.8$	$31.4 \pm 4.4$	0.005
Left atrium (mm)	$39.2 \pm 4.8$	$35 \pm 3.1$	$<0.001$

EF: ejection fraction; LVEDD: left ventricular end-diastolic diameter; LVEDS: left ventricular end-systolic diameter.

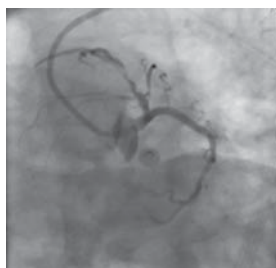
**Tip II Kounis sendromu: Akut miyokard infarktüsünün nadir bir nedeni**

Muhammed Karadeniz, İbrahim Etem Çelik, Ahmet Akyel, Serkan Çay, Hakan Öcek, Alpaslan Kurtul, Sani Namık Murat

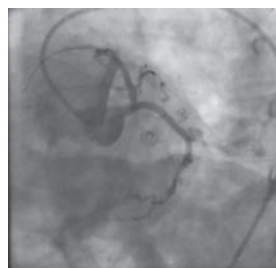
S.B. Etlik İhtisas Eğitim ve Araştırma Hastanesi, Kardiyoloji Kliniği, Ankara

Kounis sendromu akut koroner sendrom ile hipersensitivite reaksiyonunun birlikte olması durumudur. 3 tipi vardır. Tip 1 hastalar normal koroner arterlere sahiptir, tip 2 hastalarda alitta yatan koroner kalp hastalığı vardır, tip 3 stent trombozu ile birlikte olmasa durumudur. Allerjik reaksiyona neden olan histamin, kimaz ve triptaz gibi mediatorler angina pektoris ve akut miyokard infarktüsüne de neden olabilmektedir. Bu yazımızda miyokard infarktüsünün nadir bir sebebi olan tip 2 kounis sendromu olgusu sunuldu. Elli dokuz yaşında erkek hasta nokra sineği (bövelek) isırması sonrasında gelişen nefes darlığı, bulantı ve göğüs ağrısı şikayetyle acil servisimize başvurdu. Fizik muayenesinde kan basinci 110/70 mm Hg, Nabız: 95/dk saptandı. Hastaya allerjik reaksiyon tanısıyla steroid ve antihistaminik tedavi uygulandı. Tedavi sonrası nefes darlığı gerileyen fakat göğüs ağrısı devam eden hastanın çekilen EKG içinde anterior derivasyonlarında (V1-V6) ST segment elevasyonu saptandı. Akut anterior MI tanısına kateter laboratuvarına alınan hasta sol ön inen arter (LAD) mid bölge % 98 lezyonu saptandı (Resim 1). Kritik darlığı 3,5mmX16mm stent yerleştirildi. Tam aşıklık sağlandı (Resim 2). Klinik takibinde problemi olmaya hasta ASA 300 mg, klopidogrel 75 mg, metoprolol 50 mg, ramipril 5 mg, atorvastatin 80 mg ile 5. günde taburcu edildi.

Resim 1.



Resim 2.

**Gebelik esnasında ortaya çıkan Akut ST elevasyonlu miyokart infarktüsü**

Şule Büyükkaya<sup>1</sup>, Eyüp Büyükkaya<sup>2</sup>, Mehmet Fatih Karakaş<sup>2</sup>, Mustafa Kurt<sup>2</sup>, Ali Karakuş<sup>3</sup>, Adnan Burak Akçay<sup>2</sup>, Nihat Şen<sup>2</sup>

<sup>1</sup>Antalya Devlet Hastanesi, Kardiyoloji Bölümü, Hatay

<sup>2</sup>Mustafa Kemal Üniversitesi Tip Fakültesi Kardiyoloji Anabilim Dalı, Hatay

<sup>3</sup>Mustafa Kemal Üniversitesi Tip Fakültesi Acil Tip Anabilim Dalı, Hatay

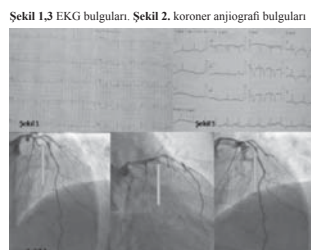
Gebelikte Akut Miyokart İnfarktüsü (AMI) sık rastlanan bir durum olmamakla birlikte anne ve fetüste mortalite ve morbitite sebebi olması nedeniyle önemlidir. Her 10.000 ile 30.000 gebede bir karşımıza çıkmaktadır. Anname %21, fetiste %13 oranında mortaliteye yol açmaktadır. Gebelik tek başına AMI için risk faktörü değildi. Ancak bu dönemdeki kan volumü, strok volum ve kalp hizi artışı miyokardial oksijen gereklisini artırır. Fizyolojik anemi ve diastolik kan basıncındaki düşüş bir duruma katkıda bulunmaktadır. Ayrıca gebedeki hiperoagülabl durum ve damar duvarındaki, progeseron artışı sekonder kimyasal ve histopatolojik değişikliklerde sebepler arasındadır. İleri yaş, multigravida, sigara kullanımı, hipertansiyon ve diabetus mellitus gibi faktörler gebelikte AMI görülme sıklığını artırdığı gösterilmiştir. Bizim olgumuzda multigravidası dışında risk faktörü yoktu. Nadir görülen bir olgu olması nedeniyle sunmak istedik.

**Oluş:** 31 yaşında daha öncesinde bilinen kardiyak hastalığı olmayan hastanın 35 haftalık gebeligi mevcut. Başka bir sağlık kuruluşuna baskı tarzında göğüs ağrısı ile başvurmuş. Çekilen EKG içinde V1-V6 da ST elevasyonu olması (Şekil 1), Troponin I 26.1 ng/ml olması üzerine asetil salisilik asit çiftliği enoxaparin yapıtlar急性 servisine sevk edilmiş. Acil servise geldiğinde ağrısı devam eden hasta koroner yoğun bakıma alındı. ST elevasyonu devam eden hastaya abdominal koruma altındaki koroner anjografi yapıldı. LAD diagonal sonrası orta segmentte %40 oranında daralmaya neden olan aterosklerotik plak saptandı (Şekil 2). Müdahale endikasyonu olmaması nedeniyle koroner yoğun bakıma alınıp asetilsalisilik asit, beta bloker, düşük molekul ağırlıklı heparin ile izleme alındı. Hastanın koroner arter hastalığı risk faktörü yoktu. Koroner anjografi sonrası çekilen EKG içinde V1-V6 da ST segmentinin izolektirk hatta olduğu, V1-V6, D1-aVL de T negatifliği olduğu görüldü (Şekil 3). Hastanın Ekokardiyografisinde apikal segment, mid ve apikal septunda hipokinezia saptandı. Ejeksiyon fraksiyonu %43 hesaplandı. Hasta yattığı beşinci günü komplikasyonsuz taburcu edildi. Gebeligin 37. haftasında sezeryan ile doğum gerçekleştirildi. Anne ve bebeğin poliklinik takipleri devam etmektedir.

**An unusual insult of Kounis syndrome; warble fly**

Muhammed Karadeniz, İbrahim Etem Çelik, Ahmet Akyel, Serkan Çay, Hakan Öcek, Alpaslan Kurtul, Sani Namık Murat

Department of Cardiology, S.B. Etlik İhtisas Training and Research Hospital, Ankara



**İnferior miyokard infarktüsünün olağan dışı nedeni; sol ön inen arter trombozu: İki vaka sunumu**

VeySEL ÖZGÜR BARIS, Mehmet Çopur, Fatih Öksüz, Ahmet Akyel, Alparslan Kurtul, Sani Namık Murat, Tayyar Cankurt

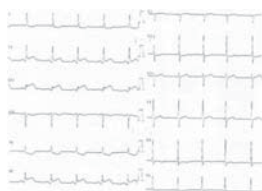
Ankara Eğitim ve Araştırma Hastanesi, Kardiyoloji Kliniği, Ankara

İnferior Miyokard İnfarktüsünün en sık nedeni sağ koroner arter veya sol sirkumfleks arter oklüzyonudur. Bu yazda biri subakut, diğeri akut inferior miyokard infarktüsi ile gelen iki vaka sunulmuştur. Hastalarda sağ ve sol sirkumfleks koroner arterlerde non kritik lezyonlar izlenmiş olup sorumlulu lezyon olarak sol ön inen arter trombozu saptanmıştır. Literatürde inferior miyokard infarktüsü ile başvuran hastalarda akut sol ön inen arter trombozu vakalarının nadir olduğu bilinmemektedir.

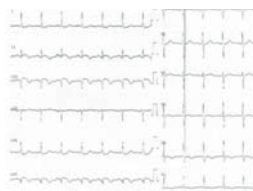
**Ölgu 1:** Seksen iki yaşında kadın hasta bir gün önce başlayan epigastrik ağrı nedeniyle klinikimize başvurdu. Fizik muayenede apekste 3/6 pansiistolik tıftırılmışında patolojik bulguya rastlanıldı. EKG'sinde subakut inferior miyokard infarktüsü (Şekil 1a -1b) saptanan hasta acil koroner angiografiye alındı. Hastanın yapılan koroner angiografisinde (Şekil 1c 1d) Sağ koroner dominant duvarları kalsifik posterior desendant arter: %40 plak mevcut sirkumfleks:nondominant %70 stenoz mevcut Sol ön inen arter: orta kesimde: %70 multiple lezyonlar apexi dönen bölgesinde ise %98 akut tromboze lezyon mevcut idi. Sol ön inen arterin distalinin ince olması nedeniyle primer PTCA yapılmayıp medikal tedavi ile takip edildi. Takip eden süreçte hastaya koroner bypass operasyonu önerildi.

**Ölgu 2:** Kırk sekiz yaşında erkek hasta, tipik sıkıştırıcı tarzda anjinal göğüs ağrısı nedeniyle acil servise başvuran hastanın EKG'sinde akut inferior miyokard infarktüsü (Şekil 2a) saptandı. Fizik muayenesinde patolojik bulgu yoktu. Hasta primer PCI amaçlı koroner angiografi laboratuvarına alındı. Koroner angiografide (Şekil 2b, 2c) sağ koroner arter: plaklı, sirkumfleks arter: plaklı, sol ön inen arter orta kesimde: %95 tromboze lezyona stent implante edildi. İzlemelerinde ek şikayet ve komplikasyonu gelişmeyecek hasta medikal tedavisi düzenlenerek taburcu edildi.

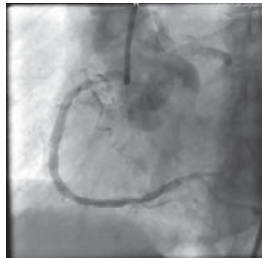
**Tartışma ve Sonuç:** Inferior miyokard infarktüsünün sağ koroner arter veya sol sirkumfleks arterin oklüzyonuna bağlı olduğu bilinmektedir. Ancak sunduğumuz olgularda sol ön inen koroner arterin kalbin apekşini dönerek inferior duvari beslediği durumlarda sol ön inen arter oklüzyonuna bağlı olarak inferior miyokard infarktüsü gelişebileceğini görmüştük.



Şekil 1b. Hastanın ilk başvuru EKG'si



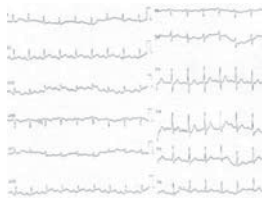
Şekil 1b. Hastanın başvuru EKG'sinde gözlemlenen subakut inferior miyokard infarktüsü



Şekil 1c. Koroner Angiografi sağ koroner arter



Şekil 1d. Koroner Angiografi sol koroner arter



Şekil 2a. Hastanın ilk başvuru EKG'si



Şekil 2b. Koroner Angiografi sağ koroner arter



Şekil 2c. Koroner Angiografi sol koroner arter

**Unusual cause of inferior myocardial infarction: left anterior descending artery thrombosis: two case reports**

VeySEL ÖZGÜR BARIS, Mehmet Çopur, Fatih Öksüz, Ahmet Akyel, Alparslan Kurtul, Sani Namık Murat, Tayyar Cankurt

Department of Cardiology, Ankara Training and Research Hospital, Ankara

P-270

**Koroner yavaş akımda leptin düzeyleri**

Mücahid Yılmaz<sup>1</sup>, Mustafa Ferzeyn Yavuzkırı<sup>2</sup>, Necati Dağlı<sup>2</sup>, Hasan Korkmaz<sup>1</sup>, Ertuğrul Kurtoglu<sup>1</sup>, Mehmet Nail Bilen<sup>2</sup>, Mehmet Akbulut<sup>2</sup>

<sup>1</sup>Elaçığ Eğitim ve Araştırma Hastanesi, Kardiyoloji Kliniği, Elaçığ

<sup>2</sup>Fırat Üniversitesi Tıp Fakültesi, Kardiyoloji Anabilim Dalı, Elaçığ

P-270

**Leptin levels in slow coronary flow**

Mücahid Yılmaz<sup>1</sup>, Mustafa Ferzeyn Yavuzkırı<sup>2</sup>, Necati Dağlı<sup>2</sup>, Hasan Korkmaz<sup>1</sup>, Ertuğrul Kurtoglu<sup>1</sup>, Mehmet Nail Bilen<sup>2</sup>, Mehmet Akbulut<sup>2</sup>

<sup>1</sup>Elaçığ Education and Research Hospital, Department of Cardiology, Elaçığ

<sup>2</sup>Fırat University Faculty of Medicine, Department of Cardiology, Elaçığ

**Objective:** It has been accepted that slow coronary flow (SCF) is a variant of coronary artery disease (CAD). It is not known that leptin plays an important role in the etiopathogenesis of CAD. We aimed to evaluate whether there was a significant difference in serum leptin levels between patients with normal coronary flow and those with SCF.

**Method:** The study population consisted of a total of 80 subjects, 40 patients with SCF and 40 healthy subjects with normal coronary arteries (NCA). Serum leptin levels were determined by a radioimmunoassay technique.

**Results:** Age, Gender, hypertension, diabetes mellitus (DM), body mass index (BMI), systolic blood pressure, and levels of total cholesterol, creatinine, C-reactive protein and other biochemical parameters were not different between SCF group and NCA group, as were serum leptin levels ( $32.6 \pm 40.9$  ng/ml versus  $44.2 \pm 43.8$  ng/ml,  $p > 0.05$ ). When SCF and NCA groups were divided into two groups according to the presence or absence of DM, leptin levels were again did not differ between those with DM in SCF and those with DM in NCA, as were between those without DM in SCF group and those without DM in NCA group ( $p > 0.05$ ). It was found that leptin levels correlated with BMI, height and levels of serum CRP, LDL-cholesterol, triglyceride, white blood cell and platelet counts ( $p < 0.05$ ).

**Conclusion:** We did not find any statistically significant differences in leptin levels between SCF and NCA groups. Correlation of leptin levels with LDL-C, triglyceride, CRP and BMI may suggest that leptin may play an important role in the atherosclerotic process.

P-271

**Artmış ortalama trombosit hacmi koroner yavaş akımın ciddiyeti ile ilişkilidir**

Turgay Isık<sup>1</sup>, Erkan Ayhan<sup>1</sup>, Hüseyin Uyarel<sup>2</sup>, Mehmet Ergelen<sup>2</sup>, İbrahim Halil Tanboğa<sup>3</sup>, Mustafa Kurt<sup>3</sup>, Ali Fuat Korkmaz<sup>3</sup>, Ahmet Kaya<sup>3</sup>, Enbiya Aksakal<sup>4</sup>, Serdar Sevimli<sup>4</sup>

<sup>1</sup>Balıkesir Üniversitesi Tıp Fakültesi Kardiyoloji Anabilim Dalı, Balıkesir

<sup>2</sup>Bezmialem Vakıf Üniversitesi Tıp Fakültesi Kardiyoloji Anabilim Dalı, İstanbul

<sup>3</sup>Erzurum Eğitim ve Araştırma Hastanesi, Kardiyoloji Anabilim Dalı, Erzurum

<sup>4</sup>Atatürk Üniversitesi Tıp Fakültesi, Kardiyoloji Anabilim Dalı, Erzurum

P-271

**Increased mean platelet volume associated with extent of slow coronary flow**

Turgay Isık<sup>1</sup>, Erkan Ayhan<sup>1</sup>, Hüseyin Uyarel<sup>2</sup>, Mehmet Ergelen<sup>2</sup>, İbrahim Halil Tanboğa<sup>3</sup>, Mustafa Kurt<sup>3</sup>, Ali Fuat Korkmaz<sup>3</sup>, Ahmet Kaya<sup>3</sup>, Enbiya Aksakal<sup>4</sup>, Serdar Sevimli<sup>4</sup>

<sup>1</sup>Department of Cardiology, Balıkesir University, School of Medicine, Balıkesir

<sup>2</sup>Department of Cardiology, Bezmialem Vakıf University, School of Medicine, İstanbul

<sup>3</sup>Department of Cardiology, Erzurum Education and Research Hospital, Erzurum

<sup>4</sup>Department of Cardiology, Atatürk University, School of Medicine, Erzurum

**Background:** Slow coronary flow (SCF) is characterized by delayed opacification of epicardial coronary vessels. SCF can cause ischemia and sudden cardiac death. We investigated the association between presence and extent of SCF, and cardiovascular risk factors and hematologic indices.

**Methods:** In this study, 2467 patients who received coronary angiography for suspected or known ischemic heart disease were retrospectively evaluated between April 2009 and November 2010. Following the application of exclusion criteria, our study population consisted of 57 SCF patients (experimental group) and 90 patients with age- and gender-matched subjects who proved to have normal coronary angiograms (control group). Baseline hematologic indices were measured by the automated complete blood count (CBC) analysis. The groups were evaluated for cardiovascular risk factors and medications. Patients were categorized based on the angiographic findings of vessels with or without SCF. Moreover, patients with SCF were divided into subgroups relative to the extent of SCF.

**Results:** Among the 147 patients (mean age  $52.7 \pm 10.0$ , 53.7% male), mean platelet volume (MPV) ranged from  $6.5\%$  fl to  $11.7\%$  fl (median  $7.9\%$  fl, mean  $8.1\%$  fl  $\pm 0.8\%$  fl). Diabetes (OR=3.64, 95% CI 1.15-10.43,  $p=0.03$ ), hypercholesterolemia (OR=4.94, 95% CI 1.99-12.21,  $p=0.001$ ), smoking (OR=3.54, 95% CI 1.43-8.72,  $p=0.006$ ), hemoglobin (OR=1.69, 95% CI 1.22-2.36,  $p=0.002$ ), and MPV (OR=2.52, 95% CI 1.43-4.44,  $p=0.001$ ) were found to be the independent correlates of SCF presence. Only MPV (OR=2.13, 95% CI 1.05-4.33,  $p=0.03$ ) was identified as an independent correlate of extent of SCF.

**Conclusion:** Elevated baseline MPV value was found to be an independent predictor of the presence and extent of SCF.

**P-272**

**Farklı sezonlarda ST yükselmeli miyokard enfarktüsü nedeniyle primer perkutanöz koroner girişim yapılan hastalarda hastane içi ve uzun dönemde mortalite farkı yoktur**

Turgay Isik<sup>1</sup>, Erkan Ayhan<sup>1</sup>, Huseyin Uyarel<sup>2</sup>, Mahmut Uluganyan<sup>3</sup>, Mehmet Gul<sup>3</sup>, Mehmet Ergelen<sup>2</sup>, Zeki Yuksel Gunaydin<sup>3</sup>, Gunduz Durmus<sup>3</sup>, Nurten Sayar<sup>3</sup>, Nevzat Uslu<sup>3</sup>

<sup>1</sup>Balıkesir Üniversitesi Tip Fakültesi, Kardiyoloji Anabilim Dalı, Balıkesir

<sup>2</sup>Bezm-i Alem Vakıf Gureba Eğitim ve Araştırma Hastanesi, Kardiyoloji Kliniği, İstanbul

<sup>3</sup>Dr. Siyami Ersek Göğüs, Kalp ve Damar Cerrahisi Eğitim ve Araştırma Hastanesi, Kardiyoloji Kliniği, İstanbul

**Amaç:** Daha önceki çalışmalarında ST yükselmeli miyokard enfarktüsü (STEME) sıklığının kişisizinde artışı gösterilmiş olmasına rağmen farklı sezonlarda başvuran STEME hastalarının прогнозlarının nasıl seyrettiği konusunu yeterince araştırılmıştır. Biz bu çalışmada STEME türünü ile primer perkutanöz koroner girişim (PKG) yapılan hastalarda sezonsal farklılığın mortalite üzerinde olan etkisini araştırdık.

**Çalışma Planı:** Çalışmaya 2003 ile 2008 yılları arasında STEME tanısı ile primer PKG yapılan ardışık 2644 (ortalama yaşı  $56.7 \pm 11.9$  yıl, 82.8% erkek) hasta dahil edildi. Tüm klinik, anjografik, ve takip bilgileri geriye dönük olarak elde edildi. Hastaların STEMI nedeniyle başvuru tarihleri medikal kayıt sisteminden elde edildi.

**Bulgular:** Hastalar başvuru sezonuna göre grupperaya ayrıldı. Grup 1 (Sonbahar) 570 (21.6%) hasta, Grup 2 (Kış) 807 (30.5%) hasta, Grup 3 (İlkbahar) 734 (27.8%) hasta ve Grup 4 (Yaz) 533 (20.2%) hasta içeriıyordu. Yaş, cinsiyet ve pek çok kardiyovasküler ve anjografik özellikler gruplarda benzerdi. Uzun dönemde takipte re-enfarktüs sıklığı gruplar arasında benzer olsada, hastane içi re-enfarktüs sıklığı grup 2'de grup 4'e göre anlamlı olarak fazla idi (%63.2 vs %60.8, p: 0.009). Gruplar arasında hastane içi ve uzun dönemde mortalite farkı olmadığı gösterildi.

**Sonuç:** Bu çalışmada farklı sezonlarda STEME nedeniyle primer PKG yapılan hastalarda hastane içi ve uzun dönemde mortalite farkı olmadığı gösterildi.

**P-272**

**Absense of seasonal variation in hospital and long term mortality in patients underwent primary percutaneous intervention with ST elevation myocardial infarction**

Turgay Isik<sup>1</sup>, Erkan Ayhan<sup>1</sup>, Huseyin Uyarel<sup>2</sup>, Mahmut Uluganyan<sup>3</sup>, Mehmet Gul<sup>3</sup>, Mehmet Ergelen<sup>2</sup>, Zeki Yuksel Gunaydin<sup>3</sup>, Gunduz Durmus<sup>3</sup>, Nurten Sayar<sup>3</sup>, Nevzat Uslu<sup>3</sup>

<sup>1</sup>Department of Cardiology, Balıkesir University Faculty of Medicine, Balıkesir

<sup>2</sup>Department of Cardiology, Bezm-i Alem Vakıf Gureba Training and Research Hospital, İstanbul

<sup>3</sup>Department of Cardiology, Dr. Siyami Ersek Thoracic and Cardiovascular Surgery Training and Research Hospital, İstanbul

**Objectives:** However, previous studies demonstrated that ST segment elevation myocardial infarction (STEMI) increases in winter season, the prognosis of the patients that present at different seasons has not been investigated yet. In this study we investigated the seasonal variation in mortality patients who underwent primary percutaneous intervention (PCI) for STEMI.

**Study Design:** We reviewed 2644 consecutive patients (mean age  $56.7 \pm 11.9$  years, 82.8% males) treated with primary PCI for STEMI between 2003 and 2008. All clinical, angiographic, and follow-up data were retrospectively collected. The date of STEMI was obtained from medical record.

**Results:** Patients were divided into groups depending on the season to the applicant. Group I (Autumn) had 570 (21.6%) patients, Group II (Winter) had 807 (30.5%) patients, Group III (Spring) had 734 (27.8%) patients and Group IV (Summer) had 533 (20.2%) patients. Age, sex and most of cardiovascular risk factors and angiographic features were comparable in both groups. However reinfarction incidence similary for long term, in hospital reinfarction incidence was significantly higher in group II more than group IV (%63.2 vs %60.8, p: 0.009). There was no differences between groups for in hospital and long term mortality, target vessel revascularization, major adverse cardiac events and advanced heart failure.

**Conclusion:** This study showed that there was no seasonal variation in hospital and long-term mortality after primary PCI for STEMI.

**P-273**

### Geç postpartum dönemde spontan koroner arter diseksiyonu

Adnan Doğan, Hakan Aksoy

*Osmaniye Devlet Hastanesi, Kardiyoloji Bölümü, Osmaniye*

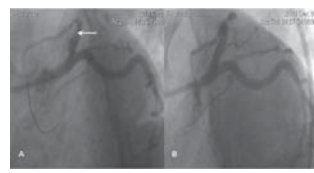
Spontan koroner arter diseksiyonu miyokardiyal enfarktüsün nadir görülen bir nedenidir. Sıklıklık kadınlarda ve peripartum veya postpartum dönemde görülür. Altta yatan etiyolojik faktörler tam olarak bilinmemektedir. Vakaların %80'inde sol ana koroner ve sol ön inen arter tutulur. Genel mortalite %50 den fazladır. Akut faz sonrası hayatı kalanların sağ kalım oranı %85 dir. Miyokard enfarktüsinin diğer nedenlerinin tersine spontan diseksiyon normal koroner arter zemininde gelir. Klasik koroner arter hastalığı risk faktörleri ile ilişkili değildir. Etiyoloji tam olarak bilinmemektedir. Gebelik ve lohalusalıktaki sık görülmüşen sebebi hormonal değişiklikler ve hemodinamik stres olabilir. Hastalığın tedavisinde genellikle birebir yokuş. Diseksiyonun yayılması ve intraluminal hematom gelişimine yol açabileceğinden trombolytic tedavi inspekte kontrendikedir.

**Vaka:** 27 yaşında kadın hasta göğüs ağrısı şikayetini ile diskeşere başvurmuş. Çekilen elektrokardiografisinde akut anterior MI saptanması üzerine hastaya koroner anjyografı yapılmış. Sol anterior inen arter (LAD) total tıkanı (figür 1) ve yoğun trombus yükü nedeniyle hastaya koroner by-pass cerrahisi önerilmiştir. Ancak hasta reddedmiştir. Antitregren ve antikoagulan tedavi verilmiştir. Takiplerinde göğüs ağrısı giderilmesi ve kardiyak enzimleri düşmüştür. Hastada kendi isteği ile klinikimize başvurdu. Geldiğinde kan basincı 135/87, nabız sayısı 82/dk idi. Hastanın sigara, diyetbet, hipertansiyon, dislipidemi ve aile öyküsü gibi koroner arter hastalığının klasik risk faktörleri yoktu. Hastada marfan sendromu ve travma öyküsü yoktu. İki gebelik ve iki canlı doğum öyküsü vardı. İlkinci doğumunu 4 ay önce yapmıştır. İlac kullanım öyküsü (oral kontraseptif, vs.) yoktu. Genel fizik muayenesi normal idi. Elektrokardiografide geçirilimi anterior MI bulguları mevcuttu. Yapılan ekokardiyografi de septum ve apex hipokinetik, sol ventrikül ejeksiyon fraksiyonu %45 ve 1. derece mitral yetmezlik saptandı. Hastada koroner anjyografı laboratuvarına alındı. Yapılan koroner anjyografisinde LAD de diseksiyon flebi izlendi (figür 2A) ve distal akım mevcuttu. Sirkümferiks (CX) ve sağ koroner arter (RCA) normal idi. Koroner arterlerde aterosklerotik değişiklikler izlenmemdi. Diseksiyon alanına basılır stent implantasyonu yapıldı (figür 2B). Hastaya ikili anti aggregan (ASA, clopidogrel), ACE inhibitörü, beta bloker başlandı. Altı ay sonrası kontrolünde kardiyak şikayet yoktu. Yapılan ekokardiyografi de tüm segmentler normal ve sol ventrikül ejeksiyon fraksiyonu %60 olarak ölçüldü.

**Sonuç:** Spontan koroner arter diseksiyonu nadir ancak risk faktörleri olmayan, genç, sağlıklı kadınlarda özellikle peri/postpartum dönemde iskemi ve enfarktin önemli bir sebebidir. Spontan koroner arter diseksiyonu düşünülen不稳定 hastalara acil koroner anjyografı yapılmalıdır ve stent implantasyonu veya koroner by-pass cerrahisi açısından değerlendirilmelidir.



**Figür 1.** Akut anterior MI sonrası yapılan koroner anjyografide LAD total tıkanı ve yoğun trombus mevcut.



**Figür 2.** Medikal tedavi sonrası yapılan kontrol anjyografide LAD proksimalinde diseksiyon flebi(A) izlendi ve stentimplante edildi(B).

**P-273**

### Spontaneous coronary artery dissection in the late postpartum period

Adnan Doğan, Hakan Aksoy

*Department of Cardiology, Osmaniye State Hospital, Osmaniye*

P-274

### Stabil angina pektorisli hastalarda gensini skoru, adiponektin ve glukoz arasındaki ilişki

Ferhat Özürtülü<sup>1</sup>, Özgül Yıldız<sup>2</sup>, Erkan Ayhan<sup>3</sup>, Turgay İşik<sup>3</sup>, Halit Acet<sup>1</sup>, Zihni Bilik<sup>1</sup>, Ugur Kemal Tezcan<sup>2</sup>

<sup>1</sup>Diyarbakır Devlet Hastanesi, Kardiyoloji Bölümü, Diyarbakır

<sup>2</sup>Celal Bayar Üniversitesi Tip Fakültesi, Kardiyoloji Anabilim Dalı, Manisa

<sup>3</sup>Balıkesir Üniversitesi Tip Fakültesi, Kardiyoloji Anabilim Dalı, Balıkesir

**Amaç:** Adiponektin, insülin duyarlığını düzenleyen ve adipositden sekrete edilen bir proteinidir ve dolaşmadaki seviyesinin azalması insülin direnci ile ilişkilidir. Biz, stabil angina pektorisli hastalarda serum adiponektin ve kan glukoz seviyeleri ile koroner arter hastalığı şiddeti arasındaki ilişkiye değerlendirmeyi amaçladık.

**Çalışma Planı:** Bu çalışmaya stabil angina pektorisli 160 hasta (82 erkek) dahil edildi. Hastalar başvuru esnasındaki kan glukoz seviyelerine göre 3 gruba ayrıldı; 24 hasta normal kan glukoz grubu, 53 hasta bozulmuş glukoz tolerans grubu ve 53 hasta diabetes mellitus (DM) grubu. Koroner lezyonların şiddeti Gensini skoru kullanarak değerlendirildi. Tüm gruplarda serum adiponektin seviyeleri de ölçüldü.

**Bulgular:** Hipertansiyon, hiperlipidemi, obesite, erkek cinsiyet ve insülin direnci DM grupta anlamlı olarak daha yükseldi. DM'li hastalarda serum adiponektin seviyeleri anlamlı olarak daha düşük saptandı ( $13.55 \pm 7.16$ ,  $p=0.002$ ). Ortalama Gensini skoru DM grupta  $37.25 \pm 40.84$  olarak saptandı ( $p=0.006$ ).

**Sonuç:** Stabil angina pektorisli olan hastalarda serum adiponektin düzeyleri koroner arter hastalığı yaygınlığı için bir ipucu olabilir.

P-274

### A relationship between glucose, adiponectin and gensini score in the patients with stable angina pectoris

Ferhat Özürtülü<sup>1</sup>, Özgül Yıldız<sup>2</sup>, Erkan Ayhan<sup>3</sup>, Turgay İşik<sup>3</sup>, Halit Acet<sup>1</sup>, Zihni Bilik<sup>1</sup>, Ugur Kemal Tezcan<sup>2</sup>

<sup>1</sup>Department of Cardiology, Diyarbakır State Hospital, Diyarbakır

<sup>2</sup>Department of Cardiology, Celal Bayar University Faculty of Medicine, Manisa

<sup>3</sup>Department of Cardiology, Balıkesir University Faculty of Medicine, Balıkesir

P-275

### Inferior miyokard enfaktüsü ile gelen hastada sirkumfleks ve sağ koroner arterde spontan diseksiyon

Hilal Olgun Küçük<sup>1</sup>, Çağrı Yayla<sup>1</sup>, Uğur Küçük<sup>2</sup>, Kadriye Gayretli<sup>3</sup>, Yusuf Tavil<sup>1</sup>, Bülent Boyacı<sup>1</sup>

<sup>1</sup>Gazi Üniversitesi Tip Fakültesi, Kardiyoloji Anabilim Dalı, Ankara

<sup>2</sup>GATA Ankara Kardiyoloji Anabilim Dalı, Ankara

<sup>3</sup>Ankara Eğitim ve Araştırma Hastanesi, Kardiyoloji Kliniği, Ankara

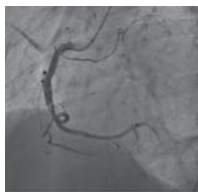
44 yaşında erkek hasta ağrısının 1. saatinden akut inferoposterior MI tanısı ile koroner yoğun bakım ünitesine kabul edildi. Bilinen ek komorbiditesi yoktu. Risk faktörü olarak halen devam eden 10 paket/yıl sigara içim öyküsü mevcuttu. Yapılan fizik muayenesi doğal smirlardaydı. Hastaya iv heparin eşiğinden iv tPA infüzyonu başlandı. İnfüzyonun 30. dakikasında göğüs ağrısı geçti; EKG'de tam ST rezolusyonu sağlanmış, ertesi gün kateterizasyon laboratuvarına alınan hastanın yapılan koroner anjografisinde hem sağ koroner arterde hem sirkumfleks arterde spontan arter diseksiyonu ve sağ koronerde trombus izlendi (Şekil 1-3). Ciddi aterosklerotik lezyon saptanmadı. Perkütan girişim teknik olarak uygun olmadığı için hastaya tirofiban, ASA, klopidogrel ve beta blokör tedavi başlandı. Ömrü boyu ikili antiplatelet tedavi önerisiyle taburcu edildi. Spontan koroner arter diseksiyonu (SKAD) akut koroner sendromlarının nadir bir nedennidir. Genellikle 30-45 yaş arasında diğer yönlerden sağlıklı bireylere görülür. Kadınlarda sıklığı daha fazladır ve doğum, oral kontraseptif kullanımı gibi risk faktörleri ile ilişkilendirilmiştir. Eşlik eden diğer klinik durumlar bağı dokuslu hastalıkları, kıntı göğüs travması, SLE, vaskülit ve zorlu egzersizdir. Diseksiyon çoğunlukla tek damarda izlenir; erkeklerde LAD kadınlarda RCA tutulumu daha sıktr.



Figür 1. Sirkumfleks arterde spontan diseksiyon LOA projeksiyon



Figür 2. Sirkumfleks arterde spontan diseksiyon sol lateral projeksiyon



Figür 3. Sağ koroner arterde spontan diseksiyon ve trombus sağ sağ kranial projeksiyon

P-275

### Spontaneous dissection of both right and circumflex coronary arteries in a patient presenting with inferior myocardial infarction

Hilal Olgun Küçük<sup>1</sup>, Çağrı Yayla<sup>1</sup>, Uğur Küçük<sup>2</sup>, Kadriye Gayretli<sup>3</sup>, Yusuf Tavil<sup>1</sup>, Bülent Boyacı<sup>1</sup>

<sup>1</sup>Department of Cardiology, Gazi University Faculty of Medicine, Ankara

<sup>2</sup>Department of Cardiology, GATA, Ankara

<sup>3</sup>Department of Cardiology, Ankara Training and Research Hospital, Ankara

P-276

**Mezar taşı görünümülü ST elevasyonu; her zaman koroner tıkanıklık mıdır?**

Ahmet Göktaş Ertem<sup>1</sup>, Mehmet Doğan<sup>2</sup>, Bahtiyar Aralov<sup>2</sup>, Ekrem Yeter<sup>2</sup>

<sup>1</sup>Sincan F Tipi Cezaevi Devlet Hastanesi, Kardiyoloji Kliniği, Ankara

<sup>2</sup>Dışkapı Yıldırım Beyazıt Eğitim ve Araştırma Hastanesi, Kardiyoloji Kliniği, Ankara

P-276

**Grave like st elevation: always coronary occlusion?**

Ahmet Göktaş Ertem<sup>1</sup>, Mehmet Doğan<sup>2</sup>, Bahtiyar Aralov<sup>2</sup>, Ekrem Yeter<sup>2</sup>

<sup>1</sup>Sincan F Type Prison State Hospital, Cardiology Department, Ankara

<sup>2</sup>Dışkapı Yıldırım Beyazıt Education and Research Hospital, Department of Cardiology, Ankara

It is a well known fact that an electrical shock may cause death or any degree of damage to various organs and systems according to the type, voltage and intensity of the electrical current and to the location of the damage. The presented cardiovascular effects of an electrical shock include acute myocardial necrosis, myocardial ischemia without necrosis, heart failure, arrhythmias, haemorrhagic pericarditis, acute hypertension with peripheral vasoconstriction and anomalous non specific ECG changes.

**Case Report:** A 32-year-old man was admitted to emergency department with loss of consciousness after electrical shock contact. Incident was happened while he tried to fix electric installation. Before emergency room administration, paramedical staff resuscitated him for thirty minutes. His body surface had burn scar on anterior side of legs, on chest region. His blood pressure was 80/50 mmHg, pulse rate was 100/bpm. His electrocardiography (ECG) revealed ST segment elevation in V1-6 and D1-aVL (Figure 1). CK, CK-MB and troponin levels was highly elevated [ 8000 U/L (25-200 U/L), 610 U/L (0-25 U/L), >40 ng/mL (<=0.06 ng/mL)]. Echocardiography showed nearly depressed left ventricular function and hypokinesia of left ventricular apical segment (Figure 2A-B). After fixation of patient, he transferred to catheter laboratory. Coronary angiography revealed no coronary occlusion. After management of treatment, he was transferred to intensive care unit for fluid and electrolyte abnormality.

**Discussion:** Although there are no more data for management of acute coronary syndrome due to electrical shock or lightning, coronary angiography may help us for route of treatment and aetiology of underlying mechanisms. Cardiac enzymes, especially troponin and echocardiography give us some information for diagnosis.



Figure 1. Electrocardiography showed ST segment elevation in V1-6 and D1-aVL

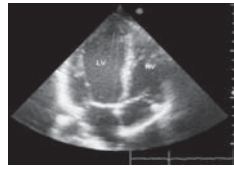


Figure 2A. Apical four chamber diastolic view

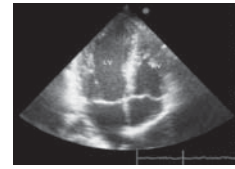


Figure 2B. Apical four chamber systolic view

P-277

**Akut koroner sendrom tanısı ile hastaneye yatırılan sakküler aort anevrizma olgusu**

Aytekin Güven<sup>1</sup>, Talantbek Batyralliev<sup>2</sup>, Yuri Pya<sup>2</sup>

<sup>1</sup>Baskent Üniversitesi Tıp Fakültesi, Kardiyoloji Anabilim Dalı, Ankara

<sup>2</sup>Sani Konukoglu Tıp Merkezi, Kardiyoloji Kliniği, Gaziantep

P-277

**A case of saccular aortic aneurysm hospitalized as acute coronary syndrome**

Aytekin Güven<sup>1</sup>, Talantbek Batyralliev<sup>2</sup>, Yuri Pya<sup>2</sup>

<sup>1</sup>Baskent University School of Medicine, Department of Cardiology, Ankara

<sup>2</sup>Sani Konukoglu Medical Center, Department of Cardiology, Gaziantep

Saccular type thoracic aortic aneurysm is a rarely seen phenomenon. Here, we present a case of saccular type aortic aneurysm admitted to coronary care unit with a diagnosis of acute coronary syndrome. A 63 year old female presented to our clinic with chest pain lasting for 2-3 hours. Because her chest pain persisted despite intensive medical treatment, she underwent coronary angiography. Coronary arteries appeared normal but a saccular type aneurysm of ascending aorta was detected on aortography. The patient underwent urgent surgery. The aneurysmal segment was resected and tube graft inserted. The patient was discharged without any postoperative complication.

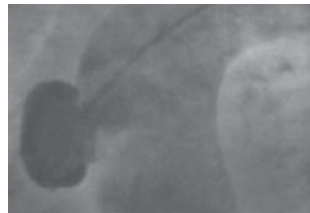


Figure 1. Aortography in right anterior oblique projection showing a saccular type aneurysm of the ascending aorta

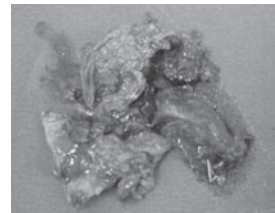


Figure 2. Aneurysmal segment of the ascending aorta resected surgically

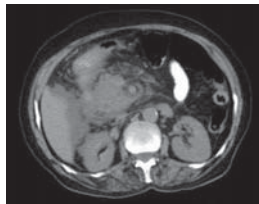
**Akut pankreatit ile birlikteki gösteren akut koroner sendrom**

Okay Abacı, Veysel Oktay, Cüneyt Koçtaş, Onur Baydar, Ahmet Yıldız, Zerrin Yiğit  
İstanbul Üniversitesi Tip Fakültesi, Kardiyoloji Anabilim Dalı, İstanbul

**Acute coronary syndrome concomitant with acute pancreatitis**

Okay Abacı, Veysel Oktay, Cüneyt Koçtaş, Onur Baydar, Ahmet Yıldız, Zerrin Yiğit  
Istanbul University Institute of Cardiology, Department of Cardiology, Istanbul

Acute pancreatitis (AP) is an inflammatory syndrome with unpredictable progression to systemic inflammation and multi-organ dysfunction. As in our case rarely, acute pancreatitis can be presented with the coexistence of acute coronary syndrome. To prevent a misdiagnosis of acute situation presented with chest or abdominal pain, physicians must be aware of coexisting pathophysiologies and take into account the differential diagnosis of all life-threatening causes such as cardiac ischemia or acute abdominal situations. A 51-year-old man with a medical history of gall-stone presented severe epigastric pain and retrosternal chest pain associated with nausea and vomiting. On admission he was afibrile with blood pressure of 115/88 mmHg and respiratory rate of 13/min. Oxygen saturation was 99% on inhaled room air. Lung sounds were clear and cardiovascular examination was normal. ECG revealed sinus rhythm with ST-segment depression in leads V5-V6. A diagnosis of acute coronary syndrome was initially suspected and the patient was admitted to the coronary care unit. He received ASA, nitroglycerin and metoprolol. Chest pain was improved with treatment but epigastric pain persisted. Abdominal examination showed tenderness at lower epigastrium. Computed tomographic scan of the abdomen revealed inflammatory changes within the adjacent peripancreatic fat, consistent with pancreatitis. (Figure 1) Biochemistry results showed amylase 2578 U/L (35-115), lipase 845 U/L (5-85), ALT 63 U/L (5-45), AST 57 U/L (5-45), total bilirubin 1.0 mg/dL (0.1-1.1), ALP 352 U/L (98-295). Serum electrolytes and CPK were normal, and serum troponin T was positive. The patient was treated with adequate analgesia, intravenous fluid, electrolyte repletion, and cessation of oral intake. After he symptomatically improved cardiac catheterization was performed which revealed >90% stenosis of proximal segment of LAD treated by percutaneous coronary intervention (PCI) (Figure 2). Acute pancreatitis is a lethal disorder associated with acinar cell injury with local and systemic inflammation. Mortality rate ranging from 1% to 9% is influenced by severity of the disease and several prognostic factors. Many etiologic factors have been described for acute pancreatitis but most commonly as in our case gallstones are responsible for 80 to 90% of cases of acute pancreatitis. Although the exact mechanism of acute pancreatitis is unknown pathophysiological processes that ultimately lead to intrapancreatic zymogen activation and autodigestion of the acinar cell. Pancreatic ductal obstruction, hypersecretion, ischemia/reperfusion injury and enzymatic colocalization have been mentioned as factors that contribute to the initiation of inflammatory process. Our case is an extreme example of acute pancreatitis coexisting with acute coronary syndrome with clinical ECG and cardiac enzymes derangements accompanying anatomical and functional evidence of obstructive coronary disease.



**Figure 1.** Computed tomography of abdomen



**Figure 2.** Coronary angiography showing LAD stenosis

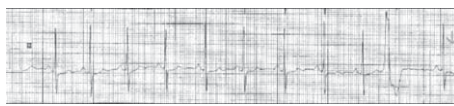
**Efor testi ve postekstrasistolik T dalga değişimi**

Lütfü Bekar, Mucahit Yetim, Ahmet Doksoz  
Tokat Devlet Hastanesi, Kardiyoloji Kliniği, Tokat

**Effort testing and postextrasystolic T wave change**

Lütfü Bekar, Mucahit Yetim, Ahmet Doksoz  
Tokat State Hospital, Cardiology Clinic, Tokat

A 48 years old male patient presented to our clinic with the complaint of atypical chest pain. He had not any risk factor except smoking and hypertension. Physical examination did not reveal any finding. On the transthoracic echocardiographic evaluation; left ventricle was hypertrophic concentric hypertrophy and relaxation delay was detected. The patient underwent effort testing with Bruce's protocol. The test was terminated since he reported chest pain in the 3rd stage. On the effort testing; no significant ST change observed compared to that before the test, while a change was detected in T wave of the normal pulse following premature ventricular beats on the records taken in the period (Image-1). Considering the effort test suspicious, the patient underwent coronary artery angiography (CA). CA revealed a serious main coronary lesion and decision was made for surgery (Image-2). Postextrasystolic T wave changes occur in the T wave following premature beats. These changes may be in form of vector, amplitude and contour. Changes in postextrasystolic T wave may be evidence of coronary artery disease. Compensatory pause following premature beat prolongs the diastolic time. This increases contractility of the heart due to the Starling effect. Any increase in the contractility causes an increase in oxygen consumption and in effects of the insufficient coronary filling. Changes in extrasystolic T wave detected during effort testing may be a serious finding of coronary disease, providing a contribution to increase the sensitivity of the test.



**Image 1.** Negativity is monitored in T wave of the sinus pulse following premature beat.



**Image 2.** Serious obstructive lesion is observed in the main coronary artery

## Koroner kalp hastalıkları

P-280

### Yolk sak tümör olan genç bir hastada kemoterapi sonrası erken anterior myokard infarktüsü

Mehmet Hayri Alıcı, Süleyman Ercan, Fethi Yavuz, Musa Çakıcı, Vedat Davutoğlu

Gaziantep Üniversitesi Tıp Fakültesi, Kardiyoloji Anabilim Dalı, Gaziantep

**Giriş:** Yolk sac tümör genç yaşta görülen sık malignitelerden testiküler kanserin non-seminomatöz grubundandır. Cerrahi ile beraber Cisplatin, Bleomycin ve Etoposide (BEP)’ten oluşan kombinasyon kemoterapisi tedavide ana protokoldür.

**Ölgu:** 24 yaşındaki erkek hasta 3 aydır olan sağ testiste ağrı ve şişlik şikayeti ile uroloji polikliniğine başvurmuştur. Sağ testiste kitlesel lezyon saptanması üzerine hastaşa sağ orsiptomİ operasyonu uygulanmış. Patoloji sonucu non-seminomatöz germ hücreli tümör (Yolk Sac tm. ile uyumlu) bulunması üzerine hastaşa Cisplatin, Bleomycin ve Etoposide (BEP)’ten oluşan kombinasyon kemoterapisi planlanmıştır. Hasta 4 türden oluşan kemoterapisi, 21 günde bir alacak şekilde; her kürüm 100 mg/m<sup>2</sup> Cisplatin ile 100 mg/m<sup>2</sup> Etoposid’i ilk beş gün ve 30 mg Bleomycin’i 1, 8 ve 15. günlerde aldı. BEP protokoli tedavisinin 3. kürümü aldıktan 4 gün sonra, göğüsde sıkıştırıcı tarzda şiddetli bir ağrı şikayeti ile acil servise başvurmuştur. Hastanın çekilen 12 derivasyonlu EKG’inde V1’den V6’ya kadar yaygın ST elevasyonu saptanması üzerine hastaya akut anterior myokard infarktüsü tanısı konmuştur. Hastaya invaziv girişim imkani bulunmamaya bir merkezde olduğu için 100 mg tPA / 90 dK’da verildi. Ağrı azalınca hastanın ST elevasyonu rezole oldu. 4. saat bakılan Troponin-T: > 30 ng/ml CK: 1527 U/L CK-MB: 189 U/L görüldü. Kardiyak belirtepler dışında hemogram ve biyokimyasal analizi normal sınırlaradaydı. Hastada koroner arter hastalığı yönünden risk faktörü yoktu. Yapılan ekokardiografide sol ventrikül sistolik fonksiyonları normal gözlemlendi. Hastaya yapılan koroner anjiyografide koroner arterlerin açık olduğu ve aterosklerotik plak olmadığı gözlemlendi. Hastaya kemoterapisinin 4. kürümü alırken asetilsalisilik asit 300 mg/gün, klopidogrel 75 mg/gün ve unfaksiyonel heparin aldı. Dual antiplatelet tedavi ile sorunsuz bir şekilde taburcu edildi.

**Tartışma:** Malignitenin kendisinin yanında kemoterapi rejimleri, angina pektoris, vazospastik angina, çeşitli EKG değişiklikleri, STEMI ve NSTEMI gibi akut koroner olaylara yol açabilir. Bu tip durumlarda seçilecek tedavi özelliğle genç hastalarda, patogeneze daha çok pihtlaşma bozuklukları olduğu için anti-iskemik ve gerekirse trombolitik tedavi hayatı kurtarıcı olabilir.

Başvuru Elektrokardiogramı



VI-V6 yaygın ST elevasyonu

P-281

### Nadir akut koroner sendrom nedeni: Spontan koroner arter disseksiyonu

Süleyman Ercan<sup>1</sup>, Musa Çakıcı<sup>2</sup>, Vedat Davutoğlu<sup>1</sup>, Muhammed Oylumlu<sup>2</sup>, Gökhan Altunbaş<sup>3</sup>

<sup>1</sup>Gaziantep Üniversitesi Tıp Fakültesi, Kardiyoloji Anabilim Dalı, Gaziantep

<sup>2</sup>Gaziantep Devlet Hastanesi, Kardiyoloji Kliniği, Gaziantep

<sup>3</sup>Kilis Devlet Hastanesi, Kilis

Spontan koroner arter disseksiyonu ateroskleroz kaynaklı olmayan akut koroner sendrom nedenlerindendir. Koroner anjiografide disseksiyon flebinin ve yalançı lumenin görülmesiyle tamir ve anjiografik çalışmalarla %0.1-1.1 arasında rapor edilmektedir. Ateroskleroz zamanında olmayan spontan koroner disseksiyon vakalarının yaklaşık %70’i kadın cinsiyetinde görülmektedir ve olguların önemli bir kısmı da 3. trimester veya erken postpartum olmak üzere gebelik periyoduya ilişkili bulunmuştur. Koroner disseksiyonun cinsiyete göre dağılım sıklığı da dejisiktedir. Bayanlarda sol ve inen arter (LAD) tutulumu daha fazla görülrken, erkeklerde sağ koroner arter (RCA) tutulumu daha fazla olmaktadır. Her iki cinsiyette de en nadir LMCA tutulmaktadır. Hastalar sessiz klinik seyirden ani kardiyak ölümé kadar farklı klinik prezantasyonla gelebilir.

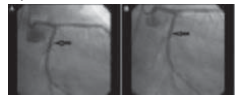
**Ölgu Sunumu:** Kalp hastalığı öyküsü olmayan 50 yaşındaki erkek hasta, yeni başlayan ve 15-20 dakika süren tipik istirahat anginası ile acil servise başvurdu. Hipertansiyon ve sigara kullanımı (105 paket/yıl) dışında koroner arter hastalığı risk faktörü yoktu. Fizik muayenesi normal sınırlardaydı. Kardiyak enzimleri takiplerinde yükselsmeyen hastanın elektrokardiografisinde inferolateral derivasyonlarında ST depresyonu ve T negatifliği saptanması (Resim 1) üzerine anstabil angina tanısıyla koroner yoğun bakım ünitesine alındı. Medikal tedavide 300 mg asetil salisilik asit, 50 mg metoprolol succinat, 20 mg atorvastatin, 0,6 ml enok-saparin (s.c.), 75 mg klopidogrel, 20 mg olmesartan ve intravenöz nitroglycerin infüzyonu başlandı. Rutin biyokimyasal tetkiklerinde lipit profili dışında anomal değerler saptanmadı (LDL: 169 mg/dl, triglislerit: 417 mg/dl, total kolesterol: 254 mg/dl). Transtoraksik ekokardiografide normal sınırlarda bulundu. Hastaya yatışının birinci günü yapılan koroner angiografi koroner yavaş akımı ile birlikte sirkümfeks arterde disseksiyon diğer damarlarda non-kritik plaklar saptandı (Resim 2A). Medikal takip planlanan hastanın şikayetlerinin devam etmesi üzerine yatışının üçüncü ayında dissek bölgeye 4.0x20 mm stent yerleştirildi (Resim 2B). Takiplerinde sıkieti olmayan hasta medikal tedavi düzlenerek taburcu edildi. Sonuç olarak; daha önce kardiyak öyküsü olmayan hastalarda spontan koroner arter disseksiyonu akut koroner sendrom nedeni olabilir. Uygun damarlarda ve deneyimli operator varlığında spontan koroner arter disseksiyonu tedavisinde perkutan koroner girişim önceliği olarak düşünülebilir.

Resim 1. Başvuru elektrokardiografisi



infarolateral derivasyonlarda ST-T değişiklikleri

Resim 2. Koroner anjiografi, A. Sol sirkümfeks arterde disseksiyon B. Başarılı stent implantasyonu



## Coronary heart diseases

P-280

### Early anterior myocardial infarction after chemotherapy with yolk sac tumor in a young patient

Mehmet Hayri Alıcı, Süleyman Ercan, Fethi Yavuz, Musa Çakıcı, Vedat Davutoğlu

Department of Cardiology, Gaziantep University Faculty of Medicine, Gaziantep

**P-282****Nötrofilin lenfosit oranının izole koroner arter ektazisi varlığı ile ilişkisi**

Turgay Isık<sup>1</sup>, Mahmut Uluganyan<sup>2</sup>, Erkan Ayhan<sup>1</sup>, Mehmet Ergelen<sup>3</sup>, Mustafa Kurt<sup>4</sup>, İbrahim Halil Tanboğa<sup>4</sup>, Huseyin Uyarel<sup>3</sup>, Abdurrahman Eksik<sup>2</sup>

<sup>1</sup>Balıkesir Üniversitesi Tip Fakültesi, Kardiyoloji Anabilim Dalı, Balıkesir

<sup>2</sup>Siyami Ersek Göğüs Kalp Damar Cerrahisi Hastanesi, Kardiyoloji Kliniği, İstanbul

<sup>3</sup>Bezmialem Vakıf Üniversitesi Tip Fakültesi, Kardiyoloji Anabilim Dalı, İstanbul

<sup>4</sup>Erzurum Eğitim ve Araştırma Hastanesi, Kardiyoloji Kliniği, Erzurum

**P-282****Relation of nötrofil to lenfosit ratio with presence of isolated coronary artery ectasia**

Turgay Isık<sup>1</sup>, Mahmut Uluganyan<sup>2</sup>, Erkan Ayhan<sup>1</sup>, Mehmet Ergelen<sup>3</sup>, Mustafa Kurt<sup>4</sup>, İbrahim Halil Tanboğa<sup>4</sup>, Huseyin Uyarel<sup>3</sup>, Abdurrahman Eksik<sup>2</sup>

<sup>1</sup>Department of Cardiology, Balıkesir University, School of Medicine, Balıkesir

<sup>2</sup>Department of Cardiology, Siyami Ersek Cardiovascular and Thoracic Surgery Center, İstanbul

<sup>3</sup>Department of Cardiology, Bezmialem Vakıf University, School of Medicine, İstanbul

<sup>4</sup>Department of Cardiology, Erzurum Education and Research Hospital, Erzurum

**Objectives:** Coronary artery ectasia (CAE), has been defined as a dilated artery luminal diameter that is 1.5 or more times greater than the diameter of the normal portion of the artery. Isolated CAE is defined as CAE without significant coronary artery stenosis and has more potent inflammatory properties. Neutrophil to lymphocyte ratio (NLR) is widely used as a marker of inflammation and an indicator of cardiovascular outcomes in patients with coronary artery disease. We examined a possible association between NLR and the presence of isolated CAE.

**Study Design:** In this study, 2345 patients who received coronary angiography for suspected or known ischemic heart disease were retrospectively evaluated. Following the application of exclusion criteria, our study population consisted of 81 CAE patients and 85 patients with age- and gender-matched subjects who proved to have normal coronary angiograms. Baseline neutrophil, lymphocyte and other hematologic indices are measured routinely prior to the coronary angiography.

**Results:** Patients with angiographic isolated CAE had significantly elevated NLR levels when compared to the patients with normal coronary artery ( $3.39 \pm 1.36$  vs  $2.25 \pm 0.58$ ,  $p < 0.001$ ). A NLR level  $\geq 2.37$  measured on admission had a 75% sensitivity and 65% specificity in predicting isolated CAE in ROC curve analysis. In the multivariate analysis, hypercholesterolemia (OR=2.67, 95% CI 1.25-5.73,  $p=0.01$ ), obesity (OR=3.37, 95% CI 1.31-8.67,  $p=0.01$ ) and increased NLR (OR=6.36, 95% CI 2.95-13.71,  $p < 0.001$ ) were independent predictors for presence of isolated CAE.

**Conclusion:** Neutrophil to lymphocyte ratio is a readily available clinical laboratory value that is associated with the presence of isolated CAE.

**P-283****Miyokard kas bandı olan bir olguda nitrogliserin ile koroner arter darlığının belirginleşmesi: Olgu sunumu**

Esra Güçük İpek, Ümit Güray

Ankara Türkiye Yüksek İhtisas Hastanesi, Kardiyoloji Bölümü, Ankara

Koroner damarlar kalbin epikardiyal yüzeyi üzerinde seyretmelerine rağmen, kimi zaman miyokard kasının içinde seyredebilir. Miyokard kas bantları, koroner arterlerin kalp kası içinde seyrederek sistolede daralmasına neden olan koroner arter patolojisidir. Miyokardın diystolede kanlanması nedeniyle çoğulukla belirti ve bulgu vermez ancak nadiren iskemiye neden olurlar. Konvansiyonel anjiyografi ile miyokard kas bantlarının gösterilmesi bazen zor olabilmektedir. Nitrogliserin bu gibi durumlarda kullanılabilir bir ajandır. Sunulan bu olguda, tipik göğüs ağrısı ile başvuran 65 yaşındaki erkek hastada konvansiyonel anjiyografide önemli bulgu saptanamamış, ancak sol on innen arterde nitrogliserin sonrası belirginleşen miyokardiyel kas bandı saptanmıştır (figür 1 ve 2).

**Figür 1A.** Koroner anjiyografik görüntüde diystoldede sol ön inen arter (ok) **1B.** Sistolde aynı görüntü (ok)



**Figür 2A.** Koroner anjiyografik görüntüde nitrogliserin sonrası diystoldede sol ön inen arterde aynı bölge izlenmekle (ok) **2B.** Sistolde aynı bölge (oklar)

**P-283****Accentuation of muscular bridge by intracoronary nitroglycerin injection: case report**

Esra Güçük İpek, Ümit Güray

Department of Cardiology, Ankara Türkiye Yüksek İhtisas Hospital, Ankara

**Tenekteplazin non invaziv bir merkezde ST yükselmeli miyokard enfarktüslü hastalarda kullanımının etkinlik ve güvenilirlik açısından sonuçları**

Burak Altun<sup>1</sup>, Mehmet Hakan Taşolar<sup>2</sup>, Salih Bük<sup>2</sup>, Ahmet Temiz<sup>1</sup>, Emine Gazi<sup>1</sup>, Bahadir Kirılmaz<sup>1</sup>, Serkan Saygı<sup>1</sup>

<sup>1</sup>Çanakkale Onsekiz Mart Üniversitesi Tıp Fakültesi, Kardiyoloji Anabilim Dalı, Çanakkale

<sup>2</sup>S.B. Adiyaman Üniversitesi Adiyaman Eğitim ve Araştırma Hastanesi, Kardiyoloji Bölümü, Adiyaman

**Amaç:** Invaziv laboratuvar olmayan bir merkezde tenekteplazin ST yükselmeli Miyokard Enfarktüslü (STEMI) hastalarda etkinlik ve güvenilirliğini değerlendirmek

**Metod:** STEMI tedavisinde tenekteplaz kullanıldıktır ve hastalardan etkinlik ve güvenilirlik parametreleri kaydedildi, tenekteplaz tarif edildiği gibi uygulandı, ek tedavi olarak klopidogrel ve heparin rutin uygulama ve kılavuzlara göre verildi.

**Bulgular:** 45 hasta dahil edildi. Göğüs ağrısı başlangıcından tenekteplaz verilene kadar geçen ortalama süre 90 dakika idi. Klinik olarak başarılı tromboliz %84,4 hastada gözlemlendi, 1 hasta kafa içi kanama, 2 hasta ölüm, 3 hasta reinfarkt gözlemlendi.

**Sonuç:** Bu bilgiler STEMI tedavisinde tenekteplazın etkinliği ve güvenilirliği konusunda uluslararası ASSENT 2 çalışmasının verileriley uyumlu çıkmıştır.

**Tablo.** Geçmiş verilerle karşılaştırılan yan etkiler

Tenekteplaz ile bildirilen yan etkiler	Gelgitmeyenlerdeki insidans	TIME 10B deki insidans	ASSENT 2 deki insidans
Ciddi ölümcül kanama	%6,6 (3/45)	%0,7-11,5	%21,76
Kafa içi kanama	%2,2 (1/45)	%1,0-3,8	%0,93
Reinfarkt	%6,6 (3/45)	%2,6-6,5	%4,1
Ölüm	%4,4 (2/45)	%3,6-6,5	%7,11

**The safety and efficacy results of tenecteplase with ST segment elevation myocardial infarction patients in a non invasive center**

Burak Altun<sup>1</sup>, Mehmet Hakan Taşolar<sup>2</sup>, Salih Bük<sup>2</sup>, Ahmet Temiz<sup>1</sup>, Emine Gazi<sup>1</sup>, Bahadir Kirılmaz<sup>1</sup>, Serkan Saygı<sup>1</sup>

<sup>1</sup>Department of Cardiology, Çanakkale Onsekiz Mart University Faculty of Medicine, Çanakkale

<sup>2</sup>Department of Cardiology, S.B. Adiyaman University Adiyaman Training and Research Hospital, Adiyaman

**Objective:** To assess the efficacy and safety of tenecteplase in a center where don't have a invazive catheter laboratory in patients with ST segment elevation MI (STEMI)

**Methods:** Cardiologists used tenecteplase for management of STEMI, recorded safety and efficacy parameters from patients. Tenecteplase was administrated as per the prescribing information, adjunctive therapy which included clopidogrel and heparin was administrated routinely practiced and indicated by guidelines.

**Results:** Forty five patients were included to our study. median chest pain to drug interval of 90 minutes. Clinically successfully thrombolysis was reported in %84,4 patients. 1 patient suffered intracranial hemorrhage, 2 patients were death, 3 patients had myocardial reinfarction

**Conclusion:** This data shows that tenecteplase is safe and effective in STEMI management and conforms to the international ASSENT 2 trial data

**Table.** The adverse effects compared with historical data

the adverse effects declared by tenecteplase	incidence in our study	incidence in TIMI 10-B	Incidence in ASSENT 2
not serious bleeding	%6,6 (3/45)	%0,7-11,5	%21,76
intracranial hemorrhage	%2,2 (1/45)	%1,0-3,8	%0,93
reinfarction	%6,6 (3/45)	%2,6-6,5	%4,1
death	%4,4 (2/45)	%3,6-6,5	%7,11

**EKG'de anteroseptal miyokard infarktüsünü düşündüren izole sağ ventrikül miyokard infarktüsü: Olgu sunumu**

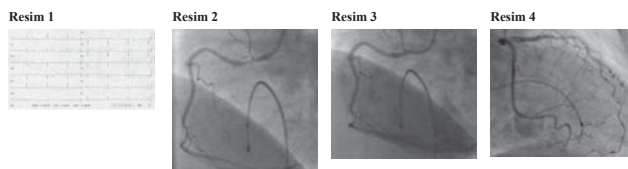
Cağlar Özmen, Ali Deniz, Mehmet Kanadaş

Çukurova Üniversitesi Tıp Fakültesi, Kardiyoloji Anabilim Dalı, Adana

**Giriş:** İnferior MI ile ilişkili sağ ventrikül MI iyi bilinen ve sık rastlanan bir durumdur. Buna karşın sağ ventrikül MI oldukça nadir görülmektedir ve EKG bulguları genellikle atlanmaktadır. İzole sağ ventrikül MI sağ ventrikülü besleyen dominant olmayan bir sağ koroner arterin (RCA) proksimal bölgeden tikanması ile meydana gelmektedir. EKG'ye göre akut anteroseptal MI şüphesi ile koroner anjiyografije alınan, buna karşın RCA proksimal okluzyonu saptanın bir izole sağ ventrikül MI olgusu sunulmaktadır.

**Olu:** Altıncı beş yaşında kadın hasta 1 saat önce gelişen bilinc kaybı ile acil servise getirildi. Hastanın öyküsünden 5 gün önce sağ koroner arter proksimal stent takıldığı öğrenildi. EKG'de V1'den V4'e yükselişli gitikçe azalan tarzda ST segment elevasyonu, DIII ve aVF'de patolojik Q dalgaları vardı. EKG'deki ritmi AV tam blok ile uyumluydu (Resim 1). Yapılan koroner anjiyografide RCA proksimalindeki stentin tromboze olduğu görüldü. LAD koroner arter orta kısmında %50, distal kısımda %60 darlık saptandı. Cx koroner arter ise normal olarak bulundu. RCA proksimalındaki sten içi trombotik %95 lezyonu PTCA uygulanmış ve tam açılık sağlanmıştır (Resim 2-4).

**Sonuç:** İnferior MI ile gelenlerin yaklaşık %40-50'sine sağ ventrikül MI eşlik eder. İzole sağ ventrikül MI EKG'de V1'den V4'e yükselişli giderek azalan ST segment elevasyonu ve sonrasında Q dalgalı olusumu gözlenmemesi ile karakterizedir ve EKG'de anterior MI'ı taklit eder. Dominant olmayan RCA'nın total tıkanıklığı, sol ventrikülin kanlanması sağlamadığı için sol ventrikülin infarktına neden olmaksızın izole sağ ventrikül MI ile karşılaşılmaktır.



**Isolated right ventricular myocardial infarction misdiagnosed as anteroseptal myocardial infarction in ECG: a case report**

Cağlar Özmen, Ali Deniz, Mehmet Kanadaş

Department of Cardiology, Çukurova University Faculty of Medicine, Adana

P-286

Safen ven graft hastalığında kırmızı kan hücresi dağılım genişliği

Ahmet Akyel<sup>1</sup>, İbrahim Etem Çelik, Fatih Öksüz, Serkan Çay, Muhammed Karadeniz, Alparslan Kurtul, Adil Hakan Öcek, Sani Namık Murat  
*S.B. Etlik İhtisas Training and Research Hospital, Ankara*

**Background:** Red blood cell distribution width (RDW) is related with morbidity and mortality in a wide spectrum of conditions and it's closely related with atherosclerotic processes. In present study we aimed to investigate significance of RDW in saphenous vein graft disease (SVGD) in which atherosclerosis takes important pathophysiological role.

**Methods:** Totally 90 patients were enrolled to present study. Fifty eight of them were patients with patent saphenous vein grafts and 32 of them were patients with SVGD. Stable angina and/or positive stress test were indications for coronary angiography. Red blood cell distribution width and other laboratory parameters were measured before coronary angiography.

**Results:** Basal characteristics of patient groups were similar. Although triglyceride levels of SVGD group was higher than patent SVG group, it didn't reach statistical significance ( $188.9 \pm 99.8$ ,  $151.0 \pm 75.5$ ,  $0.068$ ). Mean time interval after bypass surgery was longer in SVGD group compared to patent SVG group ( $7.8 \pm 4.5$ ,  $5.6 \pm 3.1$ ,  $0.008$  respectively). The RDW values of patients with SVGD was higher than patients with patent SVG group. In logistic regression analysis, RDW and time interval after bypass surgery were remained as independent predictors for SVGD.

**Conclusion:** In present study we showed for the first time that RDW, which is a simple and cheap parameter that is routinely used in daily clinical practice, can be used as a predictor of SVGD together with time interval after bypass surgery.

P-287

Akut koroner sendromlu hastalarda serum gamma-glutamyltransferaz düzeyi ile atherosklerozun yükü

Mustafa Duran<sup>1</sup>, Ozgur Gunebakmaz<sup>2</sup>, Onur Kadir Uysal<sup>1</sup>, Serkan Kurtul<sup>1</sup>, Abdulkadir Bozkir<sup>1</sup>, Caner Ozgokce<sup>1</sup>, Ramazan Topsakal<sup>1</sup>, Namik Kemal Eryol<sup>1</sup>, Abdurrahman Oguzhan<sup>3</sup>, Ali Dogan<sup>3</sup>, Ibrahim Ozdogru<sup>1</sup>, Mehmet Gungor Kaya<sup>3</sup>

<sup>1</sup>Kayseri Eğitim ve Araştırma Hastanesi, Kardiyoloji Kliniği, Kayseri

<sup>2</sup>Kastamonu Devlet Hastanesi, Kardiyoloji Kliniği, Kastamonu

<sup>3</sup>Erciyes Üniversitesi Tip Fakültesi, Kardiyoloji Anabilim Dalı, Kayseri

P-286

Red blood cell distribution width in saphenous vein graft disease

Ahmet Akyel<sup>1</sup>, İbrahim Etem Çelik, Fatih Öksüz, Serkan Çay, Muhammed Karadeniz, Alparslan Kurtul, Adil Hakan Öcek, Sani Namık Murat

*S.B. Etlik İhtisas Eğitim ve Araştırma Hastanesi, Ankara*

**Background:** Red blood cell distribution width (RDW) is related with morbidity and mortality in a wide spectrum of conditions and it's closely related with atherosclerotic processes. In present study we aimed to investigate significance of RDW in saphenous vein graft disease (SVGD) in which atherosclerosis takes important pathophysiological role.

**Methods:** Totally 90 patients were enrolled to present study. Fifty eight of them were patients with patent saphenous vein grafts and 32 of them were patients with SVGD. Stable angina and/or positive stress test were indications for coronary angiography. Red blood cell distribution width and other laboratory parameters were measured before coronary angiography.

**Results:** Basal characteristics of patient groups were similar. Although triglyceride levels of SVGD group was higher than patent SVG group, it didn't reach statistical significance ( $188.9 \pm 99.8$ ,  $151.0 \pm 75.5$ ,  $0.068$ ). Mean time interval after bypass surgery was longer in SVGD group compared to patent SVG group ( $7.8 \pm 4.5$ ,  $5.6 \pm 3.1$ ,  $0.008$  respectively). The RDW values of patients with SVGD was higher than patients with patent SVG group. In logistic regression analysis, RDW and time interval after bypass surgery were remained as independent predictors for SVGD.

**Conclusion:** In present study we showed for the first time that RDW, which is a simple and cheap parameter that is routinely used in daily clinical practice, can be used as a predictor of SVGD together with time interval after bypass surgery.

P-287

Levels of serum gamma-glutamyltransferase and burden of atherosclerosis in patients with acute coronary syndrome

Mustafa Duran<sup>1</sup>, Ozgur Gunebakmaz<sup>2</sup>, Onur Kadir Uysal<sup>1</sup>, Serkan Kurtul<sup>1</sup>, Abdulkadir Bozkir<sup>1</sup>, Caner Ozgokce<sup>1</sup>, Ramazan Topsakal<sup>1</sup>, Namik Kemal Eryol<sup>1</sup>, Abdurrahman Oguzhan<sup>3</sup>, Ali Dogan<sup>3</sup>, Ibrahim Ozdogru<sup>1</sup>, Mehmet Gungor Kaya<sup>3</sup>

<sup>1</sup>Kayseri Education and Research Hospital, Department of Cardiology, Kayseri

<sup>2</sup>Kastamonu City Hospital, Department of Cardiology, Kastamonu

<sup>3</sup>Erciyes University, Faculty of Medicine, Department of Cardiology, Kayseri

**Aim:** We aimed to elucidate the relation between serum gamma-glutamyltransferase (GGT) level and burden of atherosclerosis in patients with acute coronary syndrome (ACS).

**Methods:** The study involved 201 patients who had ACS. All patients underwent coronary angiography on the first day after admission. Burden of atherosclerosis was assessed by the Gensini and Syntax scores. Blood samples were drawn for the measurement of biochemical parameters.

**Results:** High levels of GGT were associated with Gensini score ( $r=0.286$ ,  $p<0.001$ ), Syntax score ( $r=0.308$ ,  $p<0.001$ ), number of diseased vessel ( $r=0.354$ ,  $p<0.001$ ) and number of critical lesions ( $r>70\%$ ,  $r=0.145$ ,  $p=0.044$ ). Multivariate linear regression analysis demonstrated that the increased GGT level was found to be an independent risk factor for Syntax and Gensini scores ( $b=0.220$ ,  $p=0.029$  and  $b=0.240$ ,  $p=0.027$  respectively) together with age ( $b=0.331$ ,  $p=0.003$  and  $b=0.334$ ,  $p=0.005$  respectively) and glucose ( $b=0.304$ ,  $p=0.003$  and  $b=0.279$ ,  $p=0.009$  respectively).

**Conclusion:** High levels of serum GGT on admission was associated with burden of atherosclerosis in patients with ACS and this may explain the cardiovascular outcomes associated with increased GGT levels. The serum GGT is a cost effective, simple and highly sensitive vascular risk marker which can be measured simply in clinical practice.

### Safen ven greft tıkanıklığı üzerine metabolik sendrom ve aspirin direncinin ikili etkisi

Erkan Baydal<sup>1</sup>, Alex Değirmencioğlu<sup>2</sup>, Bernas Altıntaş<sup>1</sup>, Mehmet Timur Selçuk<sup>3</sup>, Ahmet Temizhan<sup>3</sup>, Hatice Selçuk<sup>3</sup>

<sup>1</sup>Diyarbakır Eğitim ve Araştırma Hastanesi, Kardiyoloji Bölümü, Diyarbakır

<sup>2</sup>Acıbadem Hastanesi, Kardiyoloji Bölümü, İstanbul

<sup>3</sup>Ankara Türkiye Yüksek İhtisas Hastanesi, Kardiyoloji Bölümü, Ankara

CABG koroner arter hastalığının cerrahi tedavisinde hala onemli yer tutmakta olup, safen ven greft kulanım halâ yaygın olarak uygulanmaktadır. Birçok çalışmada safen ven greft tıkanıklığı olan hastalarda aspirin direncinin yüksek olduğu gösterilmiştir. Metabolik sendromlu hastalarda koroner arter hastalığı yaygın olup bazı çalışmalarında metabolik sendromlu aspirin direnci arasında ilişkili sonuçlar bulunmuştur. Biz bu çalışmada safen ven greft tıkanıklığı olan hastalarda metabolik sendromun aspirin direnci üzerine etkisini inceledik. Çalışmaya semptomları nedeniley koroner angiografi işlemi yapılan ve safen greft tıkanıklığı olan 114 hasta dahil edildi. Safen ven greft tıkanıklığı olan grupta, metabolik sendromlu olan hastalar ile metabolik sendromlu olmayan hastalar karşılaştırıldığında VKI, kadın cinsiyet, bel çevresi, triglicerider düzeyleri, beta-blocker kullanım ve oral antidiabetik kullanımı açısından anlamlı fark izlenirken, aspirin direnci açısından fark izlenmedi ( $p=0.3$ ), (Tablo 1).

Tablo 1.	
Safen Ven Graft Olan ve Metabolik Sendromlu Hastalar (%= 54)	
Tıkanık (n=30) / Sıfır (n=24) ve Metabolik Sendromlu Olmayanlar (%= 46)	
Vücut Kitle İndeksi (VKİ) (kg/m <sup>2</sup> )	
Sıfır (vücut kitle indeksi) 27,0±9,5 9,2±4,4 < 7,9±0,1	
Tıkanık (vücut kitle indeksi) 31,0±18,6 127,2 ± 15,6 0,6	
Bilinen Hastalıklar (n=32) / (n=23)	
Hipertansiyon (n=20) / (n=14) 0,01	
Diabet (n=12) / (n=8) 0,04	
DM (n=10) / (n=6) 0,02	
Metabolik Sendrom (n=4) / (n=3) 0,02	
Hipertansiyon (n=4) / (n=3) 0,03	
Bileşikler (n=17) / (n=20) 0,03	
Büyükler (n=9) / (n=12) 0,03	
Diabetik Melitus (n=3) / (n=2) 0,1	
Aşırı Kilo (n=12) / (n=10) 0,00	
HDL (mg/dl) 39,9±12,9 45,7±8,3 0,1	
Kolesterol (mg/dl) 201,6±65,0 196,4±41,6 0,5	
Triglycerit (mg/dl) 149,6±64,2 139,4±44,2 0,08	
Ure (mg/dl) 35,2±3,2 48,8±3,2 0,8	
Kreatinin (mg/dl) 1,24±0,1 1,55±0,1 0,2	
Hemoglobin (g/dl) 14,6±1,7 14,4±1,3 0,8	
Plazma Kreatinin (mg/dl) 0,9±0,1 0,8±0,1 0,8	
Bilinen Kan Harvey (vücut kitle indeksi) 0,2	
Aşırı Kilo (vücut kitle indeksi) 0,3±0,05 0,3±0,05 0,03	
Aşırı Kilo (vücut kitle indeksi) 0,2±0,05 0,2±0,05 0,02	
ACE Antitıkanıcı Kullanımı (n=6) / (n=5) 0,09	
Bileşikler (n=12) / (n=10) 0,03	
Kolesterol (mg/dl) 92,3±19,7 102,8±45,1 0,3	
Triglycerit (mg/dl) 103,1±41,7 115,4±40,4 0,01	
Kreatinin (mg/dl) 0,8±0,1 0,8±0,1 0,05	
Sıfır (n=17) / (n=20) 0,03	
Sıfır (vücut kitle indeksi) 24 (n=17) / 27 (n=20) 0,9	
Sıfır (vücut kitle indeksi) 21 (n=17) / 23 (n=20) 0,2	
ACE Antitıkanıcı Kullanımı (n=6) / (n=5) 0,09	
Bileşikler (n=12) / (n=10) 0,03	
Kolesterol (mg/dl) 92,3±19,7 102,8±45,1 0,3	
Triglycerit (mg/dl) 103,1±41,7 115,4±40,4 0,01	
Kreatinin (mg/dl) 0,8±0,1 0,8±0,1 0,05	
Sıfır (n=17) / (n=20) 0,03	
Sıfır (vücut kitle indeksi) 24 (n=17) / 27 (n=20) 0,9	
Sıfır (vücut kitle indeksi) 21 (n=17) / 23 (n=20) 0,2	
ACE Antitıkanıcı Kullanımı (n=6) / (n=5) 0,09	
Bileşikler (n=12) / (n=10) 0,03	
Kolesterol (mg/dl) 92,3±19,7 102,8±45,1 0,3	
Triglycerit (mg/dl) 103,1±41,7 115,4±40,4 0,01	
Kreatinin (mg/dl) 0,8±0,1 0,8±0,1 0,05	
Sıfır (n=17) / (n=20) 0,03	
Sıfır (vücut kitle indeksi) 24 (n=17) / 27 (n=20) 0,9	
Sıfır (vücut kitle indeksi) 21 (n=17) / 23 (n=20) 0,2	
ACE Antitıkanıcı Kullanımı (n=6) / (n=5) 0,09	
Bileşikler (n=12) / (n=10) 0,03	
Kolesterol (mg/dl) 92,3±19,7 102,8±45,1 0,3	
Triglycerit (mg/dl) 103,1±41,7 115,4±40,4 0,01	
Kreatinin (mg/dl) 0,8±0,1 0,8±0,1 0,05	
Sıfır (n=17) / (n=20) 0,03	
Sıfır (vücut kitle indeksi) 24 (n=17) / 27 (n=20) 0,9	
Sıfır (vücut kitle indeksi) 21 (n=17) / 23 (n=20) 0,2	
ACE Antitıkanıcı Kullanımı (n=6) / (n=5) 0,09	
Bileşikler (n=12) / (n=10) 0,03	
Kolesterol (mg/dl) 92,3±19,7 102,8±45,1 0,3	
Triglycerit (mg/dl) 103,1±41,7 115,4±40,4 0,01	
Kreatinin (mg/dl) 0,8±0,1 0,8±0,1 0,05	
Sıfır (n=17) / (n=20) 0,03	
Sıfır (vücut kitle indeksi) 24 (n=17) / 27 (n=20) 0,9	
Sıfır (vücut kitle indeksi) 21 (n=17) / 23 (n=20) 0,2	
ACE Antitıkanıcı Kullanımı (n=6) / (n=5) 0,09	
Bileşikler (n=12) / (n=10) 0,03	
Kolesterol (mg/dl) 92,3±19,7 102,8±45,1 0,3	
Triglycerit (mg/dl) 103,1±41,7 115,4±40,4 0,01	
Kreatinin (mg/dl) 0,8±0,1 0,8±0,1 0,05	
Sıfır (n=17) / (n=20) 0,03	
Sıfır (vücut kitle indeksi) 24 (n=17) / 27 (n=20) 0,9	
Sıfır (vücut kitle indeksi) 21 (n=17) / 23 (n=20) 0,2	
ACE Antitıkanıcı Kullanımı (n=6) / (n=5) 0,09	
Bileşikler (n=12) / (n=10) 0,03	
Kolesterol (mg/dl) 92,3±19,7 102,8±45,1 0,3	
Triglycerit (mg/dl) 103,1±41,7 115,4±40,4 0,01	
Kreatinin (mg/dl) 0,8±0,1 0,8±0,1 0,05	
Sıfır (n=17) / (n=20) 0,03	
Sıfır (vücut kitle indeksi) 24 (n=17) / 27 (n=20) 0,9	
Sıfır (vücut kitle indeksi) 21 (n=17) / 23 (n=20) 0,2	
ACE Antitıkanıcı Kullanımı (n=6) / (n=5) 0,09	
Bileşikler (n=12) / (n=10) 0,03	
Kolesterol (mg/dl) 92,3±19,7 102,8±45,1 0,3	
Triglycerit (mg/dl) 103,1±41,7 115,4±40,4 0,01	
Kreatinin (mg/dl) 0,8±0,1 0,8±0,1 0,05	
Sıfır (n=17) / (n=20) 0,03	
Sıfır (vücut kitle indeksi) 24 (n=17) / 27 (n=20) 0,9	
Sıfır (vücut kitle indeksi) 21 (n=17) / 23 (n=20) 0,2	
ACE Antitıkanıcı Kullanımı (n=6) / (n=5) 0,09	
Bileşikler (n=12) / (n=10) 0,03	
Kolesterol (mg/dl) 92,3±19,7 102,8±45,1 0,3	
Triglycerit (mg/dl) 103,1±41,7 115,4±40,4 0,01	
Kreatinin (mg/dl) 0,8±0,1 0,8±0,1 0,05	
Sıfır (n=17) / (n=20) 0,03	
Sıfır (vücut kitle indeksi) 24 (n=17) / 27 (n=20) 0,9	
Sıfır (vücut kitle indeksi) 21 (n=17) / 23 (n=20) 0,2	
ACE Antitıkanıcı Kullanımı (n=6) / (n=5) 0,09	
Bileşikler (n=12) / (n=10) 0,03	
Kolesterol (mg/dl) 92,3±19,7 102,8±45,1 0,3	
Triglycerit (mg/dl) 103,1±41,7 115,4±40,4 0,01	
Kreatinin (mg/dl) 0,8±0,1 0,8±0,1 0,05	
Sıfır (n=17) / (n=20) 0,03	
Sıfır (vücut kitle indeksi) 24 (n=17) / 27 (n=20) 0,9	
Sıfır (vücut kitle indeksi) 21 (n=17) / 23 (n=20) 0,2	
ACE Antitıkanıcı Kullanımı (n=6) / (n=5) 0,09	
Bileşikler (n=12) / (n=10) 0,03	
Kolesterol (mg/dl) 92,3±19,7 102,8±45,1 0,3	
Triglycerit (mg/dl) 103,1±41,7 115,4±40,4 0,01	
Kreatinin (mg/dl) 0,8±0,1 0,8±0,1 0,05	
Sıfır (n=17) / (n=20) 0,03	
Sıfır (vücut kitle indeksi) 24 (n=17) / 27 (n=20) 0,9	
Sıfır (vücut kitle indeksi) 21 (n=17) / 23 (n=20) 0,2	
ACE Antitıkanıcı Kullanımı (n=6) / (n=5) 0,09	
Bileşikler (n=12) / (n=10) 0,03	
Kolesterol (mg/dl) 92,3±19,7 102,8±45,1 0,3	
Triglycerit (mg/dl) 103,1±41,7 115,4±40,4 0,01	
Kreatinin (mg/dl) 0,8±0,1 0,8±0,1 0,05	
Sıfır (n=17) / (n=20) 0,03	
Sıfır (vücut kitle indeksi) 24 (n=17) / 27 (n=20) 0,9	
Sıfır (vücut kitle indeksi) 21 (n=17) / 23 (n=20) 0,2	
ACE Antitıkanıcı Kullanımı (n=6) / (n=5) 0,09	
Bileşikler (n=12) / (n=10) 0,03	
Kolesterol (mg/dl) 92,3±19,7 102,8±45,1 0,3	
Triglycerit (mg/dl) 103,1±41,7 115,4±40,4 0,01	
Kreatinin (mg/dl) 0,8±0,1 0,8±0,1 0,05	
Sıfır (n=17) / (n=20) 0,03	
Sıfır (vücut kitle indeksi) 24 (n=17) / 27 (n=20) 0,9	
Sıfır (vücut kitle indeksi) 21 (n=17) / 23 (n=20) 0,2	
ACE Antitıkanıcı Kullanımı (n=6) / (n=5) 0,09	
Bileşikler (n=12) / (n=10) 0,03	
Kolesterol (mg/dl) 92,3±19,7 102,8±45,1 0,3	
Triglycerit (mg/dl) 103,1±41,7 115,4±40,4 0,01	
Kreatinin (mg/dl) 0,8±0,1 0,8±0,1 0,05	
Sıfır (n=17) / (n=20) 0,03	
Sıfır (vücut kitle indeksi) 24 (n=17) / 27 (n=20) 0,9	
Sıfır (vücut kitle indeksi) 21 (n=17) / 23 (n=20) 0,2	
ACE Antitıkanıcı Kullanımı (n=6) / (n=5) 0,09	
Bileşikler (n=12) / (n=10) 0,03	
Kolesterol (mg/dl) 92,3±19,7 102,8±45,1 0,3	
Triglycerit (mg/dl) 103,1±41,7 115,4±40,4 0,01	
Kreatinin (mg/dl) 0,8±0,1 0,8±0,1 0,05	
Sıfır (n=17) / (n=20) 0,03	
Sıfır (vücut kitle indeksi) 24 (n=17) / 27 (n=20) 0,9	
Sıfır (vücut kitle indeksi) 21 (n=17) / 23 (n=20) 0,2	
ACE Antitıkanıcı Kullanımı (n=6) / (n=5) 0,09	
Bileşikler (n=12) / (n=10) 0,03	
Kolesterol (mg/dl) 92,3±19,7 102,8±45,1 0,3	
Triglycerit (mg/dl) 103,1±41,7 115,4±40,4 0,01	
Kreatinin (mg/dl) 0,8±0,1 0,8±0,1 0,05	
Sıfır (n=17) / (n=20) 0,03	
Sıfır (vücut kitle indeksi) 24 (n=17) / 27 (n=20) 0,9	
Sıfır (vücut kitle indeksi) 21 (n=17) / 23 (n=20) 0,2	
ACE Antitıkanıcı Kullanımı (n=6) / (n=5) 0,09	
Bileşikler (n=12) / (n=10) 0,03	
Kolesterol (mg/dl) 92,3±19,7 102,8±45,1 0,3	
Triglycerit (mg/dl) 103,1±41,7 115,4±40,4 0,01	
Kreatinin (mg/dl) 0,8±0,1 0,8±0,1 0,05	
Sıfır (n=17) / (n=20) 0,03	
Sıfır (vücut kitle indeksi) 24 (n=17) / 27 (n=20) 0,9	
Sıfır (vücut kitle indeksi) 21 (n=17) / 23 (n=20) 0,2	
ACE Antitıkanıcı Kullanımı (n=6) / (n=5) 0,09	
Bileşikler (n=12) / (n=10) 0,03	
Kolesterol (mg/dl) 92,3±19,7 102,8±45,1 0,3	
Triglycerit (mg/dl) 103,1±41,7 115,4±40,4 0,01	
Kreatinin (mg/dl) 0,8±0,1 0,8±0,1 0,05	
Sıfır (n=17) / (n=20) 0,03	
Sıfır (vücut kitle indeksi) 24 (n=17) / 27 (n=20) 0,9	
Sıfır (vücut kitle indeksi) 21 (n=17) / 23 (n=20) 0,2	
ACE Antitıkanıcı Kullanımı (n=6) / (n=5) 0,09	
Bileşikler (n=12) / (n=10) 0,03	
Kolesterol (mg/dl) 92,3±19,7 102,8±45,1 0,3	
Triglycerit (mg/dl) 103,1±41,7 115,4±40,4 0,01	
Kreatinin (mg/dl) 0,8±0,1 0,8±0,1 0,05	
Sıfır (n=17) / (n=20) 0,03	
Sıfır (vücut kitle indeksi) 24 (n=17) / 27 (n=20) 0,9	
Sıfır (vücut kitle indeksi) 21 (n=17) / 23 (n=20) 0,2	
ACE Antitıkanıcı Kullanımı (n=6) / (n=5) 0,09	
Bileşikler (n=12) / (n=10) 0,03	
Kolesterol (mg/dl) 92,3±19,7 102,8±45,1 0,3	

**Koroner arter anomalisi: Dev sağ koroner arter**

Serkan Akdag<sup>1</sup>, Musa Şahin<sup>2</sup>, Hasan Ali Gümrukçuoğlu<sup>2</sup>, Aytaç Akyol<sup>1</sup>, Mehmet Yaman<sup>2</sup>, Hakkı Şimşek<sup>2</sup>

<sup>1</sup>Van Yüksek İhtisas Hastanesi, Kardiyoloji Kliniği, Van

<sup>2</sup>Yüzüncü Yıl Üniversitesi Tıp Fakültesi, Kardiyoloji Anabilim Dalı, Van

Konjenital kalp hastalıklarının nadir bir formu olan koroner arter anomalileri, koroner anjiyografı yapılan hastaların yaklaşık %1'inde görülmektedir. Tek koroner anomali (TKA), koroner arter anomalilerinin %0.03-%0.4 gibi çok düşük bir formunu oluşturur. TKA, iskemi riskini artırmadan, gelişen aterosklerotik lezyonum beklenenden daha geniş miyokard alanlarını tehdit etmesinden ve özellikle genç insanlarda egerleriz ile ilişkili ani ölümlere neden olmasından dolayı önem arz etmektedir. Bu vakada sağ sinus valsalvadan çıkışlı TKA olsu sunulmuştur.

**Vaka:** Yetmiş iki yaşında kadın hasta 2 aydır devam eden eforla ilişkili göğüs ağrısı şikayeti ile poliklinimize başvurdu. 15 yıllık hipertansiyon öyküsü olan hastanın yapılan fizik muayenesinde TA:150/90 mmHg, kta:74 atm/dak olup apikal 2/6 sistolik tıflümlü mevcuttu. Elektrokardiyografsinde sağ dal bloğu dışında bir özellik yoktu. Transtorasik ekokardiyografisinde EF %60 olup hafif mitral yetersizliği izlendi. Submaksimal efor testinde elektrokardiyografik değişiklik gelişmemesine karşın göğüs ağrısı olması üzerine hastanın koroner anjiyografı için klinikimize yatırıldı. Koroner anjiyografide; ilk olarak sol koroner arter sisteminin görüntülenmesi için girişim yapıldı. Sol koroner artere girilemeyeince sağ koroner arter enjeksiyonuna geçildi. Sağ koroner arter enjeksiyonunda sol onen ve sirkümpleks arterin sağ koroner arter proksimalinden köken aldığı gözlandı. Sol koroner arter sisteminde anormal darlık saptanmadı. Sağ koroner arter ortasında ise; hafif darlık yanın aterosklerotik lezyon görüldü (Şekil 1,2). Hasta medikal tedavisi düzenlenerek taburcu edildi.

Şekil 1.



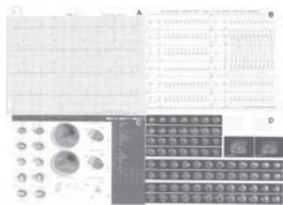
Şekil 2.

**Sol onen koroner arter ve pulmoner arter arasındaki fistüle bağlı gelişen miyokardiyal iskemi**

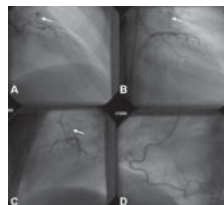
Sait Demirkol, Murat Ünlü, Zekeriya Arslan, Şevket Balta, Atilla İyisoy, Turgay Çelik, Uğur Küçük

GATA Ankara Kardiyoloji Anabilim Dalı, Ankara

Elli yaşında bayan hasta poliklinimize atipik göğüs ağrısı şikayeti ile başvurdu. Hasta daha önce hipertansiyon tanısı ile takip edilmekteydi ve bununla birlikte özegeçimi ve seyreciminde koroner arter hastalığına yakınlığı neden olacak herhangi bir risk faktörü saptanmadı. Yapılan fizik muayenesinde patolojik bulgu saptanmadı. Çekilen elektrokardiyografide nonspesifik değişiklikler dışında patolojik yoktu. Akciğer grafisi normal sınırlarındaydı. Yapılan ekokardiyografide ejeksiyon fraksiyonu %67 idi ve fizyolojik mitral yetersizliği vardı. Hastaya Bruce protokoline göre yapılan efor testinde inferior ve lateral derivasyonlarda ST segment depresyonu gözlemlendi (Resim 1B). Düşük risk profiline göre hastanın hasta olduğundan efor testimini yanlış pozitif sonuçlarla ekarte etmek için hastaya miyokard perfüzyon sintigrافisi yapıldı. Yapılan miyokard perfüzyon sintigrafisinde hastanın anteroseptal duvar apikalinde küçük bir alanda iskemi saptandı (Resim 1C,1D). Hastaya tüm bu bulgularında koroner anjiyografı yapıldı. Yapılan koroner anjiyografide sol onen arter ile pulmoner arter arasında fistül saptandı (Resim 2A). Buna birinde koroner anatomı normal idi (Resim 2B, C, D). Hastanın semptomlarının nonspesifik olması, iskemi alanının küçük olması nedeniyle medikal takip karan alındı. Koroner arter fistilleri, koroner arterler köken alan ve kalp boşulları veya damarsal yapılara açılan bağıntılardır. Sıklıkla konjenital olarak görülen fistiller nadiren kazanılmış olarak görülebilir. Genelde koroner anjiyografiler sırasında testisden saptanmaktadır. Geniş koroner anjiyografik serilerinde insidans ortalaması %0.1 olarak görülmüştür. Çok nadir olarak infeksiyoz, travmatik ve iyatroteinik olgular da bildirilmiştir. Günümüzde kazanılmış olgular sıklıkla koroner cerrahları tarafından görürlüyor. Koroner arter ile pulmoner arter arasında fistül gelişen olgular lokalizasyonunu ve çapına bağlı olarak symptomatik veya asyptomatik olabilir. Symptomatik olguların yanı sıra asyptomatik olup bariz klinik, elektrokardiyografik ve röntgenografik bulguların olguların da tedavi edilmesi gereklidir. Nadiren fistiller takiptelerinde kendiliğinden kapanabilir. Tedavide gencel yaklaşım konservatif yöntemler, cerrahi tedavi ve transkatereter yöntemlerdir. Cerrahi olarak kapama güvenli ve etkili bir yöntemdir. Seçilmiş olgularda cerrahi yerine transkatereter embolizasyon, stent ve kapama cihaçları kullanılabilir. Bunun en önemli nedeni cerrahi risklerden uzak, düşük riskli güvenli yöntem olmasıdır. Transkatereter yöntemler, fistülü besleyen koroner arter dalını güvenle kanülize edilebilmesi, fistülün kardiyak odağı veya damarlarla daralarak ve tek olarak drene olmasından, çok sayıda fistül yapı olmaması, yanlışlıkla kapatılacak büyük koroner dal olmaması durumlarında tercih edilebilir. Hastalarda tipik semptomları olmaması, iskemiği alan küçük olması, fistülün distalde olması ve fistül çapının küçük olması nedeniyle konservatif yöntemler uygulanabilir.



Resim 1. EKG de nonspesifik değişiklikler(A), Bruce protokoline göre yapılan efor testiminde ST segment depresyonu(B), miyokard perfüzyon sintigrafisinde anteroseptal duvar apikal segmentte iskemi görüntüsü(C,D).



Resim 2. Yapılan koroner anjiyografide sol onen arter ile pulmoner arter arası fistül(A), dışında normal koroner anomi görüntüsü(B,C,D).

**Anomalous coronary artery: giant right coronary artery**

Serkan Akdag<sup>1</sup>, Musa Şahin<sup>2</sup>, Hasan Ali Gümrukçuoğlu<sup>2</sup>, Aytaç Akyol<sup>1</sup>, Mehmet Yaman<sup>2</sup>, Hakkı Şimşek<sup>2</sup>

<sup>1</sup>Department of Cardiology, Van Yüksek İhtisas Hospital, Van

<sup>2</sup>Department of Cardiology, Yüzüncü Yıl University Faculty of Medicine, Van

**Myocardial ischemia due to the left anterior descending -pulmonary artery fistula**

Sait Demirkol, Murat Ünlü, Zekeriya Arslan, Şevket Balta, Atilla İyisoy, Turgay Çelik, Uğur Küçük

Department of Cardiologist, GATA, Ankara

**P-292****Anterior miyokart enfarktüstüyle karışan elektrik çarpması sonrası oluşan ST segment elevasyonu**

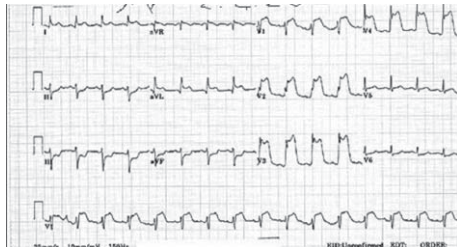
Cemal Köseoğlu, Tolgahan Efe, Mehmet Erdoğan, Turgay Arslan

Ankara Atatürk Eğitim ve Araştırma Hastanesi, Kardiyoloji Kliniği, Ankara

**Vaka:** 28 yaş sigara kulanması dışında kardiyak risk faktörü olmayan hasta acil servise bilinen kayibi nedeniyle değerlendirildi. Solunum yüzeysel olan hasta acil serviste entübe edildi. Acil serviste değerlendirilen hastanın iş arkadaşlarından 6 saat önce insaattan bir binada yerde bayılgın halde bulunduğu ve sağ elinde cep telefonu şarj cihazı bulunduğu öğrenildi. Fizik muayenede sağ elinde yanık izi gözlenmesi dışında diğer bulgular normaldi. Acil serviste çekilen ekg de v1-6 da 3 mm st elevasyonu gözlandı. Hasta acil olarak koroner anjioografi ünitesine alındı, yapılan anjiografide normal koronerler gözlandı. Koroner yoğun bakıma alınan hasta monitörize edildi, hastanın ventriküler fibrilasyonu girdiği gözlandı ve defibrillatör edildi. Defibrilasyon sonrası sinus ritmi gözündi. 3 gün koroner yoğun bakımda gözlenen hastada ritm bozukluğu gözlenmedi, glaskow coma skoru 7 olan hasta genel yoğun bakım devir edildi.

**Tartışma:** Elektrik akımı kalpteki ileti sistemi hücrelerine kalıcı zarar vererek başta ritm bozuklukları olmak üzere birçok kardiyak patolojiye yol açabilir. Bu problemler arasında geçici olarak st elevasyonu gözlenebilir, aritmik problemlere göre daha az ciddiyeti olan bir durumdur ve akut st elevasyonlu myokard enfarktüsü ile karışabilir.

Şekil. Acil servis ekg si

**P-292****ST segment elevation developed after an incident of electrocution confused with anterior myocardial infarction**

Cemal Köseoğlu, Tolgahan Efe, Mehmet Erdoğan, Turgay Arslan

Department of Cardiology, Ankara Atatürk Training and Research Hospital, Ankara

**Elektrofizyoloji-ablasyon****P-293****Atrioventriküler nodal reenteran taşikardi yavaş yol ablasyonunda farklı noktaların karşılaştırılması**Osman Can Yontar<sup>1</sup>, Alim Erdem<sup>2</sup>, Fatma Hızal Erdem<sup>1</sup><sup>1</sup>Sivas İzzettin Keykabu Devlet Hastanesi, Kardiyoloji Kliniği, Sivas<sup>2</sup>Abant İzzet Baysal Üniversitesi Bolu Tip Fakültesi Araştırma ve Uygulama Hastanesi, Kardiyoloji Bölümü, Bolu

**Amaç:** Çalışmamızda yavaş yolügen ablasyonu için kullanılan klasik hedef bölge ile daha yakın zamanda kullanılmıştır başlanan koroner sinus ostium anterior komşuluğundan yapılan ablasyon takibinde görülen rekürens oranlarını karşılaştırmayı amaçladık.

**Metod:** Sivas Numune Hastanesi Kardiyoloji Kliniği'nde 2010 yılından günümüze kadar elektrofizyoloji çalışma yapılmış ve AVNRT tanısı alıp radyofrekans ablasyon uygulanmış hastalar geriye dönük olarak taranarak bulundular. Bu hastaların işlem raporları ve intrakardiyak kayıtları incelenerek ablasyonda hangi hedef bölgelerin seçildiği ve işlemin başarılı olup olmadığı tespit edildi. Nüks takibinde ise hastaların dosyasında ya otomasyon sisteminde taşikardinin dökümanteli edildiği elektrokardiogram/holter kaydının olup olmadığına; yada var olan şikayetin nedeniyle tekrar EPS işlemine alınıp taşikardı induklığından iddia edilmesine göre tarandı.

**Bulgular:** Retrospektif olarak taranan toplam 122 hastadan %24'ü erkek (n=30), %76'sı kadın (n=92). Hastaların yaş ortalaması 29,23±12,12 yıl idi. Hastalardan %43,4'ünde (n=56) klasik yaklaşım, %51,2'sinde (n=66) alternatif yaklaşım kullanılmıştı. Klasik yaklaşımnda nüks %5,6 (n=3) iken alternatif yaklaşımında %4,7 (n=3) idi (p=0,837). Hastaların ortalaması takip süreleri klasik yaklaşım kullanılan grupta 15,1±3,5 ay iken alternatif yaklaşım kullanılan grupta 16,4±4,4 ay idi (p=0,082). Yapılan multivariate regresyon analizinde nüksü göstermede bağımsız bir prediktör saptanmadı (Tablo).

**Sonuç:** AVNRT ablasyonunda koroner sinus ostium komşuluğunun tercih edilmesinin işlem başarısı, uzun süreli takiplerde nüks oranı açısından klasik yaklaşımından aşağı olmadığı ve komplikasyon riskinin daha az olması nedeniyle tercih edilmesinin avantaj yaratacağını düşünüyoruz.

**Electrophysiology-ablation****P-293****The comparison of different localization in slow pathway ablation in patients with atrioventricular nodal reentrant tachycardia**Osman Can Yontar<sup>1</sup>, Alim Erdem<sup>2</sup>, Fatma Hızal Erdem<sup>1</sup><sup>1</sup>Sivas İzzettin Keykabu Devlet Hastanesi, Kardiyoloji Kliniği, Sivas<sup>2</sup>Abant İzzet Baysal Üniversitesi Bolu Tip Fakültesi Araştırma ve Uygulama Hastanesi, Kardiyoloji Bölümü, Bolu

**Background:** The recurrences and efficacy of classical approach and alternative approach (anterior localization of the coronary sinus ostium) for the slow pathway ablation using radiofrequency energy and a transcatheater technique in patients with atrioventricular nodal reentrant tachycardia (AVNRT) were evaluated.

**Methods:** We retrospectively reviewed all patients for AVNRT at the Sivas Numune Hospital from January 2010 to April 2012. The localization of the slow pathway ablation using radiofrequency energy and successfully procedure was documented. AVNRT recurrence was documented from hospital automation system or induced AVNRT who underwent second electrophysiology study.

**Result:** One hundred twenty two patients, (24% male (n=30), 76% female (n=92); age 29,23±12,12 years) who underwent radiofrequency ablation for AVNRT were included the study. Classical approach was used 43,4% (n=56); alternative approach was used 51,2% (n=66) of AVNRT patient. AVNRT recurrence was documented 5,6% (n=3) in classical approach; also 4,7% (n=3) in alternative approach (p=0,837). Follow-up was available for all patients at 15,1±3,5 month in classical approach group, and 16,4±4,4 month in alternative approach group (p=0,082). Multivariate analysis failed to identify any significant predictor of AVNRT recurrence (Table).

**Conclusion:** We could not identify any differences between recurrences ratio between classical approach and alternative approach for the AVNRT slow pathway ablation. In addition; anterior localization of the coronary sinus ostium ablation may be used, because of low complication risk.

P-294

### Atrial fibrilasyon tedavisinde "cryoballoon" kateter ile pulmoner ven izolasyonu

Kani Gemici, Özlem Batukan Esen, Türker Baran, Mehtap Emek, Deniz Şener,  
Suavi Tüfekçioğlu, Erhan Babalık, Günsel Ş. Avcı, Servet Öztürk

*İstanbul Memorial Hastanesi Kardiyoloji Bölümü, İstanbul*

**Giriş-Amaç:** Atrial fibrilasyon (AF), en sık ritim bozukluğu olup, etkin medikal tedavi seçenekleri kısıtlıdır. Pulmoner ven izolasyonu, paroksismal ve persistant AF de en uygun eliminasyon tedavisi olarak görülmektedir. Son yıllarda geliştirilen ve klinik kullanımına giren "cryoballoon" kateter, pulmoner venlerin izolasyonunda büyük kolaylıklar sağlamıştır. Bu yöntem ablasyonun başarı oranlarını yükselttiği gibi, komplikasyon oranlarını oldukça azaltmıştır.

**Materiel ve Metod:** Kliniğimizde son 1 yıl içinde antiaritmik ilaçlara dirençli Paroksismal veya persistant AF ile izlenen hastalardan 14'üne "cryoballoon" ile pulmoner ven izolasyonu gerçekleştirilmştir. Hasta grubu yaşları 28-68 arasında, 8 erkek, 6 kadın, 14 olgu ( $34 \pm 14$  yıl) dan oluşmuştur. Hastalara elektrofizyolojik inceleme sonrası, 10 mg adenozin venöz yolla bolus yapılarak sol atriyuma geçirilmiştir. Elektrofizyolojik inceleme sonrası, 10 mg adenozin venöz yolla bolus yapılarak atriyal kastılma durdurulmuş ve "pigtail" kateter ile sol atriyal anjiyografi yapılmış ve pulmoner venlerin anatomik görüntülennmesi sağlanmıştır. Bu anatomik veriler kullanılarak pulmoner venler "acheve" kateter yerleştirilerek, AF odaklıları araştırılmıştır. Sol pulmoner veden başlanarak her bir vene 240 sn süreyle  $-35^{\circ}\text{C}$  ile  $-60^{\circ}\text{C}$  arasında 2 kez veya fibrilasyon dalgaları kayboluncaya kadar ablasyon uygulanmıştır.

**Bulgular:** Tüm olgularda laboratuvarдан çıkış başarısı tamdır. Hastalar klinik olarak ve ayda bir kez tekrarlanan Holter kayıtları takip edilmiştir. Hastalarda antiaritmik ve antikoagulan tedavi 3'üncü ayın sonunda durdurulmuştur.

**Tartışma:** Paroksismal ve persistant AF'da ablasyon tedavisi, güvenli ve etkin, iyi bir kalıcı tedavi seçenekidir. Pulmoner venlerin anatomik özelliklerinin saptanmasında, kardiyak tomografi yerine işlem esnasında adenozin kullanılarak yapılan sol atriyum anjiyogramı, dinamik sonuçları ve ma-liyet avantajı nedeniyle daha iyi bir seçenek olabilir.

P-294

### Pulmonary vein isolation with the cryoballoon technique for the treatment of atrial fibrillation

Kani Gemici, Özlem Batukan Esen, Türker Baran, Mehtap Emek, Deniz Şener,  
Suavi Tüfekçioğlu, Erhan Babalık, Günsel Ş. Avcı, Servet Öztürk

*Department of Cardiology, İstanbul Memorial Hospital, İstanbul*

P-295

### Supraventriküler taşikardi alt tipleriyle mitral kapak prolapsusu arasındaki ilişki

Alim Erdem<sup>1</sup>, Osman Can Yontar<sup>2</sup>, Serkan Öztürk<sup>1</sup>, Suzi Selim Ayhan<sup>1</sup>, Mehmet Fatih Özlu<sup>1</sup>,  
Fatma Hızal Erdem<sup>2</sup>, Mehmet Yazıcı<sup>1</sup>

<sup>1</sup>Abant İzzet Baysal Üniversitesi Bolu Tip Fakültesi Araştırma ve Uygulama Hastanesi,  
Kardiyoloji Bölümü, Bolu

<sup>2</sup>Sivas İzzetin Keykabüs Devlet Hastanesi, Kardiyoloji Kliniği, Sivas

**Amaç:** Bu çalışmamızda Elektrofizyolojik çalışma (EFÇ) neticesinde supraventriküler taşikardi (SVT) alt tiplerinin tanısı konmuş hastalardaki mitral kapak prolapsusu (MVP) sıklığını araştırmayı amaçladık.

**Metod:** Retrospektif olarak Ocak 2010 ile Mart 2012 tarihleri arasında EFÇ işlemine alınmış toplam 378 hasta incelendi (128 erkek, 250 kadın; yaş aralığı 17 ile 63). Bu hastalardan EFÇ işlemi ile SVT tanısı almış 267 hastanın ekokardiyografi sonuçları MVP açısından otomasyon sisteminden dev sosyalardan taranmış (atriyoventriküler nodal reentrant taşikardi (AVNRT) 58.4 % (n=156); atrioventriküler reentrant taşikardi (AVRT) 30% (n=80); atriyal taşikardi (AT) 6.4% (n=17); diğer 5.2% (n=14)).

**Bulgular:** SVT tanısı almış hastalarda MVP prevalansı 27.7% (n=74) olarak saptandı. Alt grup analizlerinde MVP prevalansı açısından AVRT grubuya diğerlerarasında istatistiksel olarak anlamlı olacak şekilde fark saptandı. (AVRT %52.7 n:39, AVNRT %33.8 n:25, AT %9.5 n:7, diğer %4.1 n:3; p<0.005). Aynı zamanda, MVP prevalansı açısından kadın ve erkek grupları arasında istatistiksel anlamlı fark saptandı (75.7% (n=56) ve 24.3% (n=18); p<0.05). Sadece kadın grupta MVP prevalansı ile yaş arasında istatistiksel anlamlı olacak şekilde negatif korelasyon mevcuttu ( $r = -0.116$ ,  $p=0.024$ ).

**Sonuç:** Çalışmamızın sonucunda AVRT ve kadın cinsiyetin MVP varlığıyla ilişkili olduğunu saptadık. Bunun sonucunda MVP tanılı bayanlarda aritmî varlığı üzerinde daha dikkatli durulması kanaatindeyiz.

P-295

### Relationship between mitral valve prolapse and subtypes of supraventricular tachycardia

Alim Erdem<sup>1</sup>, Osman Can Yontar<sup>2</sup>, Serkan Öztürk<sup>1</sup>, Suzi Selim Ayhan<sup>1</sup>, Mehmet Fatih Özlu<sup>1</sup>,  
Fatma Hızal Erdem<sup>2</sup>, Mehmet Yazıcı<sup>1</sup>

<sup>1</sup>Abant İzzet Baysal University Bolu Tip Fakültesi Araştırma ve Uygulama Hastanesi, Kardiyoloji  
Bölümü, Bolu

<sup>2</sup>Sivas İzzetin Keykabüs Devlet Hastanesi, Kardiyoloji Kliniği, Sivas

**Aim:** The aim of this study was to investigate the frequency of mitral valve prolapses (MVP) in patients with supra-ventricular tachycardia (SVT) who were diagnosed by intracardiac electrophysiologic study (EPS).

**Method:** The study was a retrospective cohort of 378 adult patients (128 males and 250 females aged between 17 to 63 years) admitted with EPS between January 2010 and March 2012. We included 267 SVT patients (included atrial tachycardia (AT), atria-ventricular nodal reentrant tachycardia (AVNRT), atria-ventricular reentrant tachycardia (AVRT) who were diagnosed with EPS (58.4 % (n=156) AVNRT, 30% (n=80) AVRT, 6.4% (n=17) AT, 5.2% (n=14) other). MVP prevalence was compared in individuals with SVT.

**Results:** MVP prevalence was found 27.7% (n=74) in patients with SVT. In subgroup analyses, there was a significant difference between AVRT and others about MVP prevalence (AVRT 52.7% n:39, AVNRT 33.8% n:25, AT 9.5% n:7, others 4.1% n:3; p<0.005). Also, there was a significant difference between females and males (75.7% (n=56) and 24.3% (n=18); p<0.05). There was a significant negative correlation between age and MVP just in female group ( $r = -0.116$ ,  $p=0.024$ ).

**Conclusion:** It was demonstrated in our study that AVRT and female sex may be related to MVP in SVT patients. It was dedicated from these results that the existence of arrhythmia should be focused on young female subjects with MVP more than the others.

P-296

### Non koroner küspisten kaynaklanan idyopatik ventriküler taşikardinin başarılı ablasyonu

Kivanç Yalın, Ebru Gölcük, Ahmet Kaya Bilge, Kamil Adalet

*İstanbul Üniversitesi İstanbul Tıp Fakültesi, Kardiyoloji Anabilim Dalı, İstanbul*

Nonkoroner küspisten (NCC) kaynaklanan atriyal taşikardiler iyi bilinmemektedir, ancak bu bölge anatomik özelliği ve fibroz yapısı nedeniyle ventriküler taşikardiler için nadir bir bolgedir. Bu sunuda 26 yaşında çarpıntı ve presenkop şikayetleri ile başvuran bir kadın sunulmuştur. Hastaya monomorfik ventriküler taşikardi nedeniyle elektriksel kardiyoversyon uygulanmıştır. Hastanın muayenesinde ekokardiyografsında yapısal kalp hastalığı düşündürücük bulguya saptanmamıştır. Taşikardi EKG'sinde sol dal bloku ve inferior aks morfolojisini gösteren geniş QRS'li taşikardi izlenmiştir. Sağ ventrikül çıkış yolundan uygulanan ablasyon girişimi etkisiz olmuştur. Daha sonrasında hem sağ hem sol ventrikül elektroanatomik haritası çıkarılmıştır ve NCC'de local ECM' in QRS'in ~40 ms önünde olduğu görülmüştür. Taşikardi bu bölgeye verilen akım ile sonlanmış ve programlı uyarılarla indüklenmemiştir. 6 aylık izlemede şikayeti olmayan hastanın Holter tetricinde ventriküler erken vuru izlenmemiştir. NCC' ten ablasyonu bu nadir görülen aritmide etkili ve güvenli bir yoldur.

P-296

### Successful ablation of an idiopathic ventricular tachycardia originating from non coronary cusp

Kivanç Yalın, Ebru Gölcük, Ahmet Kaya Bilge, Kamil Adalet

*Department of Cardiology, İstanbul University Faculty of Medicine, İstanbul*

Atrial tachycardia originating from noncoronary cusp (NCC) is well recognised but it is a rare site for ventricular tachycardia (VT) due to its anatomical location and fibrous structure. This report presents a 26 year old woman with complaints of palpitation and presyncope. She experienced electrical cardioversion because of a monomorphic ventricular tachycardia. 12 lead electrogram showed a left bundle branch block, inferior axis morphology. She had no evidence of structural heart disease. Ablation attempts from right ventricular outflow tract did not terminate the tachycardia. Both right and left ventricular electroanatomic maps were obtained. The local electrocardiogram in NCC preceded the QRS by 40 ms. The tachycardia successfully ablated from this site. During a follow up of 6 months, the patient remains symptom free and her Holter monitor has shown no further ectopy. Ablation of noncoronary cusp is an effective and safe therapeutic option for this extremely rare arrhythmia.

P-297

### Hipertrofik kardiyomiyopatili bir hastada sol aortik küspis kaynaklı ventriküler taşikardi ablasyonu

Alptuğ Tokatlı<sup>1</sup>, Fethi Kılıçaslan<sup>1</sup>, Öcal Karabay<sup>2</sup>, Mehmet Uzun<sup>1</sup>

<sup>1</sup>GATA Haydarpaşa Kardiyoloji Anabilim Dalı, İstanbul

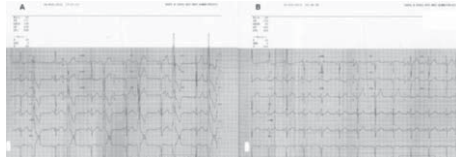
<sup>2</sup>Florence Nightingale Hastanesi, Kardiyoloji Bölümü, İstanbul

**Giriş:** İdyopatik ventriküler taşikardiler (VT) genellikle alta yatan yapısal bir kalp hastalığı olmayan genç erişkinlerde görülür ve tüm VT'lerin yaklaşık %10'u oluşturur. İdyopatik VT'ler sıklıkla sağ veya sol ventrikül çıkış yolundan kaynaklanır. Hipertrofik kardiyomiyopatili (HKMP) hastalarда VT sık görülmeye rağmen bu VT'ler genellikle çıkış yolu VT'si değildir. Yazımızda HKMP tanısı olan ve sol aortik küspis kaynaklı idyopatik VT tespit edilen bir vakası sunduk.

**Vaka:** HKMP tanısı ile takip edilmekte olan 39 yaşındaki hasta çarpıntı ve baş dönmesi şikayetleri ile kliniğimize başvurdu. Hikayesinden son 5 yıldır HKMP tanısı olduğu ve 100 mg metoprolol süksinat kullandığı öğrenildi. Hastaya senkop ve VT nedeniyle yaklaşık 1 yıl önce elektrofizyolojik çalışma yapıldığı ve VT uyarularak ICD implante edildiği öğrenildi. Hasta çarpıntı yakınlamasına terlemenin eşlik ettiğini, son günlerde arttığını ve genellikle kısa süredüğünü belirtirdi. Fizik muayenesinde kalp tepe atım şiddeti artmış ve dinlemekle mitral odakta 1/6 pansistolik tıfunur duyuldu. EKG'de bigemine tarzında, sol dal bloğu morfolojisinde ve inferior akslı monomorfik ventriküler erken atımlar (VEA) izlendi. Holter EKG'de aynı morfolojide sık geçen VEA'lar ve sürekli VT atakları tespit edildi. Ekokardiyografi incelemesinde asimetrik septal hipertrofi izlendi ve diiyastole septum kalınlığı 20 milimetre olarak ölçüldü. Mitral öne hareket ve hafif mitral kapak yetersizliği mevcuttu. Sol ventrikül çıkış yolunda istirahatte 44 mmHg olan gradient Valsalva manevrası ile 66 mmHg idi. Hastanın VEA/VT ablasyonu için elektrofizyoloji laboratuvarına alındı. ICD interroge edilerek tedavi zonları kapatıldı. VEA'lar haritalandı. VEA esnasında en erken ventriküler aktivite sol koroner küspis içinde tespit edildi. Sol koroner anjiyografi yapılarak sol koroner arter ostiumu görüldükten sonra bu bölgeye RF uygulandı. VEA'lar kayboldu. Takipterinde VEA gözlenmedi. Programlı ventriküler stimülasyon ile taşikardi indüklenmedi.

**Tartışma ve Sonuç:** İdyopatik VT'ler nadiren HKMP gibi yapısal kalp hastalığı bulunan hastalar da görülebilir. Bu hastalarda RF ablasyonu başarılı ile uygulanabilir.

**Figür.** Sol dal bloğu morfolojisinde inferior akslı bigemine ventriküler erken atımlarla izlendiği EKG (A), ve ablasyon sonrası EKG örneği (B).



P-297

### Ventricular tachycardia ablation originating from left aortic cusp in a patient with hypertrophic cardiomyopathy

Alptuğ Tokatlı<sup>1</sup>, Fethi Kılıçaslan<sup>1</sup>, Öcal Karabay<sup>2</sup>, Mehmet Uzun<sup>1</sup>

<sup>1</sup>Department of Cardiology, GATA Haydarpaşa, İstanbul

<sup>2</sup>Department of Cardiology, Florence Nightingale Hospital, İstanbul

P-298

**Wolff-Parkinson-White (WPW) sendromunda aksesuar yol ablasyonu sonrası T dalga değişiklerinin normale dönme süresi T dalga değişikliği olan derivasyon sayısına ile ilişkilidir**

Sinan İşcen<sup>1</sup>, Hasan Kutsi Kabul<sup>1</sup>, Şevket Baltacı<sup>1</sup>, Sait Demirkol<sup>1</sup>, Uğur Küçük<sup>1</sup>,  
Halil Olgun Küçük<sup>2</sup>, Sedat Köse<sup>1</sup>, Cem Barçın<sup>1</sup>

<sup>1</sup>GATA Ankara Kardiyoloji Anabilim Dalı, Ankara

<sup>2</sup>Gazi Üniversitesi Tip Fakültesi, Kardiyoloji Anabilim Dalı, Ankara

Wolff-Parkinson-White (WPW) sendromundan küratif tedavisi, radyofrekans (RF) kateter ablasyonun güvenli olduğu ve %100 başarı oranlarına ulaşlığı bilimektedir(1,2). WPW sendromunda radyofrekans (RF) kateter ablasyonu sonrasında yüzey elektrokardiografisinde (EKG), negatif ya da anomal olarak sıvırılmış T dalgaları şeklinde beliren repolarizasyon anomaliliklerine sık rastlanır. Çalışmamızı 5 grup, (8 sağ posteroseptal, 3 sol posterolateral, 4 sol posteroseptal, 5 sol lateral, 5 sağ midseptal başarılı aksesuar yol ablasyonu olan) 25 hasta üzerinde yaptı. Kardiyak hafiza'nın rezolusyon süresinin - revers remodeling-ablasyon sonrası 1 hafta ile 3 ay arasında değişileceğine dair çalışmalar mevcuttur. Rezolusyon sıralaması daha önceki çalışmalarla tutarlı olarak gözlemlenmiştir. Her üç derivasyonda T negatifliği olması durumunda normale dönme DII' den başlamaktı, sirası ile bunu AVF ve DIII takip etmektedir. Vertikal aks boyutunda baktığımız zaman T dalga aksı saat yönünde dönerek normal aksına ulaşmaktadır. T dalgasının normale dönme süresi çalışmamızda 6 haftaya kadar uzadı(tablo-1).En fazla T dalga değişikliği 1. hafta içinde normalde döndü (%53,n:10). T dalga değişiklerinin sayısı ve normale dönme süresi arasındaki ilişkinin bütünlüğünü görebilmek için kolerasyon ve regresyon analizi yapıldı. Kolerasyon analizi istatistiksel olarak anlamlı pozitif ilişkiye işaret etti ( $p<0.001, r=0.87$ ). Regresyon analizi sonrası  $y=1.6x+0.87$  eşitliği elde edildi ve istatistiksel olarak anlamlıydı ( $p<0.001$ ). Her bir T negatifliği olan derivasyon için, T dalgasının normale dönme süresinin 1.6 hafta uzadığını belirledik. Jansson ve ark. yaptığı çalışmaya da tutarlı olarak T dalga değişikliği olan derivasyon sayısının arttıkça, T dalga değişikliklerinin normale dönme süresi uzadı( $p<0.001, r=0.87$ ). Regresyon analizi sonrası her bir T negatifliği olan derivasyon için, T dalgasının normale dönme süresi 1.6 hafta uzadı ( $p<0.001$ ) T dalgasının normale dönme süresi 1 hafta-6 hafta arasında değişmektedir, ve aksesuar yolu lokalizasyonu ile ilişkili değildir( $p=0.09$ ).

**Tablo.** T dalga değişikliği olan derivasyon sayısına göre T dalga değişikliğinin normale dönme süresi

	Değişiklik sayı	Normale dönme süresi				Toplam
		1.hafta	4.hafta	6.hafta		
DIIAVF(DII+)	6	0	0	0	0	6
DIII(-)	0	7	0	0	0	7
DIIIAVF(-)	0	3	7	0	0	10
DIIAVFOH(-)	0	0	0	2	2	2
<b>Toplam</b>	<b>6</b>	<b>10</b>	<b>7</b>	<b>2</b>	<b>25</b>	

P-299

**Supraventriküler taşikardinin radyofrekans kateter ablasyonu esnasında gelişen asistoli**

Taner Ulus, Muhammet Nasifov, Baktash Morrad, Sayyed Hamed Moghanchizadeh, Hüseyin Uğur Yazıcı, Alparslan Birdane, Bülent Görenek, Ahmet Ünalır

Eskişehir Osmangazi Üniversitesi Tip Fakültesi, Kardiyoloji Anabilim Dalı, Eskişehir

**Amac:** Radyofrekans (RF) kateter ablasyonu ilaç tedavisine dirençli ve sık çarpıntı atakları olan supraventriküler taşikardili (SVT) hastalar için uygulanır bir tedavi yöntemidir. Radyofrekans enerji uygulaması esnasında sinus düğümü ve atrioventriküler düğümü ilgileden otomotiv değişiklikler meydana gelebilir, fakat bunlar enerjinin kesilmesini takiben genel hızla çözülür. Literatürde daha önce paroxismal atriyal fibrilasyondan hastalarda pulmoner venlere RF uygulaması ve koroner sinüsün sol posteroseptal yoluń RF ablasyonu esnasında asistoli geliştiği bildirilen birkaç vakadır mevcuttur. Burada atrioventriküler nodal reenter taşikardinin (AVNRT) RF kateter ablasyonu esnasında ilk kez asistoli gelişen bir olguya sunuktur.

**Yöntem:** Daha önceden bilinen sistemik bir rahatsızlığı olmayan hasta, son 5 aydır olan ve verapamil 2x80 mg kullanmasının rağmen bir kez çarpıntı atakları nedenden dolayı merkezimize refere edildi. Dis merkezde dokimantane edilmiş SVT atağı olan hasta, onay alındıktan sonra elektrokardiyoloji laboratuvarına alındı (Şekil 1). Sağ femoral venden 14 F kılıf konulup sağ atriyumu his demeti ve sağ ventriküller F elektrot kateterler gönderildi. Bazal ileti zamanları ölçüldü ve normal bulundu. Sağ atriyumdan 400 ms sıkılıkta uzunluğunda programlı uyarı ve 320 ms tek ekstrastimulus ile önce AH mesafesinden uzama, sonra tipik AVNRT induklendi ve RF ablasyona geçildi.

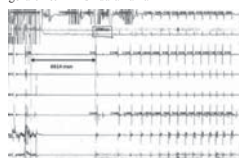
**Bulgular:** Sol femoral venden 7 F kılıf konulup 7 F ablasyon kateteri trikuspit anulus bölgesinde uygun pozisyonuya yerleştirildi. İlk olarak 55 °C 50 watt RF verilmesini takiben 5.8 ms uzunluğunda asistoli gelişti ve RF enerjinin kesilmesini takiben hemen normal ritim sağlandı (Şekil 2). Aynı bölgeden aynı enerji düzeyinde ikinci RF uygulamasını takiben 6.9 ms uzunluğunda asistoli gelişti ve yine RF enerji kesilmesi normal ritim hemen sağlandı (Şekil 3). Hasta her iki RF enerji uygulaması esnasında gözünden hafif yanma ve ağrı hissetti, enerjinin kesilmesini takiben yakınlık hemen geçti. İki kez asistoli olması üzerine işlemie son verildi. Hastaya verapamil 3x80 mg başlandı ve bir ay sonra kontrole çağrılan tabucu edildi.

**Sonuç:** Supraventriküler taşikardı nedeniyle kateter ablasyonu yapılan hastalarda RF uygulaması asistolisini tetikleyebilir. Kalpteki vagal sinir uçlarının doğrudan uyarıya ya da ağrı nedeniyle santral olarak parasympatik sinir sisteminin uyarıda hasta bu duruma yol açmış olabilir.

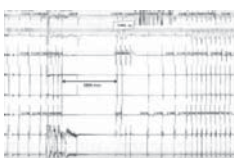
Şekil 1. Hastanın supraventriküler taşikardili elektrokardiogramı



Şekil 3. İkinci radyofrekans ablasyon uygulaması sonrası 10 mm/sn elektrogram kaydında görülen 6914 msn duraklama



Şekil 2. İlk radyofrekans ablasyon uygulaması sonrası 10 mm/sn elektrogram kaydında görülen 5804 msn duraklama



P-298

**Time to normalization of T wave changes is related to total number of the derivations with T wave changes after accessory pathway ablation for Wolff-Parkinson-White syndrome**

Sinan İşcen<sup>1</sup>, Hasan Kutsi Kabul<sup>1</sup>, Şevket Baltacı<sup>1</sup>, Sait Demirkol<sup>1</sup>, Uğur Küçük<sup>1</sup>,  
Halil Olgun Küçük<sup>2</sup>, Sedat Köse<sup>1</sup>, Cem Barçın<sup>1</sup>

<sup>1</sup>Department of Cardiology, GATA, Ankara

<sup>2</sup>Department of Cardiology, Gazi University Faculty of Medicine, Ankara